



AKADEMIA GÓRNICZO-HUTNICZA IM. STANISŁAWA STASZICA W KRAKOWIE  
Wydział Fizyki i Informatyki Stosowanej

---

## Praca magisterska

Ewelina Barczyk

kierunek studiów: fizyka techniczna

specjalność: fizyka komputerowa

# Modelowanie ekscytonowego widma fotoluminescencyjnego stosów kropek kwantowych w zewnętrznym polu elektrycznym.

Opiekun: dr hab. inż. Bartłomiej Szafran

Kraków, czerwiec 2008

Oświadczam, świadoma odpowiedzialności karnej za poświadczenie nieprawdy, że niniejszą pracę dyplomową wykonałam osobiście i samodzielnie i nie korzystałam ze źródeł innych niż wymienione w pracy.

---

Kraków, 9 czerwca 2008

**Tematyka pracy magisterskiej i praktyki dyplomowej Eweliny Barczyk,  
studenta V roku studiów kierunku fizyka techniczna,  
specjalności fizyka komputerowa**

Temat pracy magisterskiej: **Modelowanie ekscytonowego widma fotoluminescencyjnego stosów kropek kwantowych w zewnętrznym polu elektrycznym.**

Opiekun pracy: dr hab. inż. Bartłomiej Szafran

Recenzenci pracy:

Miejsce praktyki dyplomowej: WFiIS AGH, Kraków

**Program pracy magisterskiej i praktyki dyplomowej**

1. Omówienie realizacji pracy magisterskiej z opiekunem.
2. Zebranie i opracowanie literatury dotyczącej tematu pracy.
3. Praktyka dyplomowa:
  - zapoznanie się ze stosami samozorganizowanych kropek kwantowych,
  - przygotowanie oprogramowania,
  - dyskusja i analiza otrzymanych wyników,
  - sporządzenie sprawozdania z praktyki.
4. Kontynuacja obliczeń związanych z tematem pracy magisterskiej.
5. Zebranie i opracowanie wyników obliczeń.
6. Analiza wyników obliczeń numerycznych, ich omówienie i zatwierdzenie przez opiekuna.
7. Opracowanie redakcyjne pracy.

Termin oddania w dziekanacie: 9 czerwca 2008

.....  
(podpis kierownika zakładu)

.....  
(podpis opiekuna)

---

## Merytoryczna ocena pracy przez opiekuna:

W swojej pracy magisterskiej Pani Ewelina Barczyk przedstawiła studium widma fotoluminescencyjnego ekscytonu uwięzionego w stosie złożonym z trzech i czterech samozorganizowanych kropek kwantowych w zewnętrznym polu elektrycznym. Od trzech lat wiodące ośrodki światowe prowadzą badania nad parami sprzężonych pionowo kropek InGaAs. Uwaga eksperymentatorów wkrótce zwróci się z pewnością w kierunku stosów zawierających więcej niż dwie kropki. Badania, w których uczestniczyła magistrantka miały wyjść doświadczeniu naprzeciw. Pani Ewelina Barczyk uogólniła wprowadzony model pary elektron-dziura dla dwóch kropek na ich większą ilość. Model oparty jest na przybliżeniu masy efektywnej z dokładnym (choć numerycznym) opisem korelacji między nośnikami przy użyciu podejścia mieszania konfiguracji. Ponieważ trudno przewidzieć jest konkretne parametry rozważane w doświadczeniu rozważyć trzeba było olbrzymią liczbę danych aby wyciągnąć z nich ogólne wnioski i mieć pewność co do ich ogólności. Pani magistrantka wniosła duży wkład do prowadzonych obliczeń i analizy danych. Uzyskany obraz zjawisk zachodzącym w polu elektrycznym jest następujący: 1) w warunkach pośredniego sprzężenia między krokami (szerokość bariery 4-6 nm) tylko elektron tworzy rozciągle orbitale molekularne a dziura jest zlokalizowana w jednej kropce. Widmo ekscytonu można podzielić na szereg rodzin. Poziomy w ramach każdej z rodzin oddziałują. Schemat odpychania poziomów jest charakterystyczny dla każdej z rodzin i powinien pozwolić na doświadczalne wyznaczenie modulacji potencjału uwięzienia w każdej z kropek. 2) w granicy silnego sprzężenia (szerokość bariery 1-2 nm) aktywowane jest tunelowanie dziury. Prowadzi ono do pojawienia się oddziaływania poziomów z różnych rodzin, które związane jest ze spektakularnymi wielokrotnymi antykrossingami z bardzo wyraźną modulacją jasności linii. Wyniki pracy opublikowano w Physical Review B. Publikacja (dołączona na końcu pracy) jest bardzo obszerna: zajmuje 17 stron i jest zilustrowana 17 rysunkami. Wyniki pracy będą prezentowane w formie plakatu na International Conference in Physics of Semiconductors w Rio latem 2008 roku.

Końcowa ocena pracy przez opiekuna: celująca

Data: .....

Podpis: .....

---

Merytoryczna ocena pracy przez recenzenta:

Końcowa ocena pracy przez recenzenta: .....

Data: .....

Podpis: .....

Skala ocen: (6.0 – celująca), 5.0 – bardzo dobra, 4.5 – plus dobra, 4.0 – dobra, 3.5 – plus dostateczna, 3.0 – dostateczna, 2.0 – niedostateczna

## Podziękowania

*Pragnę podziękować wszystkim osobom, które w jakikolwiek sposób przyczyniły się do powstania niniejszej pracy. Przede wszystkim dziękuję:*

- *mojemu promotorowi dr hab. inż. Bartłomiejowi Szafranowi,*
- *mojej siostrze Monice,*
- *oraz wszystkim, którzy pomogli przy powstaniu tej pracy.*

---

# Spis treści

---

<b>1</b>	<b>Wstęp</b>	<b>8</b>
<b>2</b>	<b>Cel</b>	<b>11</b>
<b>3</b>	<b>Model i metoda</b>	<b>14</b>
3.1	Wprowadzenie . . . . .	14
3.2	Metoda oddziaływania konfiguracji . . . . .	16
<b>4</b>	<b>Rozszczepienie poziomów energetycznych pojedynczego elektronu i pojedynczej dziury w wyniku sprzężenia tunelowego między kropkami</b>	<b>18</b>
<b>5</b>	<b>Ekscytonowy efekt Starka</b>	<b>21</b>
5.1	Wstęp . . . . .	21
5.2	Dwie identyczne kropki – pośrednie sprzężenie . . . . .	22
5.3	Trzy identyczne kropki – pośrednie sprzężenie . . . . .	23
5.4	Trzy nieidentyczne kropki – pośrednie sprzężenie . . . . .	28
5.5	Stos trzech kropek – silne sprzężenie . . . . .	31
5.6	Cztery identyczne kropki – pośrednie sprzężenie . . . . .	36
5.7	Stos czterech nieidentycznych kropek – pośrednie sprzężenie . . . . .	39
5.8	Cztery kropki – silne sprzężenie . . . . .	41
<b>6</b>	<b>Proste modelowanie oddziaływania między poziomami z różnych rodzin</b>	<b>46</b>
<b>7</b>	<b>Ewolucja widma z liczbą kropek</b>	<b>49</b>

8 Podsumowanie i wnioski	53
Bibliografia	55
DODATKI	57
A Publikacja powstała na podstawie pracy dyplomowej	58



---

# Wstęp

---

W ostatnich latach wzrosło zainteresowanie nanostrukturami półprzewodnikowymi, wynikające z możliwości zastosowania ich do budowy układów elektronicznych. Jednym z typów nanostruktur półprzewodnikowych są podwójne kropki kwantowe, które bada się pod kątem użycia ich, do konstrukcji przyrządów przetwarzających informacje kwantowe. Uwięzione w oddzielnych kropkach spiny elektronu [19] lub ekscytony [31] mogą działać jak kwantowe bity, których oddziaływanie może być kontrolowane np. przez zewnętrzne pole elektryczne.

Jedną z technik wykorzystywanych do tworzenia podwójnych kropek kwantowych, używa samozorganizowanych kropek kwantowych InGaAs, ułożonych w stos jedna nad drugą. Takie struktury powstają spontanicznie podczas wzrostu epitaksjalnego [2, 17, 25, 26]. Samozorganizowane kropki kwantowe powstają w wyniku niedopasowania stałej sieci materiału podłoża (GaAs) i materiału tworzącego kropkę (InAs). W pierwszej fazie procesu ich powstawania na podłożu z GaAs nanoszona jest warstwa InAs, która nazywana jest warstwą zwilżającą. Kiedy osiągnie ona grubość około dwóch monowarstw, zaczynają się tworzyć trójwymiarowe wyspy o prawie jednorodnych rozmiarach i kształtach. Podczas formowania wysp dochodzi do migracji atomów indu, tak że faktycznie materiał kropki to stop z InGaAs, a nie czysty arsenek indu. Proces wzrostu kropek InGaAs, następujący poprzez wstępne tworzenie się warstwy zwilżającej, a następnie nukleację wysp, określany jest mianem wzrostu Stranskiego-Krastanowa.

Sprzężenie pomiędzy kropkami w stosie, było wykryte już we wczesnych eksperymentach fotoluminescencyjnych [10, 17, 26], prowadzonych od 1996 roku, jako przesunięcie poziomów energetycznych ekscytonu ku czerwieni, pojawiające się wraz ze zmniejszaniem

---

grubości bariery pomiędzy kropkami. Przesunięcia te były także obserwowane w funkcji liczby kropek tworzących stos [17, 26]. Słabym punktem pierwszych pomiarów [10, 17, 26] był fakt, iż parametrów struktury – liczbę warstw i grubość bariery międzywarstwowej – nie można zmieniać po wytworzeniu próbki. Pomiar wykazujące sprzężenie tunelowe w przesunięciu ku czerwieni, były wykonywane na wielu różnych próbkach. Ponadto, pierwsze pomiary wykonywano na zbiorach dziesiątek tysięcy kropek. Ponieważ kropki nigdy nie są identyczne, a drobne nawet różnice w kształtach i rozmiarach mają wpływ na energię uwalnianą przy rekombinacji uwięzionej pary elektron-dziura, wyniki pierwszych eksperymentów [10, 17, 26] odznaczały się niską precyzją. Dopiero stosunkowo niedawno (w roku 2005) zostały wykonane pierwsze pomiary widma fotoluminescencyjnego dla pojedynczej pary kropek z zewnętrznym polem elektrycznym [5, 9, 15, 16, 20, 21, 23, 27]. Pole elektryczne pozwala na zerwanie sprzężenia tunelowego między kropkami, co umożliwia prześledzenie efektów związanych z jego wpływem dla pojedynczej próbki. W pomiarach tych [5, 9, 15, 16, 20, 21, 23, 27] wykorzystano optyczne oznaki sprzężenia pomiędzy kropkami, by ustalić rolę tunelowania elektronu i dziury, jak również oddziaływania pomiędzy nośnikami w sztucznych molekułach. Okazują się one użyteczne do badania potencjału uwięzienia w asymetrycznych kropkach kwantowych [5], badania oddziaływań spinowych, widocznych w strukturze subtelnej linii fotoluminescencyjnych [23] i obserwacji strojenia czynnika Landego  $g$  przez pole elektryczne [9].

W przetwarzaniu kwantowej informacji, para kropek kwantowych ma zostać użyta do konstrukcji pojedynczej bramki logicznej. Celem konstrukcji logicznych urządzeń kwantowych jest utworzenie rejestru kwantowego, złożonego z wielu (więcej niż dwóch) kropek. Kandydatem na taki rejestr jest stos kropek kwantowych [4]. W ostatnim czasie następuje wzrost zainteresowania sztucznymi molekułami, utworzonymi przez więcej niż dwie kropki. Przykładem może być użycie wielokrotnych sprzężonych kropek [13], do konstrukcji wysokiej dokładności pompy jednoelektronowej. Natomiast potrójne kropki kwantowe wykorzystane były, do konstrukcji bramek dla logiki wielowartościowej [14] oraz zastosowano je także jako źródło spinowo-splątanych prądów [22]. Wyznaczono również diagram stabilności sztucznej molekuły, złożonej z trzech planarnych kropek utworzonych w dwuwymiarowym gazie elektronowym, poprzez nałożenie na powierzchnie elektrod podających ujemne (odpychające dla elektronów) napięcie [11]. Zostały także wytworzone sztuczne

---

molekuły utworzone z wielokrotnych, samozorganizowanych kropek kwantowych w geometrii planarnej (to jest jedna obok drugiej, zamiast nad) [12, 18, 24].

---

# Cel

---

Dotychczasowe teoretyczne [6, 7, 8, 29, 30] i eksperymentalne prace, [5, 9, 15, 16, 20, 21, 23, 27] dotyczące wpływu pola elektrycznego na widmo fotoluminescencyjne, były ograniczone do sztucznych molekuł, utworzonych przez parę kropek. Celem niniejszej pracy, jest rozszerzenie teorii dotyczącej dwóch pionowo sprzężonych kropek kwantowych na pionowy stos trzech i czterech kropek. Rozważane w pracy obiekty, są pośrednim stanem pomiędzy całkowicie przestudiowanym przypadkiem pojedynczych i podwójnych kropek, a supersiecią, która utworzona jest z dużej liczby ułożonych w stos kropek. W pracy dyskutowana jest, ewolucja widma energetycznego ekscytonu i korelacje elektron-dziura, kiedy kropki są sukcesywnie dodawane do stosu.

Zgodnie z wynikami przedstawionymi poniżej, widmo zawiera liczne antykrossingi wielu jasnych (optycznie aktywnych) poziomów energetycznych ekscytonu, które związane są z tunelowaniem elektronu i dziury. Dotychczas nie przeprowadzono jeszcze eksperymentu z polem elektrycznym, dla stosu więcej niż dwóch kropek, ale wyniki przedstawione poniżej mogą być zweryfikowane eksperymentalnie, ponieważ zarówno proces wzrostu jak i techniki pomiarowe są dobrze znane. Pole elektryczne zrywa elektronowe sprzężenie tunelowe między kropkami i separuje elektrony od dziur. Dla pary kropek, rozpad ekscytonu przez usunięcie elektronu z głębszej kropki, prowadzi do charakterystycznego odpychania (antykrossingu) jasnego i ciemnego poziomu energetycznego [16, 27], które związane jest z przestrzenną separacją nośników. Większość eksperymentów [5, 15, 16, 20, 21, 27], była wykonana dla przypadku pośredniego sprzężenia z grubością bariery, która dopuszczała tylko tunelowanie elektronu, z dziurą zlokalizowaną w pojedynczej kropce. W takim przypadku, optyczne oznaki sprzężenia są zdeterminowane całkowicie przez transfer

---

elektronu [5, 15, 16, 20, 21, 27], wywołany przez pole elektryczne. Okazuje się jednak, że antykrossingi poziomów związane z tunelowaniem dziury, są także obserwowane [9] w granicy silnego sprzężenia.

W niniejszej pracy, dyskutowane są przypadki pośredniego jak i również silnego sprzężenia pomiędzy kropkami. Otrzymane wyniki pokazują, że pozornie złożone widmo uporządkowane jest przez dziurę, która pozostaje zlokalizowana w konkretnej kropce w stosie. Pozycja kropki w stosie zawierającej dziurę, prowadzi do specyficznego wzoru odpychania poziomów, kiedy stany elektronu są manipulowane przez pole elektryczne. Może to być użyte do badania modulacji potencjału uwięzienia wewnątrz stosu, w pomiarach fotoluminescencji. Podobne pomiary, zastosowane były dla wzrostu intencjonalnie asymetrycznych podwójnych kropek kwantowych [5].

Dla silnego sprzężenia pomiędzy kropkami, pojawia się odpychanie poziomów (antykrossing), za które odpowiedzialne jest tunelowanie dziury. Występują wtedy silne zmiany prawdopodobieństwa rekombinacji, sprzyjające pojedynczemu poziomowi energetycznemu, znajdującemu się w centrum odpychania poziomów. Poza obszarem antykrossingu, dziura staje się zlokalizowana w pojedynczej kropce, a widmo zmienia się z polem elektrycznym, tak jak w przypadku pośredniego sprzężenia.

Chociaż fizyka sprzężenia pomiędzy kropkami, może być najdogodniej opisana przez model identycznych kropek, kropki które są aktualnie wytwarzane, nie są nigdy identyczne [17, 26]. Dla pary kropek, jedna z nich jest zawsze większa lub głębsza niż druga. Dla więcej niż dwóch kropek, istnieje kilka możliwości zmian głębokości potencjału uwięzienia wzdłuż stosu. Celem niniejszej pracy jest także wyznaczenie cech widma, które są niezależne od specyficznego porządku głębokości potencjału uwięzienia wzdłuż stosu. Z tego powodu, rozważane są zarówno identyczne kropki jak i również te ze zmianą w głębokości potencjału. W tym drugim przypadku, uwaga skoncentrowana jest na sytuacji, w której głębokość potencjału uwięzienia wzrasta wzdłuż stosu. Jest to umotywowane faktem, że w procesie wzrostu Stranski'ego-Krastanova, dla tej samej liczby monowarstw InAs nanoszonych dla każdej warstwy kropek, rozmiar kropek kwantowych wzrasta wzdłuż stosu [17, 26]. W dalszej części pracy, przypadek ten będzie nazywany przypadkiem „stałego gradientu” potencjału uwięzienia. Ponieważ potencjał pojedynczych kropek może być celowo modyfikowany [5] podczas wzrostu, także inne konfiguracje będą rozważane w tej

---

pracy, między innymi ta, gdy kropka z silniejszym uwięzieniem jest usytuowana w środku stosu, a nie na jego końcu.

# Model i metoda

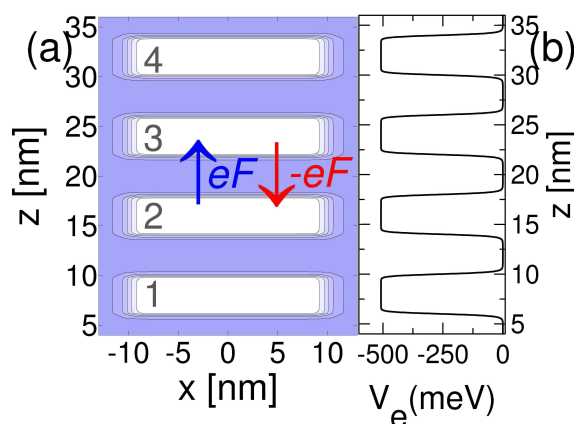
## 3.1 Wprowadzenie

Do rozwiązania problemu pary elektron-dziura, zastosowano prosty model potencjału uwięzienia oraz metodę dokładnie uwzględniającą korelacje między cząstkami. Podobne podejście pomyślnie przewidziało [29] mechanizm rozpadu ekscytonu [16, 27] i trionu [15] przez pole elektryczne. Użyta będzie tutaj, metoda oddziaływania konfiguracji wprowadzona w pracy [30] dla pary kropek, która uogólniona została dla przypadku większej liczby kropek. Metoda ta uwzględnia korelacje elektron-dziura w zewnętrznym polu elektrycznym, w jednopasmowym przybliżeniu dla dziury (tzw. ciężka dziura), z prostym modelem potencjału uwięzienia. Przybliżenie jednopasmowe dla dziury, jest uzasadnione przez małą wysokość kropki, która wyklucza udział lekkich dziur z najniższych stanów energetycznych. Moment dipolowy indukowany przez transfer nośników pomiędzy kropkami, jest znacznie większy niż ten wynikający z deformacji funkcji falowej w pojedynczej kropce. Dlatego też w eksperymencie widać, przede wszystkim efekty związane z transferem nośników między kropkami, a nie modyfikacje ich funkcji falowych wewnątrz jednej kropki. Tylko te modyfikacje są uzależnione, od szczegółów potencjału uwięzienia. Z tego powodu zastosowany został prosty model potencjału.

Dla pojedynczej kropki potencjał modelowy ma następującą postać:

$$V(\mathbf{r}) = -V_0 / \left[ \left( 1 + \frac{x^2 + y^2}{R^2} \right)^{10} \left( 1 + \frac{(z - \zeta)^2}{Z^2} \right)^{10} \right], \quad (3.1)$$

gdzie  $\zeta$  jest pozycją środka kropki wzdłuż osi  $z$ .



**Rysunek 3.1:** (a) Potencjał uwięzienia dla stosu czterech kropek z grubością bariery pomiędzy kropkami 4 nm – im słabszy odcień szarości tym głębszy potencjał. Kropki mają identyczne rozmiary: średnica 20 nm i wysokość 4 nm. Kropki są ponumerowane od najniższej do najwyższej. Strzałka po lewej (prawej) stronie pokazuje siłę z jaką pole elektryczne działa na elektron (dziurę) dla  $F > 0$ . (b) Potencjał uwięzienia dla elektronu wzdłuż osi stosu ( $x = 0, y = 0$ ).

Profil potencjału uwięzienia jest przedstawiony za pomocą szarego cienia na rysunku 3.1(a), dla stosu czterech identycznych kropek. Potencjał uwięzienia elektronu wzdłuż osi stosu, znajduje się na rysunku 3.1(b). Zakładamy, że kropki są idealnie współosiowe (tak jak pokazuje to rysunek 3.1(a)). Nieidealna współosiowość nie ma jakościowego wpływu na widmo, gdy pole elektryczne jest zorientowane w kierunku wzrostu [30]. Zgodnie z danymi eksperymentalnymi zawartymi w pracy [15] przyjmujemy, że średnica kropek wynosi  $2R = 20$  nm, a wysokość jest równa  $2Z = 4$  nm. Masy efektywne ( $m_e = 0.037m_0$  dla elektronu i  $m_h = 0.45m_0$  dla dziury) jak również stała dielektryczna ( $\epsilon = 12.5$ ) są wzięte dla  $\text{In}_{0.66}\text{Ga}_{0.34}\text{As}$  kropek kwantowych [30] w otoczeniu GaAs. Głębokości studni dla elektronu i dziury przyjęto odpowiednio do tej koncentracji i wynoszą one  $V_0^e = 508$  meV (dla elektronu) i  $V_0^h = 218$  meV (dla dziury). Zmiana potencjału uwięzienia w stosie jest modelowana przez wprowadzenie zmian w głębokościach kropek.

Dla pary elektron-dziura rozważany jest następujący Hamiltonian:

$$H = -\frac{\hbar^2}{2m_e}\nabla_e^2 - \frac{\hbar^2}{2m_h}\nabla_h^2 + V_e(\mathbf{r}_e) + V_h(\mathbf{r}_h) - \frac{e^2}{4\pi\epsilon\epsilon_0|\mathbf{r}_e - \mathbf{r}_h|} - e\mathbf{F} \cdot (\mathbf{r}_e - \mathbf{r}_h), \quad (3.2)$$

gdzie  $\mathbf{r}_e, \mathbf{r}_h$  są odpowiednio współrzędnymi elektronu i dziury, a  $\mathbf{F}$  oznacza zewnętrzne



pole elektryczne. Potencjały uwięzienia dla elektronu i dziury, są dane przez sumę potencjałów dla pojedynczej kropki w formie podanej przez równanie (3.1). W Hamiltonianie (3.2) energia liczona jest w odniesieniu do dna pasma przewodnictwa i wierzchołka pasma walencyjnego materiału bariery (GaAs). Aby uzyskać energię rekombinacji, to do wartości podanych w pracy, należy dodać wartość przerwy energetycznej w GaAs. Efekty spinowe, wymiana elektron-dziura są małe [23] w porównaniu ze skalą modyfikacji energii w anty-krossingach poziomów energetycznych i dlatego są zaniedbywane w tej pracy.

## 3.2 Metoda oddziaływania konfiguracji

Problem własny pary elektron-dziura, jest rozwiązywany metodą oddziaływania konfiguracji z jednocząstkowymi funkcjami własnymi  $f_p^{(j)}(\mathbf{r}_p)$ . Oznaczenie cząstek jest następujące:  $p = e$  oznacza elektron,  $p = h$  oznacza dziurę,  $j$  natomiast numeruje jednocząstkowe funkcje własne. Jednocząstkowe funkcje własne są diagonalizowane w wielocentrowej bazie funkcji Gaussa [30]

$$f_p^{(j)}(\mathbf{r}_p) = \sum_i c_i^{(j,p)} \exp \left[ -\alpha_i^p \left( (x_p - x_i^p)^2 + (y_p - y_i^p)^2 \right) - \beta_i^p (z_p - z_i^p)^2 \right], \quad (3.3)$$

gdzie  $c_i^{(j,p)}$  są liniowymi parametrami wariacyjnymi, a  $\alpha_i^p, \beta_i^p$  są nieliniowymi parametrami wariacyjnymi, opisującymi siłę lokalizacji *i*tego Gaussianu wokół punktu  $(x_i^p, y_i^p, z_i^p)$ .

Dla każdej kropki zastosowano 11 funkcji Gaussa – 8 Gaussianów na okręgu wokół osi stosu i 3 Gaussiany wzdłuż osi. Właściwe pozycje Gaussianów i siła ich lokalizacji w kierunku wzrostu ( $\beta_i^p$ ) i w płaszczyźnie prostopadłej ( $\alpha_i^p$ ) są optymalizowane wariacyjnie, oddzielnie dla elektronu i dziury. Baza liczona jest dla uwięzionych jednocząstkowych stanów z momentem pędu, aż do  $\pm 4\hbar$ . Włączenie większej liczby Gaussianów do bazy, nie wpływa znacząco na poprawę wyników. W ogólności, dla stosu  $N$  kropek baza dla pary elektron-dziura zawiera  $(11N)^2$  zlokalizowanych funkcji falowych, danych przez iloczyn funkcji jedno-elektronowych  $f_e^{(j)}$  i jedno-dziurowych  $f_h^{(k)}$ :

$$\phi(\mathbf{r}_e, \mathbf{r}_h) = \sum_{j=1}^{11N} \sum_{k=1}^{11N} d_{jk} f_e^{(j)}(\mathbf{r}_e) f_h^{(k)}(\mathbf{r}_h). \quad (3.4)$$

## 3.2 Metoda oddziaływania konfiguracji

---

Gęstości elektronowe  $n_e(\mathbf{r}_e)$  i dziurowe  $n_h(\mathbf{r}_h)$  obliczane są z ekscytonowej funkcji falowej  $\phi$ , której argumentami są wektory w sześciowymiarowej przestrzeni, przez całkowanie gęstości prawdopodobieństwa, po współrzędnych drugiej cząstki tzn.

$$n_e(\mathbf{r}_e) = \int d\mathbf{r}_h |\phi(\mathbf{r}_e, \mathbf{r}_h)|^2 \quad (3.5)$$

oraz

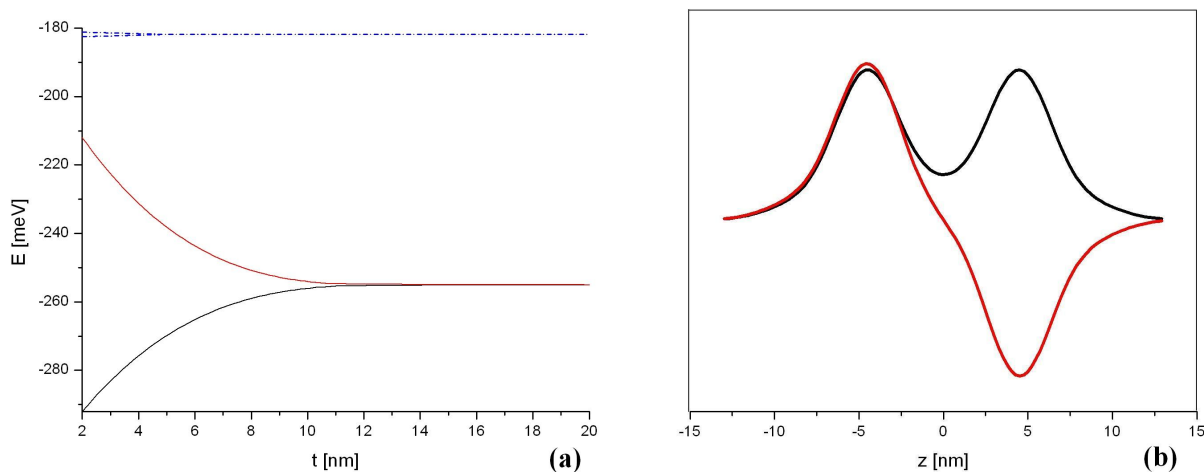
$$n_h(\mathbf{r}_h) = \int d\mathbf{r}_e |\phi(\mathbf{r}_e, \mathbf{r}_h)|^2. \quad (3.6)$$

Prawdopodobieństwo rekombinacji jest liczone następująco:

$$p = \left| \int d^3\mathbf{r}_e \int d^3\mathbf{r}_h \phi(\mathbf{r}_e, \mathbf{r}_h) \delta^3(\mathbf{r}_e - \mathbf{r}_h) \right|^2. \quad (3.7)$$

# Rozszczepienie poziomów energetycznych pojedynczego elektronu i pojedynczej dziury w wyniku sprzężenia tunelowego między kropkami

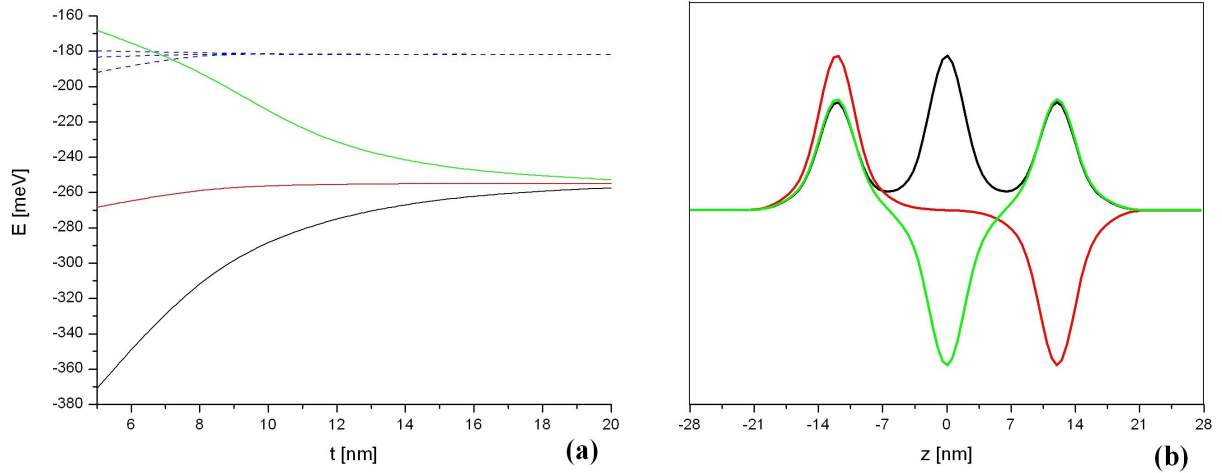
Rysunek 4.1(a) przedstawia jednocząstkowe poziomy energetyczne elektronu i dziury dla cząstek uwięzionych w podwójnej kropce kwantowej.



**Rysunek 4.1:** (a) Jednocząstkowe poziomy energetyczne dla elektronu (linia ciągła) i dla dziury (linia przerywana) w funkcji grubości bariery  $t$ , dla podwójnej sprzężonej kropki kwantowej. (b) Funkcje falowe elektronu odpowiadające tym poziomom.

W obliczeniach tych poziomów pominięte zostało oddziaływanie elektron-dziura. Uzyskane poziomy są dwukrotnie zdegenerowane dla dużej szerokości bariery pomiędzy kropkami. Kiedy następuje zmniejszenie odległości dzielącej kropki, degeneracja jest usuwana. Energia stanów parzystych obniża się z redukcją szerokości bariery, podczas gdy energia stanów nieparzystych wzrasta. Widzimy, że sprzężenie tunelowe dla elektronu jest znacznie silniejsze niż dla dziury. Różna siła sprzężenia dla elektronu i dla dziury wynika z dużej dysproporcji mas efektywnych. Dodatkowo na rysunku 4.1(b) zostały zamieszczone funkcje falowe elektronu odpowiadające stanom z rysunku 4.1(a).

Rozszczepienie stanów parzystych i nieparzystych dla przypadku trzech kropek zostało zilustrowane na rysunku 4.2(a).



**Rysunek 4.2:** (a) Jednocząstkowe poziomy energetyczne dla elektronu (linia ciągła) i dla dziury (linia przerywana) w funkcji grubości bariery  $t$ , dla stosu trzech kropek. (b) Funkcje falowe elektronu odpowiadające tym poziomom.

Tak jak w przypadku dwóch kropek, dla dużej szerokości bariery otrzymujemy rozszczepienie stanów parzystych i nieparzystych. Rozszczepienie to jest znacznie mniejsze dla dziury niż dla elektronu. W tym przypadku dla szerokiej bariery poziomy są zdegenerowane trzykrotnie.

W pracy rozważany jest stos pośrednio i silnie sprzężonych kropek. Siła sprzężenia może być bez problemu określona przez energię rozszczepienia wiążących i antywiązących stanów dla pary identycznych kropek.

---

Dla pośredniego sprzężenia energia rozszczepienia dla elektronu jest rzędu 10 meV. Tunelowanie dziury pozostaje nieistotne, z energią rozszczepienia mniejszą niż 100  $\mu\text{eV}$ . Wyniki prezentowane poniżej dla pośredniego sprzężenia otrzymane zostały dla grubości bariery  $t$  od 4 do 6 nm. Dla pary identycznych kropek energia rozszczepienia dla elektronu jest równa 9.5 meV i 27.5 meV dla bariery odpowiednio  $t = 6$  i 4 nm. Odpowiadająca energia rozszczepienia dla dziury dla tych wartości  $t$  wynosi 4  $\mu\text{eV}$  oraz 70  $\mu\text{eV}$ . Jako przypadek silnego sprzężenia rozważane jest widmo otrzymane dla grubości bariery  $t = 1$  nm. Energia rozszczepienia związana z elektronowym sprzężeniem tunelowym jest dużo większa niż dla pośredniego sprzężenia i wynosi 136 meV. Przewyższa ona w dużej mierze możliwe niezamierzone zmiany w głębokości uwięzienia pomiędzy kropkami. W przypadku dziury, dla której sprzężenie tunelowe staje się znaczące, energia rozszczepienia wynosi tylko 5.8 meV.

Analogiczne wyniki otrzymuje się dla stosu z czterema kropkami. Poziomy są wówczas czterokrotnie zdegenerowane dla dużej szerokości bariery.

---

# Ekscytonowy efekt Starka

---

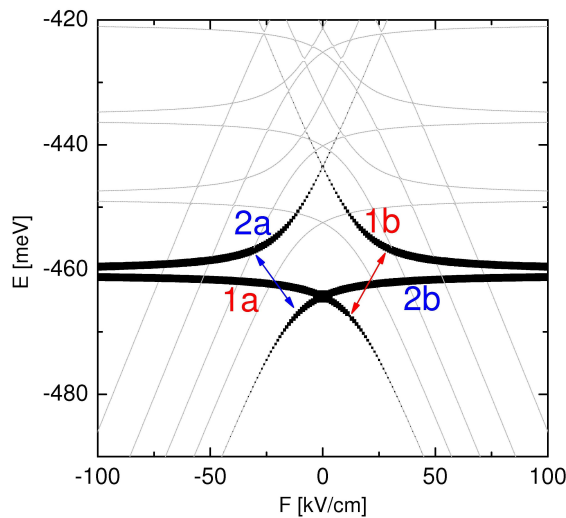
## 5.1 Wstęp

Dla zastosowanych parametrów potencjału, stan podstawowy energii ekscytonu w pojedynczej kropce kwantowej, wynosi  $-460.7$  meV. Z dodaniem kolejnych, identycznych kropek do stosu, stan podstawowy staje się przesunięty ku czerwieni. Według przeprowadzonych obliczeń dla bariery równej  $1$  nm, energie stanu podstawowego są równe  $-524.4$ ,  $-546.8$  oraz  $-556.2$  meV odpowiednio dla stosu dwóch, trzech i czterech kropek. Odpowiednie przesunięcia w energii z dodaniem drugiej, trzeciej i czwartej kropki, wynoszą  $63.8$ ,  $22.4$ , i  $9.4$  meV. W granicy dużej liczby kropek uzyskiwana jest supersieć, o skończonej wartości energii stanu podstawowego ekscytonu. Z tego powodu, przesunięcia ku czerwieni, zmniejszają się z dodawaniem kolejnych kropek. Otrzymane zmniejszanie się przesunięć z rosnącą liczbą kropek, jakościowo zgadza się z danymi doświadczalnymi, otrzymanymi dla próbki zawierającej kilka kropek w przypadku silnego sprzężenia (rysunek (4) w pracy [17]). W wynikach eksperymentalnych [17], odpowiednie przesunięcia ku czerwieni są równe  $64.1$ ,  $34.3$  oraz  $32.8$  meV. Redukcja z liczbą kropek następuje w mniej wyraźny sposób, niż w wynikach teoretycznych. Może to być spowodowane faktem, że obliczenia zostały przeprowadzone dla identycznych kropek, natomiast w eksperymencie [17] rozmiary kropek rosną wmiarę jak są one dodawane do stosu.

## 5.2 Dwie identyczne kropki – pośrednie sprzężenie

Dla dyskusji zmian zachodzących w widmie fotoluminescencyjnym wraz ze wzrastającą liczbą kropek wstosie, użyteczne będzie zbadanie widma dla pary sprzężonych kropek. Widmo to jest przedstawione na rysunku 5.1, dla pośredniego sprzężenia w funkcji pola elektrycznego  $F$ . Szerokość bariery pomiędzy kropkami wynosi  $t = 5$  nm.

Widmo to zawiera zbiór jasnych poziomów (grubość linii jest ustawiona proporcjonalnie do prawdopodobieństwa rekombinacji obliczonego według wzoru (3.7)) i mnóstwo ciemnych poziomów energetycznych, odpowiadających wzbudzeniom dziury, z niezerowym momentem pędu i/lub rozdzielonym nośnikom. Dla pośredniego sprzężenia, jasne poziomy energetyczne mogą być pogrupowane w rodziny, które różnią się między sobą kropką, w której jest zlokalizowana dziura. Rodziny te, oznaczone są przez liczby wskazujące kropkę zawierającą dziurę, zgodnie z porządkiem pokazanym schematycznie na rysunku 3.1(a).



**Rysunek 5.1:** Widmo energetyczne ekscytynu dla dwóch identycznych kropek, rozdzielonych barierą  $t = 5$  nm. Grubość linii jest proporcjonalna do prawdopodobieństwa rekombinacji (zgodnie z równaniem (3.7)). Jasne poziomy energetyczne są oznaczone przez liczby 1 lub 2, wskazujące kropkę, w której jest zlokalizowana dziura (rysunek 3.1). Dwie strzałki wskazują odpychające się poziomy energetyczne, kiedy elektron jest usuwany z kropki, w której jest zlokalizowana dziura. Litery (a,b) oznaczają jasne poziomy energetyczne należące do tej samej rodziny (z dziurą zlokalizowaną w tej samej kropce), pojawiające się odpowiednio dla  $F \ll 0$ ,  $F \simeq 0$  i  $F \gg 0$ .

W obrębie każdej rodziny, dodatkowo przez kolejne litery alfabetu  $a$ ,  $b$ ,  $c$ , itd. oznaczone są poziomy energetyczne, które pojawiają się jako jasne, kiedy pole elektryczne zmienia się z wartości silnie ujemnej do silnie dodatniej.

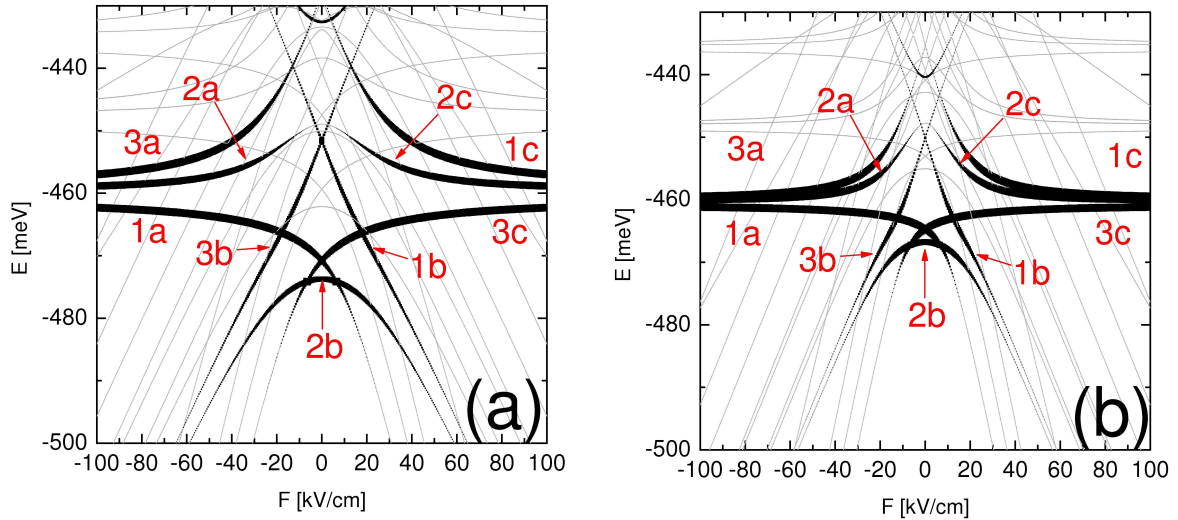
Poziomy energetyczne należące do tej samej rodziny, są włączone w odpychanie poziomów, kiedy pole elektryczne usuwa elektron z kropki zajmowanej przez dziurę. Dla pary kropek, poziom energetyczny  $1a$  jest odpychany przez poziom energetyczny  $1b$ , kiedy elektron jest usuwany z niższej kropki przez dodatnie pole elektryczne  $F > 0$ . Na rysunku 5.1 antykrossing tych poziomów oznaczony jest za pomocą strzałek. Lustrzane odbicie tego odpychania poziomów, pojawia się pomiędzy poziomami energetycznymi  $2a$  i  $2b$  dla ujemnych wartości pola. Dla pośredniego sprzężenia, tzn. pod nieobecność dziurowego sprzężenia tunelowego, poziomy energetyczne należące do różnych rodzin przecinają (krzyżują) się. Na rysunku 5.1 krzyżują się poziomy energetyczne  $1a$  i  $2b$  jak również  $2a$  i  $1b$ , w obydwu przypadkach dla  $F = 0$ . W stanie podstawowym w polu  $F = 0$  takie krzyżowanie prowadzi do degeneracji stanu podstawowego, która jest spowodowana brakiem tunelowania dziury.

### 5.3 Trzy identyczne kropki – pośrednie sprzężenie

Rysunek 5.2(a) przedstawia widmo energetyczne dla trzech identycznych kropek, rozdzielonych barierami o grubości 4 nm. Widmo to jest symetryczne względem orientacji pola elektrycznego i w związku z tym omawiana będzie tylko część dla pola  $F > 0$ . Dla  $F = 0$  stan podstawowy ( $2b$ ) jest niezdegenerowany – w odróżnieniu od przypadku dla dwóch kropek na rysunku 5.1 – oraz odpowiada dziurze zlokalizowanej w środkowej kropce (gęstości dziurowe przedstawione są na rysunku 5.3(b)) [1]. Elektron zajmuje głównie tą samą kropkę co dziura, ale widoczne jest również jego tunelowanie do sąsiednich kropek (rysunek 5.3(a)). Dla nieoddziałującej pary elektron-dziura i nieistotnego tunelowania dziury, stan podstawowy jest trzykrotnie zdegenerowany. Wykazywana przez elektron preferencja do pozostawania w środku centralnej kropki i oddziaływanie pary elektron-dziura, prowadzi do efektywnego wzrostu głębokości środkowej kropki dla dziury.

Dla  $F$  rosnącego od 0 do 10 kV/cm gęstość elektronowa dopowiadająca poziomowi  $2b$ , jest usuwana z najniższej kropki i wzrasta w najwyższej kropce (rysunek 5.3(c)). Poziom

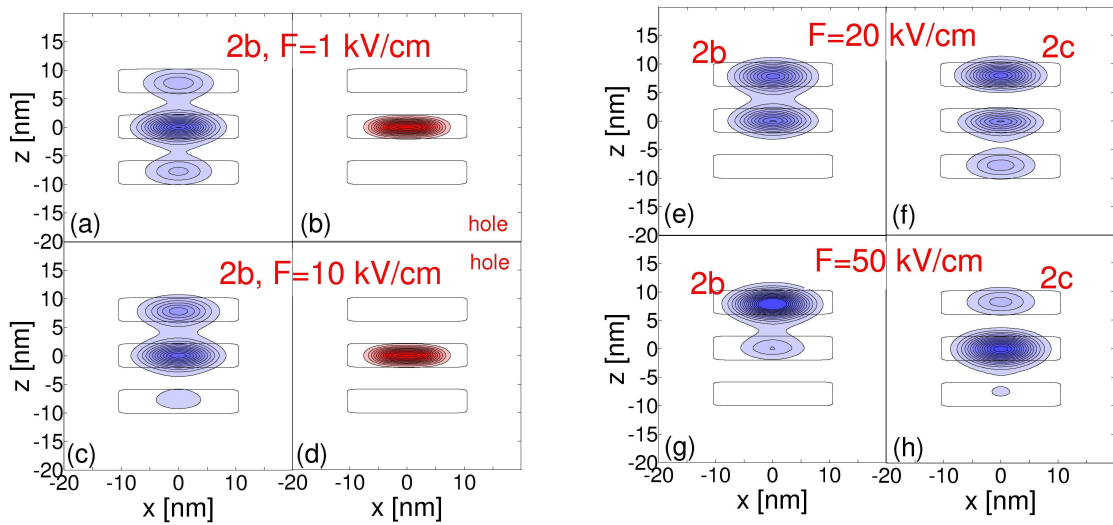




**Rysunek 5.2:** Widmo energetyczne ekscytonu dla trzech identycznych kropek, rozdzielonych barierą o grubości 4 nm (a) i 5 nm (b). Grubość linii jest ustawiona proporcjonalnie do prawdopodobieństwa rekombinacji (równanie (3.7)). Jasne poziomy energetyczne są oznaczone przez liczby 1,2 lub 3, wskazujące kropkę, w której jest zlokalizowana dziura (rysunek (3.1)). Litery (a,b,c) oznaczają jasne poziomy energetyczne należące do tej samej rodziny (z dziurą zlokalizowaną w tej samej kropce) pojawiające się odpowiednio dla pola  $F \ll 0$ ,  $F \simeq 0$  i  $F \gg 0$ .

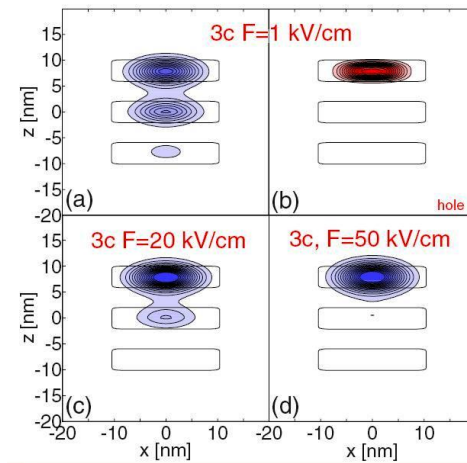
2b staje się ciemny (nieaktywny optycznie, to jest o prawdopodobieństwie rekombinacji równym zero) blisko  $F = 50$  kV/cm (rysunek 5.2(a)), co jest spowodowane separacją nośników (rysunek 5.3(e,g)). Dysocjacja ekscytonu w poziomie energetycznym 2b w polu  $F > 0$  następuje przez odpychanie z poziomem energetycznym 2c. Elektron w poziomie energetycznym 2c (rysunek 5.3(f) i (h)) wchodzi do środkowej kropki zajmowanej przez dziurę, kiedy gęstość elektronowa w 2b zostaje zlokalizowana przez pole w najwyższej kropce (rysunek 5.3(e,g)).

Rysunek 5.4(a) pokazuje, że w poziomie energetycznym 3c dla małego pola, obserwuje się pozostałość obecności elektronu w najniższej kropce (1). Wraz z rosnącym polem, elektron staje się całkowicie zlokalizowany w trzeciej kropce (gdzie dla stanów rodziny 3x zlokalizowana jest dziura). Ten efekt można odczytać z rysunku 5.2(a) – wraz z polem  $F > 0$  wzrasta intensywność linii 3c w porównaniu do pola  $F = 0$ . Rodzina 3x ma bardziej interesujące zachowanie dla pola  $F < 0$  i dla przypadku symetrycznej kropki, jest to lustrzane odbicie zjawiska obserwowanego dla rodziny 1x w polu  $F > 0$ , która opisana będzie poniżej.



**Rysunek 5.3:** Gęstości elektronowe (a, c, e-h) i dziurowe (b,d) dla stanów należących do rodziny  $2x$ , w których dziura zlokalizowana jest w centralnej kropce (2) dla trzech identycznych kropek, z grubością bariery 4 nm, dla różnych wartości pola elektrycznego  $F$ . Odpowiadające tym gęstościom poziomy energetyczne, przedstawione są na rysunku 5.2(a). Zaznaczone cienką kreską granice kropek wskazują obszar, w którym potencjał uwięzienia wynosi przynajmniej 10% jego maksymalnej wartości, w odniesieniu do centrum każdej kropki.

Poziomy energetyczne  $1a$  i  $3c$  są zdegenerowane dla  $F = 0$ . W słabym polu, w stanie  $1a$  gęstość elektronowa jest odbiciem gęstości  $3c$ , w odniesieniu do środkowej kropki (rysunek 5.5(a) w porównaniu z rysunkiem 5.4(a)). W poziomie energetycznym  $1a$ , w polu  $F = 0$  rozkład gęstości elektronu i dziury ma niezerowy elektryczny moment dipolowy, w przeciwieństwie do poziomu energetycznego  $2b$ . Konsekwencją tego jest fakt, że poziom energetyczny  $1a$  reaguje na pole znacznie silniej niż poziom energetyczny  $2b$  (rysunek 5.2(a)). Stan  $1a$  początkowo staje się stanem podstawowym, a następnie kiedy elektron jest usuwany z najniższej kropki (rysunek 5.5(b,c)), staje się ciemny (rysunek 5.2(a)). Dla małego pola elektrycznego, elektron w stanie  $1b$  jest zlokalizowany głównie w skrajnych kropkach potrójnego stosu (rysunki 5.5(d-f)). W wyższym polu, elektron w poziomie energetycznym  $1b$  staje się zlokalizowany w środkowej kropce (dziura pozostaje w najniższej kropce we wszystkich stanach rodziny  $1x$ ) i konsekwentnie poziom energetyczny staje się ciemny.

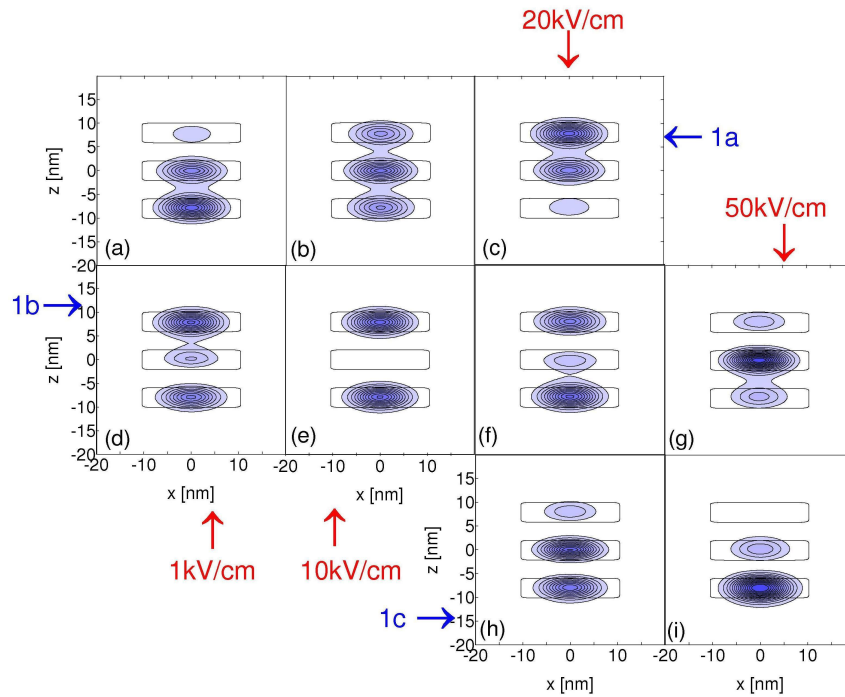


**Rysunek 5.4:** Gęstości elektronowe i dziurowe dla poziomu energetycznego  $3c$  z rysunku (5.2). Rysunki (a, c, d) pokazują gęstości elektronowe a (b) gęstość dziurową. Grubość bariery wynosi 4 nm.

Można zauważyć, że nachylenie poziomu energetycznego  $1b$ , kiedy staje się on ciemny, jest dwa razy mniejsze, niż dla stanu podstawowego  $1a$ , kiedy jest ciemny. Spowodowane to jest elektrycznym momentem dipolowym, który jest dwa razy mniejszy w stanie  $1b$  (dziura jest w najniższej kropce, elektron w środkowej) niż w stanie podstawowym  $1a$  (dziura w najniższej kropce, elektron w najwyższej). W wyższym polu elektron staje się zlokalizowany w najniższej kropce, tylko w trzecim stanie ( $1c$ ) rodziny  $1x$  (rysunek 5.5(h,i)).

Silne pole elektryczne, usuwa sprzężenie tunelowe elektronu pomiędzy kropkami, więc elektron staje się zlokalizowany w pojedynczej kropce, podobnie jak dziura. We wszystkich jasnych stanach  $1c$ ,  $2c$ ,  $3c$  w silnym polu, zmniejszenie energii elektronu w polu elektrycznym, jest kompensowane przez wzrost energii dziury. W konsekwencji, dla dużego  $F$  wszystkie jasne poziomy  $1c$ ,  $2c$  i  $3c$  stają się zdegenerowane. Dla zwiększonej grubości bariery do 5 nm, degeneracja pojawia się dla mniejszej wartości pola  $F$  (rysunek 5.2(b)).

Zmiany w widmie, kiedy do stosu dodawana jest trzecia kropka, bardzo łatwo zauważyć porównując rysunek 5.1 z rysunkiem 5.2. W rodzinie  $1x$  – związanej z dziurą zlokalizowaną w najniższej kropce stosu – jasne poziomy energetyczne pojawiają się w silnym ujemnym  $F \ll 0$  i silnym dodatnim  $F \gg 0$  polu –  $1a$  i  $1c$ , odpowiednio – wykazują odpychanie (rysunek (5.2)) tak jak poziomy energetyczne  $1a$  i  $1b$ , dla przypadku podwójnej kropki (rysunek (5.1)). Podobnie jak w przypadku dwóch kropek, to odpycha-



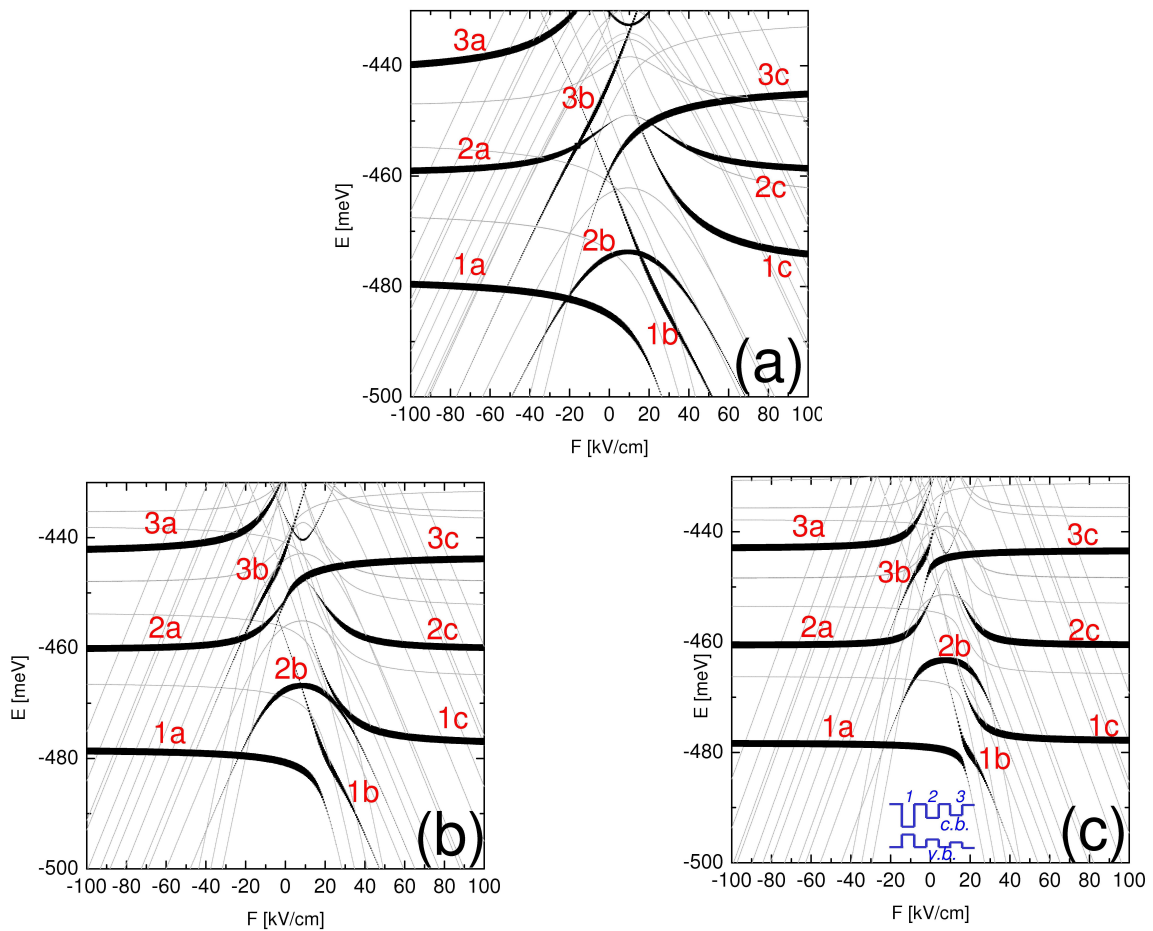
**Rysunek 5.5:** Gęstości elektronowe dla stanów należących do rodziny  $1x$ , w których dziura jest zlokalizowana, w najniższej kropce. Najwyższa (a-c), środkowa (d-g) i najniższa (h-i) kolumna rysunków odpowiada poziomom energetycznym  $1a$ ,  $1b$  i  $1c$  przedstawionym na rysunku 5.2. Kolumny rysunków od lewej do prawej, odpowiadają polu elektrycznemu równemu  $F = 1, 10, 20$  i  $50$  kV/cm.

nie – związane z transferem elektronu z niższej do wyższej kropki – pojawia się dla pola elektrycznego  $F > 0$ . Nową cechą rodziny  $1x$  dla trzech kropek, jest obecność poziomu energetycznego ( $1b$ ), który wchodzi pomiędzy odpychające się poziomy  $1a - 1c$  prawie liniowo i pojawia się jako jasny w obszarze pola elektrycznego, które to opychanie wywołuje. Rodzina  $3x$  związana z kropką znajdującą się na przeciwnym, skrajnym końcu, jest lustrzanym odbiciem rodziny  $1x$ . W porównaniu do przypadku dwóch kropek, jakościowo nową grupą jasnych poziomów energetycznych, jest rodzina  $2x$ , związana z kropką usytuowaną w środku stosu. Poziom energetyczny, który pojawia się jako jasny blisko  $F = 0$  ( $2b$ ) ma paraboliczną zależność w  $F$  i odpycha dwa jasne poziomy energetyczne, należące do tej rodziny:  $2a$  w polu  $F < 0$  i  $2c$  w polu  $F > 0$ .

## 5.4 Trzy nieidentyczne kropki – pośrednie sprzężenie

W rozdziale tym, omówione zostanie zachowanie się widma ekscytonu, kiedy kropki mają różną głębokość potencjału uwięzienia.

Jako pierwszy rozważany będzie przypadek „stałego gradientu” w głębokości potencjału uwięzienia kropek w stosie (dolna część rysunku 5.6(c) przedstawia schemat potencjału uwięzienia). Na rysunku 5.6 zaprezentowane są wyniki dla przypadku, w którym głębokość najniższej kropki (numer 1) jest zwiększona o 10 meV dla elektronu i dziury, podczas gdy dla najwyższej (numer 3) jest zmniejszona o tą samą wartość dla obydwu

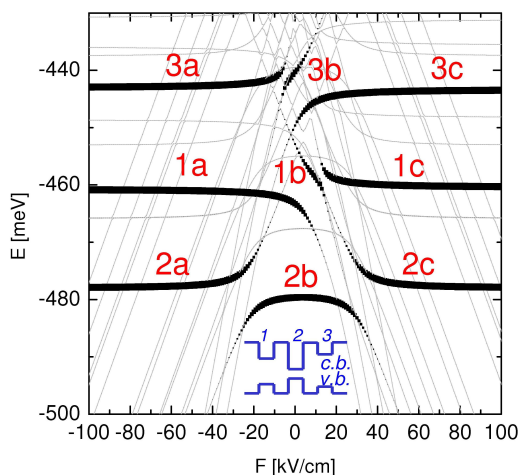


**Rysunek 5.6:** Widmo energetyczne ekscytonu dla trzech nieidentycznych kropek, rozdzielonych przez barierę o grubości 4 nm (a), 5 nm (b) oraz 6 nm (c). Głębokość potencjału uwięzienia kropek 1, 2, 3 jest zmieniona o +10 meV, 0, -10 meV („stały gradient” głębokości potencjału) odpowiednio dla elektronu i dziury. Schematyczny rysunek pasma walencyjnego i pasma przewodnictwa wzdłuż stosu jest umieszczony w dolnej części (c).

nośników. Modyfikacja w głębokości jest bezpośrednio widoczna, w przesunięciu energii pomiędzy rodzinami poziomów energetycznych. Dla dużego pola  $F > 0$ , poziomy energetyczne  $1c$ ,  $2c$ , i  $3c$  nie są już zdegenerowane (jak w przypadku identycznych kropek), ale rozdzielone przez około 20 meV (jest to suma różnicy pomiędzy energią uwięzienia dla obu nośników w oddzielnych kropkach).

Odpychanie poziomów energetycznych w poszczególnych rodzinach, jest najwyraźniej widoczne dla słabszego sprzężenia z barierą  $t = 6$  nm na rysunku 5.6(c). Choć rodziny poziomów energetycznych są przesunięte, jakościowy charakter odpychania poziomów energetycznych w obrębie każdej rodziny, jest taki sam jak w przypadku stosu z identycznymi kropkami. W rodzinie  $2x$  pojedyncze odpychanie, jest obserwowane dla obydwu orientacji pola elektrycznego i pojawia się, kiedy elektron jest przesuwany ze środkowej do wyższej lub niższej kropki. Z drugiej strony, dla rodziny  $1x$  tylko dodatnie pole elektryczne wywołuje antykrasing poziomów energetycznych. Pierwsze odpychanie odpowiada usunięciu elektronu z najniższej do najwyższej kropki, a drugie z najniższej do środkowej kropki.

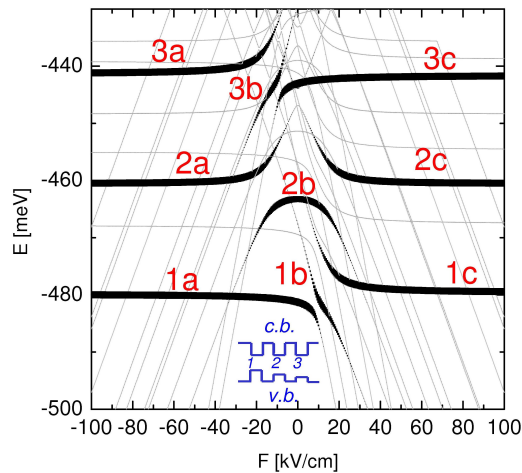
Widmo w przypadku, gdy środkowa kropka jest najgłębsza, jest przedstawione na rysunku 5.7 dla grubości bariery wynoszącej 6 nm. Dolna część rysunku 5.7, pokazuje schemat głębokości potencjału uwięzienia. Centralna kropka jest głębsza o 10 meV, a najwyż-



**Rysunek 5.7:** Widmo energetyczne ekscytynu dla stosu trzech nieidentycznych kropek, z barierą o grubości  $t = 6$  nm. Głębokość potencjału uwięzienia kropek 1, 2, 3 jest zmierzona o 0, +10 meV, -10 meV, odpowiednio dla elektronu i dziury. W dole rysunku znajduje się szkic pasma przewodnictwa i pasma walencyjnego wzdłuż kierunku wzrostu.

sza jest płytsza o 10 meV. Podobnie jak w przypadku „stałego gradientu” z rysunku 5.6(c) i tutaj można bez problemu rozpoznać wzory trzech rodzin poziomów energetycznych, znanych z wyników prezentowanych powyżej. Zgodnie z oczekiwaniami, te rodziny są przesunięte z powodu zmiany głębokości potencjału.

W omawianych dotychczas obliczeniach, dotyczących stosu nieidentycznych kropek, zmiany w głębokościach kropek, wprowadzane były jednakowo dla elektronu i dla dziury. Na rysunku 5.8 przedstawione jest widmo energetyczne ekscytonu, dla równych głębokości potencjału uwięzienia dla elektronu ale ze zmianami głębokości dla dziury : +20, 0, -20 meV, wzdłuż kierunku wzrostu. Porównując widmo przedstawione na rysunku 5.6(c) z rysunkiem 5.8 z łatwością można dostrzec, że rysunki te są prawie identyczne. Takie same wyniki są otrzymywane, gdy dla dziury przyjmuje się równe głębokości, natomiast zmian dokonuje się tylko dla elektronu. Podobny efekt pojawia się w [29] dla sprzężonej pary kropek. Okazuje się bowiem, że oddziaływanie elektron-dziura tłumaczy asymetrię dla jednego typu cząstki, na efektywny potencjał uwięzienia drugiej cząstki. Ten wniosek pozostaje prawdziwy, również dla stosu trzech kropek.

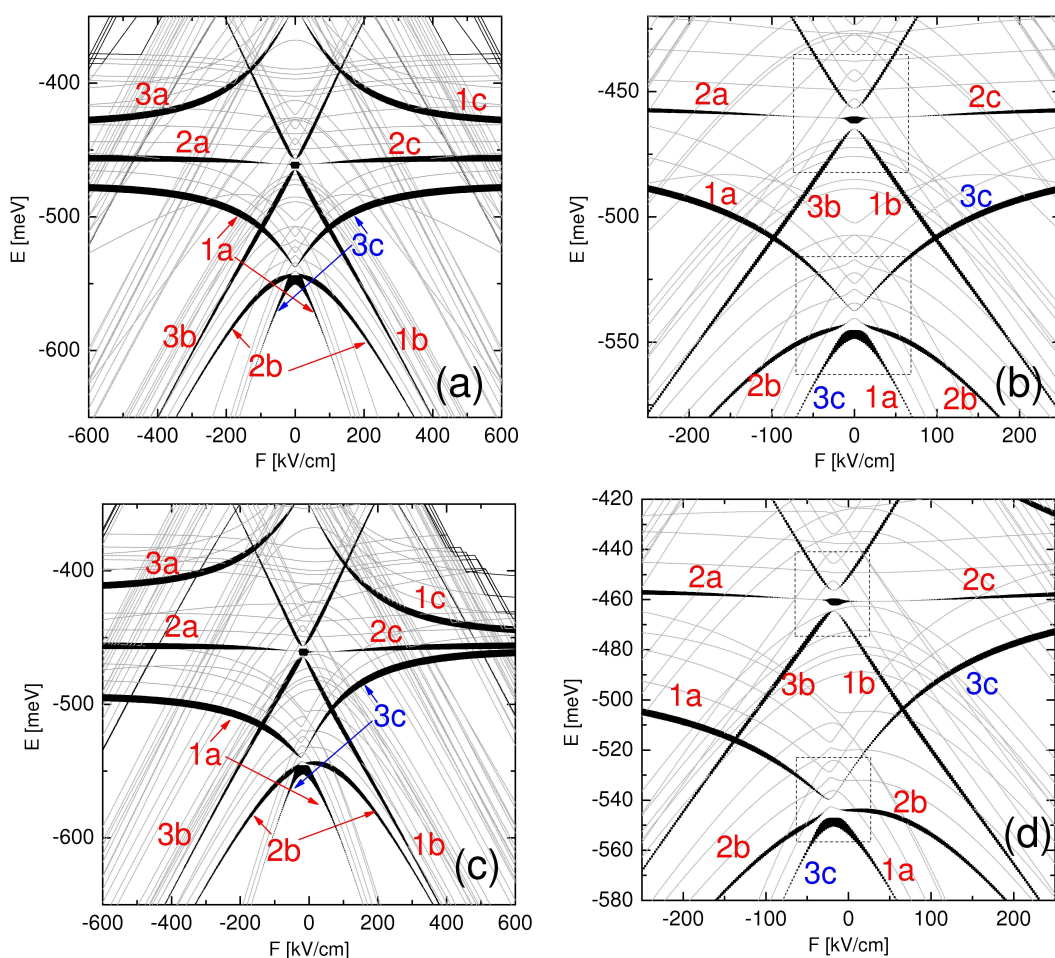


**Rysunek 5.8:** Widmo energetyczne ekscytonu dla trzech kropek, z barierą o grubości  $t = 6$  nm. Głębokość potencjału uwięzienia kropek 1, 2, 3, jest zmieniona tylko dla dziury o +20 meV, 0, -20 meV. Dla elektronu kropki mają równe głębokości. W dolnej części rysunku pokazany jest schemat pasm walencyjnego i pasm przewodnictwa wzdłuż kierunku wzrostu.

## 5.5 Stos trzech kropek – silne sprzężenie

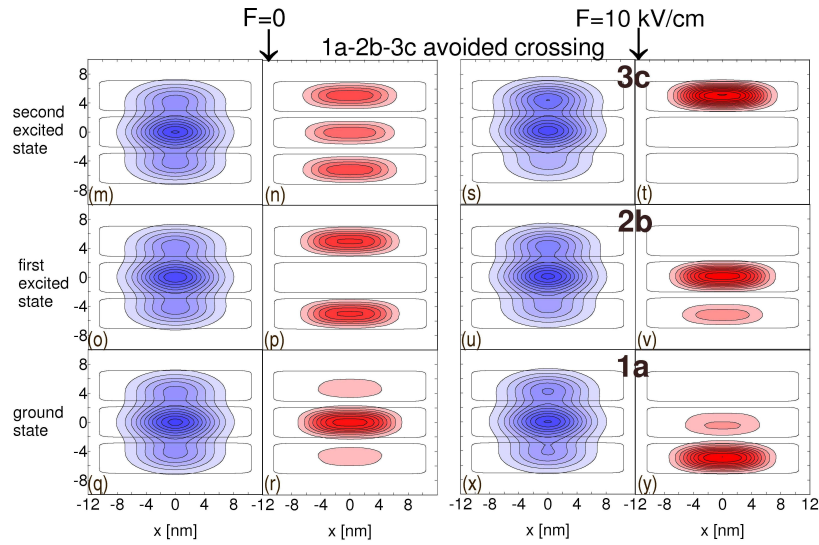
Na rysunku 5.9(a) znajduje się widmo energetyczne ekscytonu dla stosu trzech identycznych kropek, oddzielonych przez barierę o grubości 1 nm.

Dla tej wartości  $t$ , silne sprzężenie pomiędzy kropkami, nie tylko powoduje wzrost energii rozszczepienia elektronu (która poszerza widmo w skali energii), ale także sprawia, że stany elektronowe są mniej podatne na manipulacje przez zewnętrzne pole elektryczne. Dlatego, aby otrzymać zmiany w widmie, porównywalne do tych uzyskanych dla przy-



**Rysunek 5.9:** Widmo ekscytonu dla przypadku silnego sprzężenia, z grubością bariery  $t = 1$  nm (a) odpowiada identycznym kropkom (c) głębokość potencjału uwięzienia dla kropek 1, 2, 3 jest zmodyfikowana odpowiednio o +10, 0, i -10 meV. (b) i (d) przedstawiają te fragmenty (a) i (c), w których obserwowane jest odpychanie pomiędzy różnymi rodzinami.





**Rysunek 5.10:** Gęstości elektronowe i dziurowe dla poziomów energetycznych uczestniczących w antykrossingu, przedstawionym na rysunku 5.9(b). Grupa rysunków (m-y) obejmuje odpychanie stanu podstawowego i oznaczona jest przez niższy prostokąt na rysunku 5.9(b). W każdej grupie – wyższe energetycznie stany odpowiadają wyższym rysunkom. Pierwsza (druga) kolumna pokazuje gęstości elektronowe (dziurowe) dla pola  $F = 0$  (m, o, q dla elektronu oraz n, p, r dla dziury). Identyfikacja stanów, kiedy ich poziomy energetyczne wychodzą z obszaru odpychania, może być dokonana na podstawie rysunków dla  $F = 10$  kV/cm. Dlatego gęstości dla tej wartości  $F$  są nazwane zgodnie z notacją „rodzin” używaną w poprzednich dyskusjach.

padku pośredniego sprzężenia z barierą o grubości  $t = 4$  nm (rysunek 5.2(a)), zarówno skala energii jak i pola elektrycznego przeskalowane zostały o czynnik 5. Uzyskany w ten sposób wzór poziomów energetycznych, podobny jest do widma w przypadku pośredniego sprzężenia z rysunku 5.2(a).

W sytuacji silnego sprzężenia, dla stosunkowo małego pola elektrycznego, pojawia się specyficzna cecha, polegająca na występowaniu antykrossingu pomiędzy poziomami energetycznymi należącymi do różnych rodzin (rysunek 5.9(b)). Za pomocą prostokątów na rysunku 5.9(b), zaznaczone zostały dwa obszary, w których pojawia się takie odpychanie poziomów energetycznych.

W stanie podstawowym, odpychanie obejmuje trzy jasne poziomy energetyczne: 1a, 2b i 3c. Gęstości elektronowe i dziurowe dla tego odpychania, są przedstawione na rysunku 5.10(m-r), dla pola  $F = 0$  oraz na rysunku 5.10(s-y) dla pola  $F = 10$  kV/cm. Wszystkie stany w polu  $F = 0$ , mają prawie tą samą gęstość elektronową (rysunek 5.10(m,o,q))

z maksimum w środkowej kropce, ale z silnym wnikaniem do pozostałych dwóch kropek.

W granicy silnego sprzężenia, prosty iloczyn jednocząstkowych funkcji falowych elektronu i dziury (zamiast liniowej kombinacji takich iloczynów – równanie (4)), jest względnie dobrym przybliżeniem dla ekscytonowej funkcji falowej. Dlatego, choć w zasadzie tylko całkowita parzystość stanów ekscytonowych, jest dobrą liczbą kwantową w  $F = 0$ , w przypadku silnego sprzężenia (i tylko w przypadku silnego sprzężenia), stany nabywają także przybliżenia parzystości jednocząstkowej (dyskutowane w pracy [28]). Poniżej w dyskusji użyta będzie terminologia stany jednocząstkowe i parzystości jednocząstkowych, co okazuje się przydatne w interpretacji antykrossingu poziomów, związanego z tunelowaniem dziury, w przypadku silnego sprzężenia.

We wszystkich trzech stanach  $1a - 2b - 3c$  objętych odpychaniem (niższy prostokąt na rysunku 5.9(b)), elektron jest w parzystym stanie (gęstości elektronowe przedstawione na rysunku 5.10(m,o,q)), to znaczy w jego najniższym stanie energetycznym. W stanie podstawowym dziura ma podobną gęstość (rysunek 5.10(r)), ale ze słabszym wnikaniem do górnej i dolnej kropki. Pierwszy stan wzbudzony odpowiada wzbudzeniu dziury, to znaczy antywiążącemu stanowi dziury (rysunek 5.10(p)). W  $F = 0$  dziura w pierwszym stanie wzbudzonym zajmuje nieparzysty poziom energetyczny. Ze względu na nieparzystość dziury, gęstość zobowiązana jest do zanikania w środku centralnej kropki, a w zasadzie jest całkowicie z niej usuwana (rysunek 5.10(p)). Funkcja falowa ekscytonu dla tego stanu jest nieparzysta i dlatego rekombinacja jest ściśle zabroniona – całka (3.7) jest równa zero.

Dla iloczynu jednocząstkowych funkcji falowych  $\phi(\mathbf{r}_e, \mathbf{r}_h) = f_e(\mathbf{r}_e)f_h(\mathbf{r}_h)$ , formuła na prawdopodobieństwo rekombinacji (3.7) redukuje się do postaci:

$$p = \left| \int d^3\mathbf{r} f_e(\mathbf{r})f_h(\mathbf{r}) \right|^2, \quad (5.1)$$

to znaczy, do kwadratu przekrywania pomiędzy funkcjami falowymi elektronu i dziury. Dla przeciwnej parzystości dwóch funkcji, przekrywanie jest równe zero.

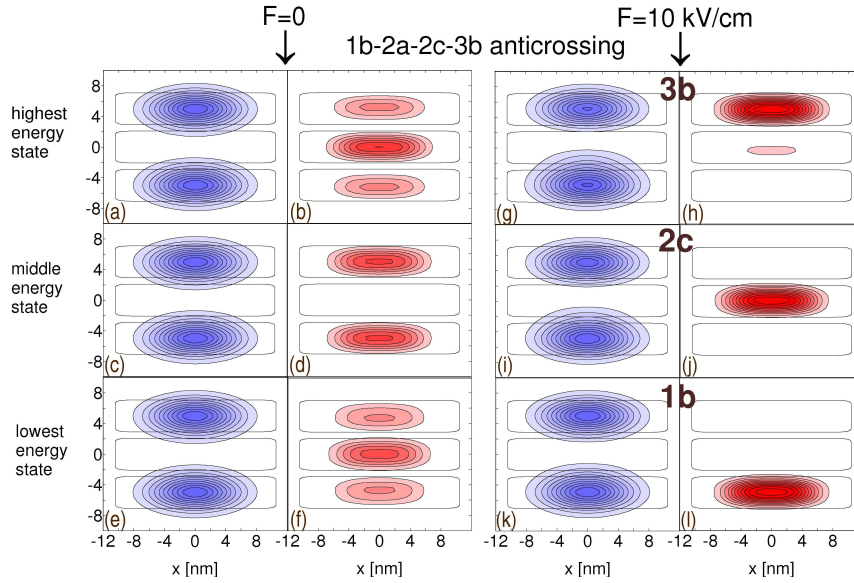
Dla drugiego wzbudzonego poziomu energetycznego, dziura jest znów w stanie parzystym (rysunek 5.10(n)) i w związku z tym prawdopodobieństwo rekombinacji jest niezerowe, ale okazuje się być małe, około 15 razy mniejsze w porównaniu do stanu podstawowego.

wego. W drugim wzbudzonym stanie w  $F = 0$  funkcja falowa dziury zmienia znak w obu barierach. Bardziej prawdopodobne jest znalezienie dziury w skrajnych kropkach stosu, podczas gdy funkcja falowa elektronu jest maksymalna w centralnej kropce. To, wraz z oscylacjami znaku funkcji falowej dziury sprawia, że funkcje falowe elektronu i dziury są prawie ortogonalne, stąd małe prawdopodobieństwo rekombinacji.

Gęstości elektronowe i dziurowe prezentowane na rysunku 5.10(m-r), są jakościowo zgodne z obliczeniami wykonanymi dla pola elektrycznego  $F = 0$  i przedstawionymi na rysunku (5) w pracy [17]. Praca ta dotyczy stanów elektronowych i dziurowych w stosie trzech silnie sprzężonych kropek, każda ma inne rozmiary i kształt.

Pole elektryczne redukuje prawdopodobieństwo rekombinacji ze stanu podstawowego, a wszystkie trzy poziomy opuszczają region odpychania (niższy prostokąt na rysunku 5.9(b)) jako jasne stany z porównywalnym prawdopodobieństwem rekombinacji. Gęstości elektronowe i dziurowe dla tych poziomów energetycznych, są przedstawione na rysunku 5.10(s-y) dla pola  $F$  równego 10 kV/cm. Już ta wartość pola elektrycznego jest wystarczająca, by usunąć sprzężenie tunelowe dziury (rysunek 5.10(t,v,y)). Kiedy dziura staje się zlokalizowana w pojedynczej kropce, dyskusja poziomów energetycznych staje się możliwa w uprzednio używanej terminologii rodzin. Dlatego na zewnątrz obszaru odpychania można zidentyfikować stan podstawowy jako poziom energetyczny  $1a$ , pierwszy stan wzbudzony jako poziom energetyczny  $2b$  oraz drugi stan wzbudzony jako  $3c$ . Poza dyskutowanym obszarem antykrossingu w zakresie małego pola elektrycznego, poziomy energetyczne należące do różnych rodzin krzyżują się, tak jak w przypadku pośredniego sprzężenia (na rysunku 5.9(b) dla przykładu krzyżują się poziomy energetyczne  $3c$  i  $1b$ ).

W obszarze drugiego antykrossingu, obserwowanego na rysunku 5.9(b) (oznaczonego przez górny prostokąt), dla ujemnej strony  $F$ , odpychanie następuje pomiędzy poziomami energetycznymi  $1b$ ,  $2a$  i  $3b$ . W polu  $F = 0$  we wszystkich stanach, które wchodzą w ten antykrossing, elektron jest w pierwszym stanie wzbudzonym, nieparzystym w odniesieniu do środka stosu [rysunek 5.11(a,c,e)]. Z powodu symetrii, gęstość elektronowa w tym stanie zanika w środku stosu, ale nie całkowicie w środkowej kropce, widoczne jest przeciekanie gęstości ze skrajnych kropek. W  $F = 0$ , w najniższym z trzech uczestniczących w odpychaniu poziomów energetycznych, rekombinacja jest zabroniona ze względu na parzystość dziury (dziura w stanie parzystym, w przeciwieństwie do parzystości elek-



**Rysunek 5.11:** Gęstości elektronowe i dziurowe, dla poziomów energetycznych uczestniczących w antykrośnięciu przedstawionym na rysunku 5.9(b). Grupa rysunków (a-l) obejmuje odpychanie stanu podstawowego i oznaczona jest przez wyższy prostokąt na rysunku 5.9(b). W każdej grupie – wyższe energetycznie stany odpowiadają wyższym rysunkom. Pierwsza (druga) kolumna pokazuje gęstości elektronowe (dziurowe) dla pola  $F = 0$  (a, c, e dla elektronu oraz b, d, f dla dziury). Identyfikacja stanów, kiedy ich poziomy energetyczne wychodzą z obszaru odpychania, może być dokonana na podstawie rysunków dla  $F = 10$  kV/cm. Dlatego gęstości dla tej wartości  $F$  są nazwane zgodnie z notacją „rodzin” używaną w poprzednich dyskusjach.

tronu – rysunek 5.11(f)). Z tego samego powodu, w  $F = 0$  rekombinacja z wyższych energetycznie, trzech odpychających się poziomów, jest ściśle zabroniona (gęstość dziurowa rysunek 5.11(b)). W konsekwencji – tylko środkowy energetycznie stan jest jasny dla  $F = 0$ .

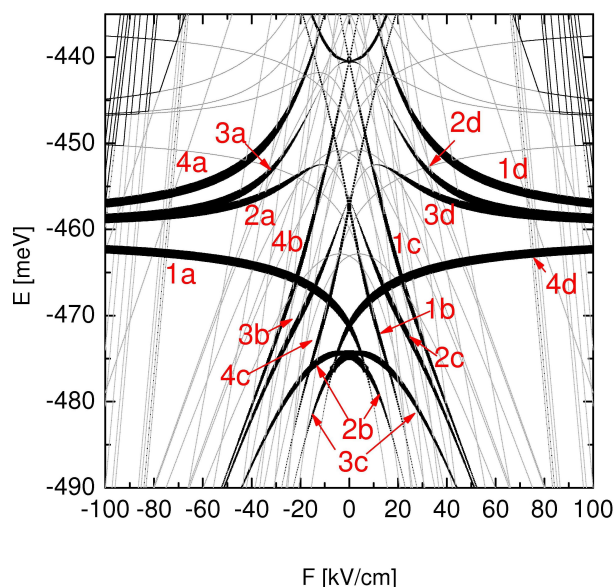
Gęstości elektronowe i dziurowe jasnych stanów w  $F = 0$  są podobne (porównanie rysunku 5.11(c) i (d)), obie cząstki są w najniższym energetycznie, antywiązącym poziomie energetycznym. Dla większej wartości pola,  $F = 10$  kV/cm sprzężenie tunelowe dziury jest usunięte (rysunek 5.11(h,j,l)). Jasne poziomy energetyczne, opuszczając obszar antykrośnięcia, zachowują się w taki sam sposób, jak w odpychaniu obejmującym stan podstawowy, to znaczy niższy energetycznie jasny poziom w  $F > 0$ , jest związany z dziurą zlokalizowaną w kropce 1, średni energetycznie – z dziurą w kropce 2 oraz najwyższy energetycznie stan z dziurą w kropce 3.

W obszarze pośredniego sprzężenia, kiedy potencjał uwięzienia kropki ulega zmianie, rodziny poziomów energetycznych są przesunięte w stosunku do siebie, tak jak w uprzednio diskutowanym przypadku trzech nieidentycznych kropek dla pośredniego sprzężenia. Rysunek 5.9(c) zawiera widmo ekscytonu w sytuacji, w której głębokości potencjału są zmieniane zgodnie ze „stałym gradientem”. Porównanie rysunków 5.9(a) i 5.9(c) prowadzi do wniosku, że zmiany w głębokości potencjału uwięzienia wpływają na widmo znacznie mniej wyraźnie, gdy istnieje silne sprzężenie pomiędzy kropkami, niż miało to miejsce w przypadku pośredniego sprzężenia. Spowodowane to jest efektami sprzężenia elektronu, które są znacznie silniejsze w porównaniu do zmian potencjału. W tym sensie, różnice w uwięzieniu kropki są maskowane, przez silne sprzężenie tunelowe elektronu. Odpychania występujące dla małego pola elektrycznego, za których pojawienie się odpowiedzialne jest sprzężenie tunelowe dziury, są zaprezentowane ze szczegółami na rysunku 5.9(d). Dla nieidentycznych kropek, nie są już one symetryczne, lecz są przesunięte w stosunku do pola  $F = 0$ , ale pomimo to wyraźnie zachowują ich charakter (porównanie z przypadkiem identycznych kropek na rysunku 5.9(b)).

Tak jak w przypadku identycznych kropek, również i tu, w obydwu obszarach antykrossingu oznaczonych za pomocą prostokątów na rysunku 5.9(d), w środku odpychania, pojawia się pojedynczy poziom energetyczny, ze znacznie większym niż inne prawdopodobieństwem rekombinacji. Także pozycja energii jaśniejszego poziomu energetycznego, wewnątrz trzech oddziałujących poziomów energetycznych, jest zachowana. W niższym energetycznie odpychaniu poziomem tym jest najniższy poziom energetyczny. W drugim odpychaniu jaśniejszy jest drugi, z trzech oddziałujących poziomów energetycznych. Rekombinacja z dwóch pozostałych poziomów, nie jest już zabroniona przez symetrię związaną z regułami wyboru, lecz pozostaje mała. Te same zasady dotyczą kolejnego na skali energii odpychania, które nie zostało umieszczone na rysunku 5.9.

## 5.6 Cztery identyczne kropki – pośrednie sprzężenie

Widmo energetyczne ekscytonu dla czterech identycznych kropek, oddzielonych barierami o szerokości 4 nm jest przedstawione na rysunku 5.12. Dla pola  $F = 0$  stan podstawowy jest dwukrotnie zdegenerowany (tak jak w przypadku stosu dwóch kropek – rysunek 5.1, a w przeciwieństwie do stosu trzech kropek – rysunek 5.2). W  $F = 0$ ,

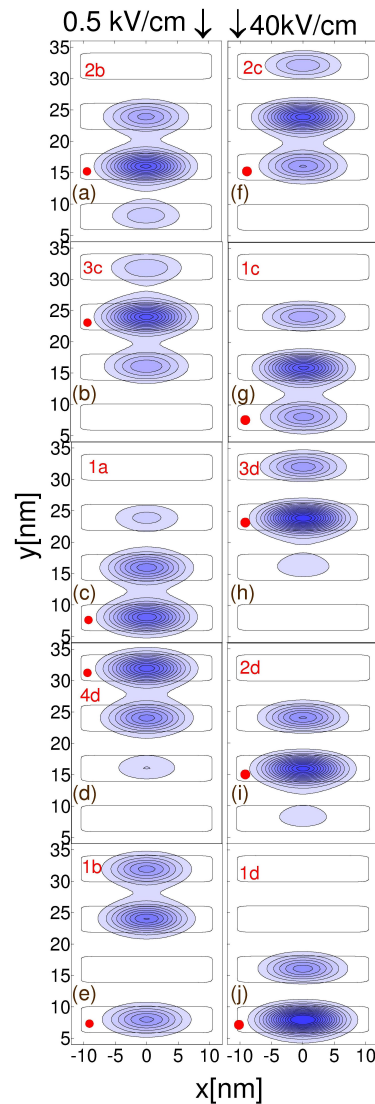


**Rysunek 5.12:** Widmo energetyczne ekscytynu dla czterech identycznych kropek, oddzielonych przez identyczne bariery o szerokości 4 nm.

w stanie podstawowym, otrzymane jest jako funkcja pola elektrycznego krzyżowanie się poziomów energetycznych  $2b$  i  $3c$ . Degeneracja ta, spowodowana jest nieobecnością tunelowania dziury oraz z tego powodu, że dla elektronu obie wewnętrzne kropki są równoważne.

Gęstości elektronowe w poziomach energetycznych  $2b$  i  $3c$  dla słabego pola elektrycznego  $F = 0.5$  kV/cm zamieszczone zostały na rysunku 5.13(a-b), na których kropka zajmowana przez dziurę, jest oznaczona za pomocą czerwonej kropki. W obydwu stanach  $2b$  i  $3c$ , bardziej prawdopodobne jest znalezienie elektronu w tej samej kropce, w której zlokalizowana jest dziura. Tunelowanie elektronu do sąsiednich kropek jest także obserwowane, ale z wyraźną preferencją wnikania do sąsiedniej kropki, która jest usytuowana w środku stosu, a nie na jego końcu.

Dla dodatniego pola elektrycznego, poziom  $2b$  idzie w dół z energią (rysunek 5.12), ponieważ moment dipolowy w tym stanie jest uzgodniony z polem elektrycznym (rysunek 5.13(a) – środki rozkładu elektronu i dziury są przemieszczone w odniesieniu do siebie nawzajem w kierunku siły pola elektrycznego). Przeciwnieństwem tej sytuacji jest wpływ pola elektrycznego na poziom  $3c$ , w którym moment dipolowy jest odwrócony. Ze względu na rozkład nośników przedstawiony na rysunku 5.13(a,b), zarówno jeden jak i drugi stan mają nieodłączny niezerowy moment dipolowy, w związku z którym maksimum ich po-



**Rysunek 5.13:** Gęstość elektronowa dla stosu czterech identycznych kropek (dla poziomów energetycznych przedstawionych na rysunku 5.12). Lewa kolumna rysunków (a-e) odpowiada polu elektrycznemu  $F = 0.5$  kV/cm a prawa kolumna (f-j) polu  $F = 40$  kV/cm. W każdym z tych przypadków dziura jest całkowicie zlokalizowana w specyficznej kropce, oznaczającej rodzinę (dodatkowo oznaczona przez czerwoną kropkę).

ziomów energetycznych, przesuwa się z dala od  $F = 0$ : w obszar ujemnych wartości  $F$  dla 2b i do obszaru dodatniego  $F$  dla 3c.

W  $F = 0$  pierwszy stan wzbudzony jest dwukrotnie zdegenerowany (poziomy energetyczne 1a i 4d – rysunek 5.12) i odpowiada dziurze całkowicie zlokalizowanej w skrajnych kropkach. Gęstości elektronowe w tych stanach są maksymalne w zewnętrznych kropkach,

ale rozciągają się do wnętrza stosu (rysunek 5.13(c,d)). Na rysunku 5.13(f-j) przedstawione są gęstości elektronowe dla wartości pola  $F = 40 \text{ kV/cm}$ , odpowiadające poziomom energetycznym  $3d$ ,  $2d$ ,  $1d$ , które pozostają jasne w  $F \gg 0$ , jak również poziomy  $1c$  i  $2c$ , które pojawiają się jako tymczasowo jasne w obszarze odpychania poziomów energetycznych  $1b - 1d$  oraz  $2b - 2d$ .

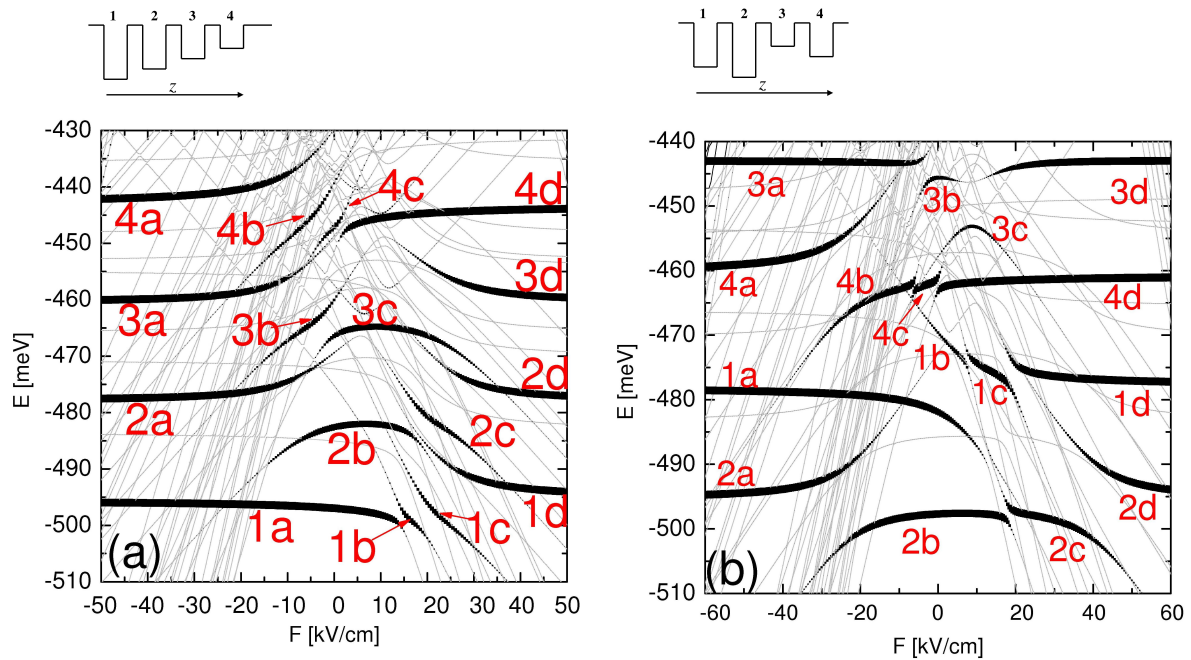
Porównując widmo ekscytonu dla czterech kropek zamieszczone na rysunku 5.12 z jego odpowiednikiem dla trzech kropek (rysunek 5.2), można zauważyć, że w rodzinie  $1x$  – związanej z kropką znajdującą się na końcu stosu – dodanie czwartej kropki powoduje pojawienie się drugiego poziomu –  $1c$  w dodatku do  $1b$ . Poziom ten zależy prawie liniowo od pola elektrycznego i staje się jasny, kiedy wchodzi do obszaru odpychania pomiędzy poziomami energetycznymi, które pozostają jasne w silnym ujemnym i dodatnim polu (w przypadku czterech kropek poziomy te są oznaczone  $1a$  i  $1d$ ).

Dla trzech kropek, poziom należący do rodziny  $2x - (2b)$ , związany z wewnętrzną kropką w stosie, był niezdegenerowany w polu  $F = 0$ . Poziom ten, wchodzi w pojedyncze odpychanie z poziomem  $2a$  (jasny poziom w  $F \ll 0$ ) oraz  $2c$  (jasny stan w  $F \gg 0$ ). Skutkiem tego energia poziomu  $2b$  była symetryczną funkcją pola elektrycznego  $F$ . Dla czterech kropek w rodzinie  $2x$ , ukazuje się poziom energetyczny, który jest przejściowo jasny w pewnym zakresie dodatniego pola elektrycznego i charakteryzuje się prawie liniową zależnością od  $F$ . Dla czterech kropek jest on oznaczony jako  $2c$ . Ze względu na jego oddziaływanie z poziomem  $2c$ , „paraboliczny” poziom energetyczny  $2b$  gubi swoją symetrię w odniesieniu do pola  $F = 0$  i staje się zdeformowaną parabolą w funkcji pola elektrycznego.

## 5.7 Stos czterech nieidentycznych kropek – pośrednie sprzężenie

Na rysunku 5.14(a) pokazano widmo ekscytonu dla stosu czterech kropek, z „gradientem” w głębokości potencjału uwięzienia – głębokości w kropkach od najniższej do najwyższej są zmienione dla obu nośników odpowiednio o 20, 10, 0 i  $-10 \text{ meV}$  [(schematyczny rysunek potencjału uwięzienia znajduje się powyżej rysunku 5.14(a)). Blisko  $F = 0$  stan podstawowy jest jasnym poziomem energetycznym, z nośnikami uwięzionymi w najgłębszej kropce (numer 1). Dysocjacja w stanie podstawowym, pojawia się z od-





**Rysunek 5.14:** Widmo dla stosu czterech kropek, z barierą o grubości 5.5 nm. W (a) „stały gradient” głębokości potencjału uwięzienia: (schemat nad rysunkiem) głębokość każdej kropki jest kolejno zmniejszana o 10 meV dla elektronu i dziury, wędrując w górę stosu. Na rysunku (b) jest przyjęte, że przesunięcia w głębokości kropek dla obydwu nośników są od dna do szczytu stosu : +10, +20, -10 i 0 meV.

pychaniem poziomów energetycznych  $1a - 1b$ , dla wartości pola elektrycznego bliskiej  $F = 15$  kV/cm. Dla wyższego pola, stan podstawowy jest ciemny i odpowiada elektronowi w kropce 4. Najniższym jasnym poziomem energetycznym pomiędzy 15 a 20 kV/cm jest poziom  $1b$ . Dla  $F > 20$  kV/cm, elektron w stanie  $1b$  staje się zlokalizowany w kropce 3 i poziom ten staje się ciemny. Nachylenie poziomu energetycznego  $1b$ , kiedy staje się on ciemny, jest zredukowane w porównaniu do ciemnego stanu podstawowego. Kolejny jasny poziom energetyczny  $1c$  staje się ciemny, kiedy elektron zlokalizowany jest w kropce 2, która sąsiaduje z kropką zajmowaną przez dziurę. Tym samym moment dipolowy (nachylenie poziomu energetycznego w funkcji pola elektrycznego  $F$ ) jest ciągle mniejszy. Z tego samego powodu, w stanie  $1c$  para elektron-dziura jest znacznie bardziej odporna na dysocjację, w porównaniu do stanu  $1b$  (zwiększył się przedział  $F$  w którym  $1c$  jest jasny).

W rodzinie  $1x$  wszystkie odpychające się jasne poziomy energetyczne pojawiają się dla dodatniego pola  $F$ , które dąży do usunięcia elektronu z najniższej kropki. Z drugiej strony, w rodzinie  $2x$ , elektron jest usunięty przez ujemne pole  $F$  do kropki 1, co skutkuje poja-

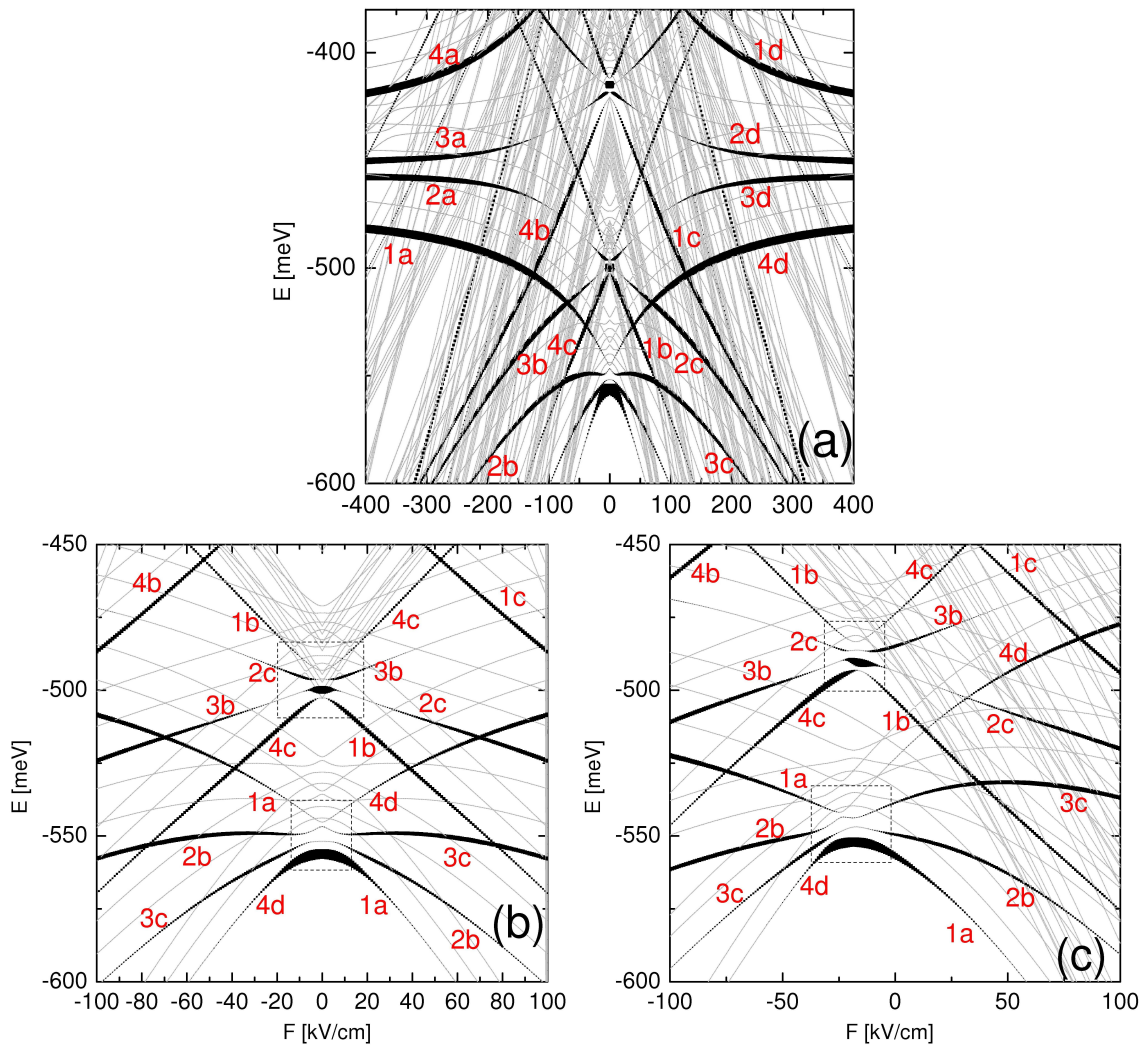
wieniem się szerokiego odpychania pomiędzy poziomami  $2a - 2b$  (podobnie jak to miało miejsce dla stosu złożonego z trzech kropek) blisko  $F = -10$  kV/cm. Dla dodatniego pola obserwowane są dwa antykrossingi poziomów energetycznych. Pierwsze pomiędzy  $2b$  i  $2c$  pojawia się, kiedy elektron jest usunięty do kropki 4 oraz drugie pomiędzy  $2c$  i  $2d$ , kiedy elektron jest usuwany do kropki 3. Nachylenie ciemnego poziomu energetycznego który pochodzi z odpychania  $2b-2c$ , jest równoległe do części ciemnego poziomu energetycznego  $1b$ . W obydwu przypadkach, elektron i dziura są oddzielone przez pustą kropkę. Podobnie, poziom energetyczny  $2c$  kiedy jest ciemny, jest równoległy do ciemnego poziomu  $1c$ , odkąd nośniki zajmują sąsiednie kropki. Wzór odpychania poziomów w rodzinie  $4x$ , jest wyraźnie odwróconym i przesuniętym wzorem rodziny  $1x$ . Inwersja jest spowodowana lokalizacją dziury w innej, skrajnej części stosu, natomiast przesunięcie związane jest z mniejszą głębokością kropki 4. Podobnie, rodzina  $3x$  jest przesunięta i odwrócona w porównaniu do rodziny  $2x$ .

Rysunek 5.14(b) przedstawia widmo dla różnych głębokości kropek. Kropka 2 jest najgłębsza, z głębokością zwiększoną o 20 meV dla obu nośników (schemat profilu potencjału umieszczony jest powyżej rysunku). Analogiczne zmiany dla kropek 1, 3 i 4 wynoszą odpowiednio 10,  $-10$ , oraz 0 meV. Wzory odpychań pozostają charakterystyczne dla pozycji kropki w stosie, w której dziura jest zlokalizowana (rysunek 5.14(a)). Bardziej zdecydowane deformacje pojawiają się tylko w rodzinie  $3x$ , związanej z kropką, która jest najpłytsza. Widoczna jest zmiana kształtu jasnego poziomu  $3b$ . Odpowiedniość (przesunięcie i inwersja) pomiędzy rodzinami  $1x - 4x$  i  $2x - 3x$ , dla przypadku stałego gradientu z rysunku 5.14(a), nie jest zachowana, ale rodziny poziomów energetycznych mogą być dalej rozpoznawane w widmie.

## 5.8 Cztery kropki – silne sprzężenie

Podobnie do przypadku trzech kropek, widmo energetyczne ekscytonu dla czterech kropek w sytuacji silnego sprzężenia (rysunek 5.15(a)), przypomina przypadek pośredniego sprzężenia (rysunek 5.12). Tak jak dla przypadku silnego sprzężenia trzech kropek, jakościowe różnice pojawiają się dla małego  $F$ , gdzie otrzymywane jest odpychanie pomiędzy stanami należącymi do różnych rodzin.

Obszar dwóch najniższych antykrossingów pokazany jest, z większymi szczegółami na



**Rysunek 5.15:** Widmo dla czterech kropek z barierą o szerokości 1 nm; (a,b) odpowiadają identycznym kropkom; (c) odpowiada zmianom w głębokości potencjału kropek 1–4 o odpowiednio +10, 0, –10 i –20 meV. (b) jest powiększeniem (a).

rysunku 5.15(b), z odpowiadającymi im gęstościami dziurowymi i elektronowymi przedstawionymi na rysunkach 5.17 oraz 5.16).

W stanie podstawowym, mamy odpychanie poziomów energetycznych 1a, 2a, 3c i 4d. W środku odpychania (tutaj  $F = 0$ ) stan podstawowy staje się wyraźnie jaśniejszy, niż w trzech pozostałych poziomach. Gęstości elektronowe i dziurowe w tych stanach wyglądają podobnie (rysunek 5.16(h)), z wyjątkiem słabego tunelowania dziury. Właściwie w  $F = 0$  gęstości elektronowe są prawie identyczne dla wszystkich czterech poziomów energetycznych (rysunek 5.16(e-h)). We wszystkich tych stanach, elektron jest w parzystym

stanie jednocząstkowym. W pierwszym stanie wzbudzonym, stan dziury jest nieparzysty, więc rekombinacja jest zabroniona (rysunek 5.16(g) oraz równanie (5.1)). Z tego samego powodu jest ona zabroniona dla trzeciego stanu wzbudzonego (rysunek 5.16(e)). Rekombinacja jest dozwolona dla drugiego stanu wzbudzonego (rysunek 5.16(f)), w którym dziura jest w parzystym stanie. Prawdopodobieństwo rekombinacji jest niezerowe dla tego stanu, ale pozostaje małe (12 razy mniejsze niż w stanie podstawowym), ponieważ dziura zajmuje tylko kropki najwyższą i najniższą w stosie, podczas gdy elektron zajmuje głównie wewnętrzne kropki.

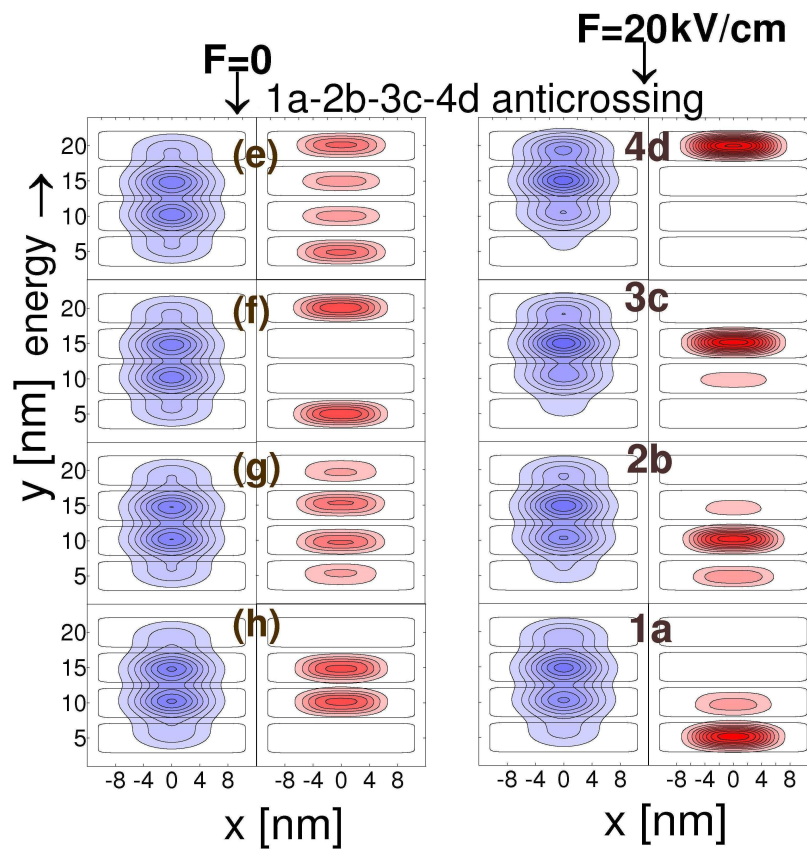
Pole elektryczne  $F = 20 \text{ kV/cm}$  jest prawie wystarczająco silne, by przerwać sprzężenie tunelowe dziury i spowodować jej lokalizację w pojedynczej kropce.

W drugim odpychaniu, pojawiającym się w wyższej energii i obejmującym poziomy energetyczne 1b, 2c, 3b oraz 4c, elektron w  $F = 0$  zajmuje nieparzysty stan z maksymalnym prawdopodobieństwem na końcach stosu (rysunek 5.17(a-d)). Parzystość dziury w dalszych poziomach energetycznych, zmienia się tak jak w niższym odpychaniu: jest parzysta w najniższym stanie energetycznym, nieparzysta w drugim stanie energetycznym, itd. Rekombinacja nie jest zabroniona przez symetrię z drugiego (rysunek 5.17(c)) i czwartego (rysunek 5.17(a)) stanu energetycznego. Drugi poziom energetyczny jest jaśniejszy i gęstość dziurowa jest maksymalna w zewnętrznych kropkach, tak jak gęstość elektronowa. W tym stanie, zarówno elektron jak i dziura są w ich pierwszych jednocząstkowych wzbudzonych stanach. Z reguły największe prawdopodobieństwo rekombinacji jest otrzymywane dla przypadku, w którym wzbudzenie elektronu i dziury są takie same.

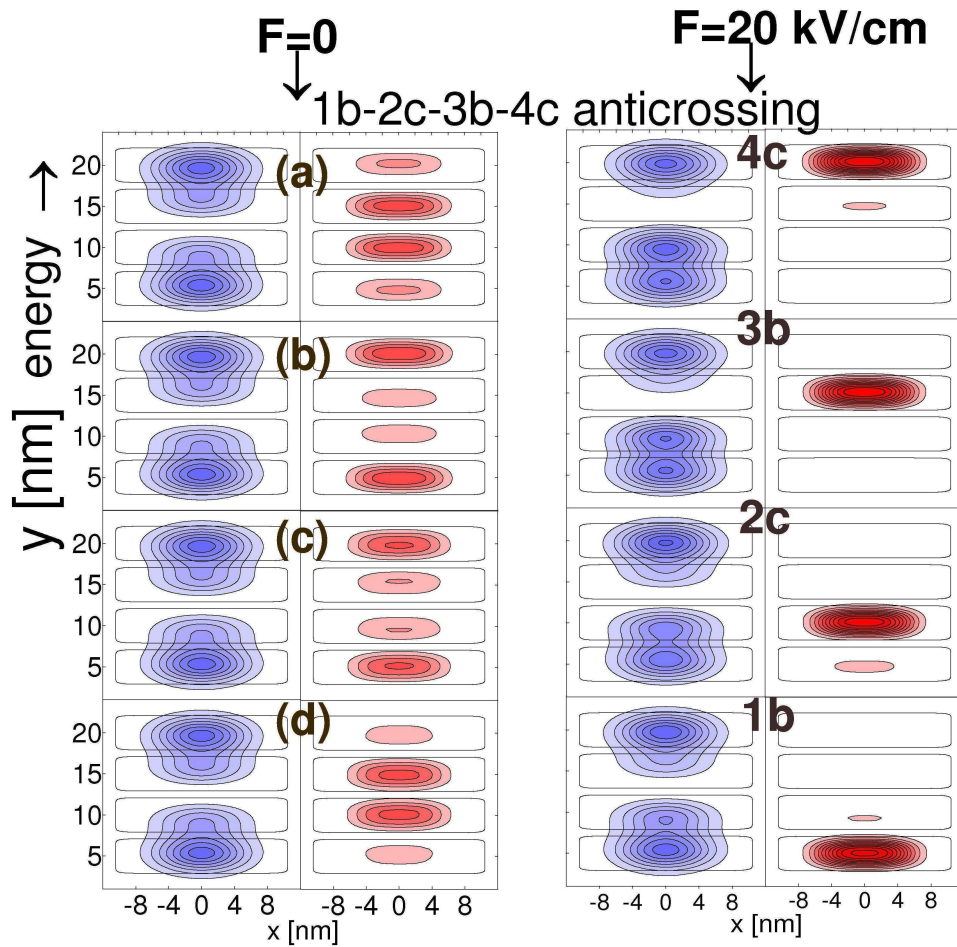
Na dodatkowej ilustracji, na rysunku 5.15(a), w trzecim odpychaniu poziomów energetycznych (związanych z trzecim pojedynczym stanem elektronu), najjaśniejszy jest trzeci stan energetyczny w  $F = 0$ .

Widmo ekscytynu dla małego pola, dla układu nieidentycznych kropek, jest przedstawione na rysunku 5.15(c). Najniższa kropka jest powiększona o 20 meV, druga o 10 meV a najwyższa jest pomniejszona o 10 meV (przypadek nazywany „stały gradient”). Odpychania związane z mieszaniem rodzin, są przesunięte w stosunku do  $F = 0$  i zdeformowane, to znaczy nie są symetryczne w stosunku do środka odpychania. Dla przykładu, w najniższym energetycznie jasnym stanie, lewe ramię dąży do poziomu energetycznego 4d, kiedy tunelowanie dziury jest usunięte, a prawe ramię dąży do 1a. Dla identycznych

kropek  $4d$  i  $1a$  są równoważnymi odpowiednikami – energia  $4d$  w polu elektrycznym  $F$  jest równa energii  $1a$  w polu elektrycznym  $-F$ . Omawiany jest przypadek dla nieidentycznych kropek, stąd asymetria w odpychaniu. Asymetria jest także obserwowana w prawdopodobieństwie rekombinacji. W szczególności, prawdopodobieństwo rekombinacji poziomu energetycznego  $1a$  zanika z polem w wolniejszy sposób, niż w poziomie energetycznym  $4d$ , który jest bezpośrednią konsekwencją różnic w głębokościach kropek 1 i 4. W przypadku asymetrii w odpychaniach, generalne cechy są podobne do tych, obserwowanych dla



**Rysunek 5.16:** Gęstości elektronowe i dziurowe odpowiadające poziomom energetycznym przypadającym na odpychanie pomiędzy poziomami, oznaczone przez niższy prostokąt na rysunku 5.15(b). Wyższe energetycznie stany odpowiadają wyższym rysunkom. Pierwsza (druga) kolumna przedstawia gęstość elektronową (dziurową) w  $F = 0$ , a trzecia (czwarta) gęstość elektronową (dziurową) w  $F = 20$  kV/cm. Identyfikacja stanów kiedy ich poziomy energetyczne opuszczają obszar odpychania, może być wywnioskowana na podstawie rysunków dla  $F = 20$  kV/cm. Dlatego odpowiadające gęstości są oznaczone przez notacje „rodzin”.



**Rysunek 5.17:** Gęstości elektronowe i dziurowe odpowiadające poziomom energetycznym przypadającym na odpychanie pomiędzy poziomami, oznaczone przez wyższy prostokąt na rysunku 5.15(b). Wyższe energetycznie stany odpowiadają wyższym rysunkom. Pierwsza (druga) kolumna przedstawia gęstość elektronową (dziurową) w  $F = 0$  a trzecia (czwarta) gęstość elektronową (dziurową) w  $F = 20$  kV/cm. Identyfikacja stanów kiedy ich poziomy energetyczne opuszczają obszar odpychania, może być wywnioskowana na podstawie rysunków dla  $F = 20$  kV/cm. Dlatego odpowiadające gęstości są oznaczone przez notacje „rodzin”.

stosu identycznych kropek. Znacznie jaśniejszy niż inne, pojedynczy poziom energetyczny, pojawia się w środku antykrossingu.

# Proste modelowanie oddziaływania między poziomami z różnych rodzin

Uzyskany wgląd w mechanizm oddziaływań pomiędzy poziomami energetycznymi należącymi do różnych rodzin, pozwala na wprowadzenie prostego modelu, który może być użyteczny np. w interpretacji wyników eksperymentalnych. Podczas transferu dziury, gęstość elektronu zmienia się tylko nieznacznie (rysunek 5.16 oraz 5.17). W związku z tym, uwaga skoncentrowana została na jedno-dziurowych poziomach energetycznych. Zakładamy, że z każdą kropką skojarzona jest pojedyncza zlokalizowana funkcja falowa ( $\psi_i$ ).

Wielokrotne odpychania pomiędzy różnymi rodzinami, mogą być modelowane przy użyciu superpozycji.

$$\psi_\mu = \sum_{i=1}^4 d_i^\mu \psi_i. \quad (6.1)$$

Dla braku sprzężenia tunelowego, funkcje falowe są ortogonalne z powodu braku przekrywania. W obecności sprzężenia, można zbudować ortogonalne funkcje falowe, każda związana z pojedynczą kropką i słabym wnikiem do najbliższych sąsiednich kropek z odwróconym znakiem, który zachowuje ich wzajemną ortogonalność. Dla ortogonalnych funkcji falowych, wartości  $d_i^\mu$  są znajdowane przez diagonalizację jedno-dziurowego Hamiltonianu  $H_h$  w bazie (6.1). Elementem macierzowym jedno-dziurowego Hamiltonianu jest  $H_{ij} = \langle \psi_i | H_h | \psi_j \rangle$ , z

$$H = \begin{pmatrix} \epsilon - \frac{3}{2}Fed & c & 0 & 0 \\ c & \epsilon - \delta - \frac{1}{2}Fed & c & 0 \\ 0 & c & \epsilon - \delta + \frac{1}{2}Fed & c \\ 0 & 0 & c & \epsilon + \frac{3}{2}Fed \end{pmatrix}. \quad (6.2)$$

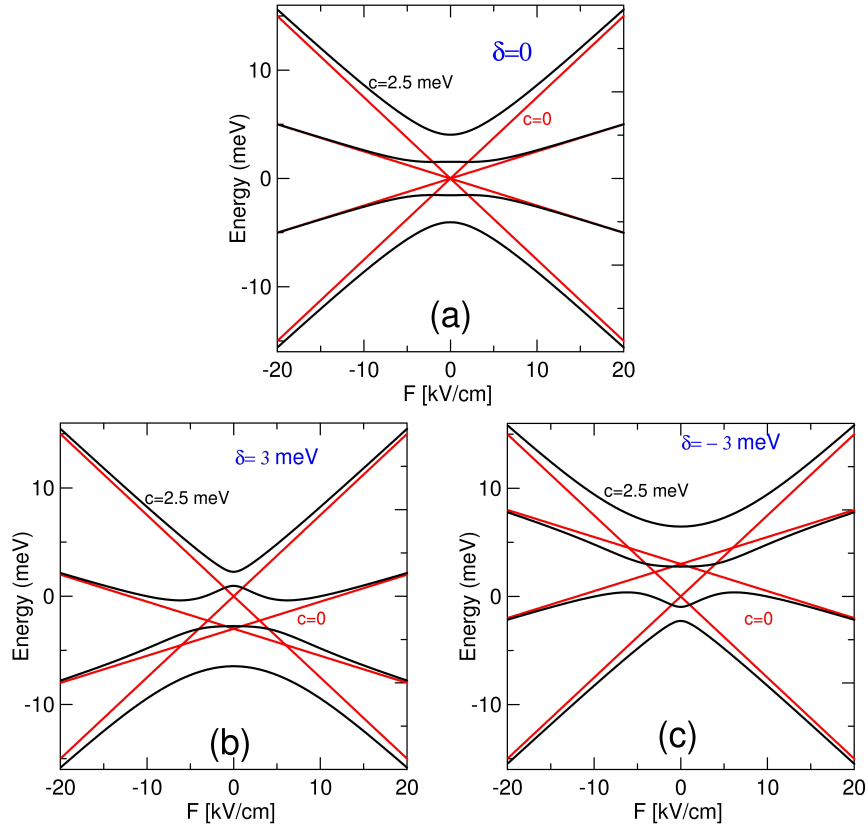
Elementy diagonalne są równe sumie energii uwięzienia w pojedynczej kropce  $\epsilon$  (dalej energetyczny poziom odniesienia brany jest jako  $\epsilon = 0$ ), przesunięcia energii z powodu pola elektrycznego i dodatkowej energii przesunięcia  $\delta$  wprowadzonej do obliczeń, dla oddziaływania z elektronem.

W najniższym energetycznie odpychaniu, elektron jest zlokalizowany raczej w dwóch centralnych kropkach 2 i 3 ( $\delta > 0$  – środkowe kropki będą efektywnie głębsze), w drugim odpychaniu zostaje raczej w kropkach 1 i 4 ( $\delta < 0$  – centralne kropki będą efektywnie płytsze). W równaniu (6.2) tunelowanie dziury pomiędzy najbliższymi kropkami, jest opisane przez czynnik sprzężenia tunelowego  $c = \langle \psi_i | H_h | \psi_{i+1} \rangle$  związany głównie operatorem energii kinetycznej. Zakładamy  $d = 5$  nm (grubość bariery pomiędzy kropkami wynosi  $t = 1$  nm) zgodnie z rozdziałem opisującym stos czterech kropek dla silnego sprzężenia.

Wartości własne Hamiltonianu (6.2), są przedstawione w funkcji pola elektrycznego na rysunku 6.1(a), 6.1(b) oraz 6.1(c) dla odpowiednio  $\delta = 0$ ,  $\delta = 3$  meV i  $\delta = -3$  meV. W każdym z tych rysunków, rozważany jest przypadek nieistotnego tunelowania dziury ( $c = 0$ ) oraz  $c = 2.5$  meV. Dla pary kropek rozszczepienie pomiędzy poziomami energetycznymi jest dane przez  $2c = 5$  meV, to znaczy przez wartość odpowiadającą rozszczepieniu poziomów dziury z barierą o grubości 1 nm. Dla  $c = 0$  poziomy energetyczne są po prostu równe diagonalnym elementom macierzy 6.2 i krzyżują się. Widać więc wyraźnie, że odpychania są spowodowane tunelowaniem dziury pomiędzy najbliższymi kropkami. Poniżej przedstawiona będzie dyskusja tylko dla wyników otrzymanych z  $c = 2.5$  meV.

Dla  $\delta = 0$  odległości pomiędzy poziomami energetycznymi w środku odpychania ( $F = 0$ ) są równe. To nie jest żaden z przypadków dwóch antykrossingów przedstawionych na rysunku 5.15(b).





**Rysunek 6.1:** Energie własne Hamiltonianu (6.2), modelujące wielokrotne odpychanie pomiędzy poziomami energetycznymi, należącymi do różnych rodzin. Czarne linie odpowiadają czynnikowi sprzężenia tunelowego  $c = 2.5$  meV, a czerwone linie zaniedbywalnemu tunelowaniu dziury z  $c = 0$ . W (a) wszystkie kropki są równoważne ( $\delta = 0$ ), w (b) dwie środkowe kropki są efektywnie głębsze, ze względu na oddziaływanie z elektronem ( $\delta = 3$  meV), w (c) zewnętrzne kropki są efektywnie głębsze ( $\delta = -3$  meV). Rysunek (b) dobrze oddaje charakter najniższego odpychania z rysunku 5.15(b) a (c) drugiego odpychania z rysunku 5.15(b).

W niższym energetycznie antykrośnięciu na rysunku 5.15(b), trzeci i czwarty poziom energetyczny wyraźnie zbliżają się do siebie blisko  $F = 0$ . W drugim odpychaniu, pierwszy i drugi poziom energetyczny stają się bliższe w podobny sposób. W najniższym odpychaniu z rysunku 5.15(b), elektron pozostaje raczej w dwóch centralnych kropkach (rysunek 5.16(e-h)), co sprawia, że są one efektywnie głębsze dla dziury. Następnie  $\delta = 3$  meV i dla tej wartości otrzymuje się cechy niższego odpychania z rysunku 5.15(b). Przeciwna wartość  $\delta$ , odpowiada elektronowi zlokalizowanemu w kropkach 1 i 4 (rysunek 5.17(a-d)), powodując odpychanie z dwoma najniższymi poziomami energetycznymi, zbliżającymi się do siebie blisko  $F = 0$ , tak jak w drugim wielokrotnym odpychaniu z rysunku 5.15(b).

## Ewolucja widma z liczbą kropek

Uzyskane wyniki dla pośredniego sprzężenia  $N$  identycznych kropek pokazują, że widmo energetyczne ekscytonu, może być podzielone na  $N$  rodzin, z których każda związana jest z lokalizacją dziury w jednej z kropek w stosie. Poziomy energetyczne należące do różnych rodzin krzyżują się, podczas gdy odpychania są obserwowane pomiędzy jasnymi poziomami, należącymi do tej samej rodziny, jako funkcja zewnętrznego pola elektrycznego, które przenosi elektron w stosie  $N$  kropek. Każda rodzina zawiera  $N$  poziomów energetycznych, które pojawiają się jako jasne, dla pewnego zakresu pola elektrycznego. W każdej rodzinie znajduje się pojedynczy poziom energetyczny, który pozostaje jasny, nawet w silnym ujemnym polu elektrycznym  $F \ll 0$  i kolejny, który pozostaje jasny dla  $F \gg 0$ . Poniżej te poziomy energetyczne określane będą mianem „ostatecznie” jasne. Te dwa poziomy energetyczne ulegają odpychaniu w rejonie słabych pól. W dalszej części tego rozdziału, odpychanie tych poziomów energetycznych nazywane będzie głównym antykrossingiem.

Dla przypadku ekscytonu w dwóch kropkach [5, 9, 15, 16, 20, 21, 23, 27], nie ma żadnych innych jasnych poziomów energetycznych poza ostatecznymi. Jednakże, dla  $N \geq 3$ , pozostałe  $N - 2$  poziomy z rodziny stają się jasne w skończonym zakresie pola elektrycznego, zawartym w zakresie głównego antykrossingu. Poziomy optycznie aktywne, które nie są ostatecznie aktywne, nazywać będziemy przejściowymi. W obszarze silniejszego pola, przejściowo jasne poziomy energetyczne zależą od zewnętrznego pola elektrycznego znacznie silniej, niż ostatecznie jasne poziomy. W granicy silnego pola, kiedy elektron i dziura są zlokalizowane w tej samej kropce, zależność od pola  $F$  poziomów ostatecznych jest tylko wynikiem deformacji funkcji falowych w ramach jednej kropki [3]. Z drugiej strony,

---

momenty dipolowe przejściowo jasnych poziomów energetycznych – gdy te pojawiają się jako jasne w widmie – są znacznie większe.

Dla rodzin poziomów energetycznych związanych z kropkami znajdującymi się na skrajnych końcach stosu, wszystkie  $N - 2$  tymczasowo jasne poziomy, zależą od pola elektrycznego prawie liniowo. Ich nachylenie w funkcji pola jest związane z momentem dipolowym pary elektron-dziura, kiedy nośniki stają się rozdzielone (to jest najwyraźniej widoczne na rysunku 5.14(a)).

Dla rodzin związanych z kropką usytuowaną w środku stosu, jeden z przejściowo jasnych poziomów silnie odchyła się od liniowej zależności w funkcji  $F$ . Zależność tego poziomu od pola przypomina parabolę (zdeformowaną dla nieparzystego  $N$ ), z ramionami skierowanymi w dół, z obydwu stron ich maksimum umieszczonego blisko  $F = 0$ . Pozycja kropki wewnątrz stosu, z którą związany jest „paraboliczny” poziom, może być wywnioskowana przez zliczenie liczby przejściowo jasnych poziomów energetycznych, które są prawie liniowe w  $F$  i pojawiają się między tym „parabolicznym” poziomem energetycznym, a ostatecznie jasnym poziomem dla  $F \ll 0$  i  $F \gg 0$ . Mianowicie, liczba jasnych poziomów energetycznych pojawiających się w dodatniej stronie pola elektrycznego, gdzie usytuowane jest maksimum „parabolicznego” jasnego poziomu energetycznego, jest równa liczbie kropek znajdujących się pomiędzy kropką zawierającą dziurę (definiującą rodzinę), a zewnętrzną kropką na górze stosu i odwrotnie dla  $F < 0$ .

W ten sposób, dodanie  $N$ -tej kropki do stosu zawierającego  $N - 1$  kropek, powoduje pojawienie się nowego pojedynczego, przejściowo jasnego poziomu, w każdej uprzednio już istniejącej rodzinie. Ten nowy poziom ma prawie liniową zależność w polu elektrycznym.

Wraz z dodaniem kropki wyraźnie powstaje nowa rodzina. Kiedy kropka jest dodana do stosu, liczba wewnętrznych kropek zwiększa się o jedną i nowy pojedynczy „paraboliczny” (a nie liniowy) poziom energetyczny, który jest przejściowo jasny, pojawia się w widmie całego stosu. Dla przykładu, kiedy do stosu dwóch kropek dodana jest trzecia kropka, pojawia się pierwszy „paraboliczny” poziom – oznaczony na rysunku 5.2 przez  $2b$ . Dla  $N = 4$  mamy już dwa takie paraboliczne poziomy:  $2b$  i  $3c$  – rysunek 5.12 – które przecinają się w  $F = 0$ .

Dla pośredniego sprzężenia, poziomy energetyczne dla samej dziury są  $N$ -krotnie zdegenerowane. Ta degeneracja jest zniesiona przez oddziaływanie z elektronem, który

---

dąży do lokalizacji w środku stosu, gdzie dla nieparzystego  $N$  znajduje się pojedyncza kropka, a dla parzystego  $N$  para kropek. Wniosek ten dostarcza ogólnej zasady, która mówi, że w  $F = 0$  dla  $N$  identycznych kropek w pośrednim sprzężeniu, stan podstawowy jest niezdegenerowany dla nieparzystego  $N$  i dwukrotnie zdegenerowany dla parzystego  $N$ .

Dla silniejszego sprzężenia kropek, staje się aktywne sprzężenie tunelowe dziury. Zgodnie z uzyskanymi wynikami, nawet w ekstremalnym przypadku  $t = 1$  nm – cienka bariera sprzężenia jest usunięta przez względnie słabe pole elektryczne, równe około 20 kV/cm. Kiedy sprzężenie dziury jest usunięte przez pole elektryczne, dyskusja widma w terminologii rodzin poziomów energetycznych, związanych z dziurą zlokalizowaną w jednej z kropek, znów staje się ważna.

Mieszanie stanów dziury jest obserwowane dla małych wartości pola, jako odpychanie w którym uczestniczy  $N$  jasnych poziomów energetycznych, gdzie każdy z nich należy do innej rodziny. Uczestniczące w odpychaniu poziomy energetyczne są związane z tym samym jednocząstkowym stanem elektronu. Z powodu silnego sprzężenia tunelowego elektronu, w obszarze każdego z tych antykrossingów, lokalizacja elektronu jest tylko słabo zakłócana przez pole elektryczne i spowodowana dziurą, która jest przenoszona pomiędzy kropkami przez pole elektryczne. To jest odwrotny mechanizm do tego, który obserwuje się w odpychaniach poziomów energetycznych w sytuacji pośredniego sprzężenia, gdzie lokalizacja dziury jest ustalona i tylko zmienia się lokalizacja elektronu w stosie przez pole elektryczne.

Antykrossing poziomów energetycznych związany z tunelowaniem dziury i mieszaniami poziomów pomiędzy rodzinami ma dwie charakterystyczne cechy.

1) W środku każdego odpychania, pojedynczy poziom energetyczny staje się znacznie jaśniejszy, kosztem prawdopodobieństwa rekombinacji innych uczestniczących w nim poziomów. Wyraźnie większe prawdopodobieństwo rekombinacji jest otrzymywane dla stanu dziury, który jest zgodny ze stanem elektronu, to znaczy odpowiada temu samemu wzbudzeniu w kierunku równoległym do osi stosu. Z reguły w  $m$ -tym odpychaniu w skali energii (to znaczy związanym z  $m$ -tym wzbudzeniem elektronu), poziom energetyczny, który staje się jaśniejszy w środku antykrossingu, jest  $m$ -tym poziomem pod względem kolejności energetycznej.

2) Układ jasnych poziomów energetycznych pojawiających się ponownie na zewnątrz ob-

---

szaru odpychania, zależy tylko od konkretnej pozycji w stosie kropki, w której zlokalizowana jest dziura. Po dodatniej stronie  $F$ , niższa energia odpowiada dziurze zlokalizowanej w niższych kropkach ( $F > 0$  pcha dziurę w dół – rysunek 3.1(a)). Odpychania, które są spowodowane tunelowaniem dziury – ze spektakularnymi zmianami w prawdopodobieństwie rekombinacji – są tylko zdeformowane przez zmiany potencjału uwięzienia. Porządek dalszych odpychań na skali energii pozostaje niezmienny, gdy modyfikowany jest potencjał uwięzienia w pojedynczych kropkach.

W przypadku pośredniego sprzężenia zmiany w głębokościach kropki w stosie, prowadzą do przesunięć w skali energii rodzin poziomów energetycznych. Niemniej jednak, wzór antykrossingów pozostaje charakterystyczny do pozycji kropki zawierającej dziurę w stosie. W warunkach silnego sprzężenia zmiany potencjału głębokości w stosie rzędu 10 meV, są znacznie mniejsze niż rozszczepienie poziomów energetycznych elektronu. Z tego powodu różnice w głębokości uwięzienia mogą nie być zauważone przez elektron. Widmo silnie sprzężonych kropek jest więc mniej podatne na zmiany uwięzienia wzdłuż stosu (rysunek 5.9 dla silnie sprzężonych trzech identycznych kropek (a) lub nieidentycznych kropek (c)).

---

## Podsumowanie i wnioski

---

W pracy rozważane było widmo ekscytonu dla stosu trzech i czterech, pionowo sprzężonych samozorganizowanych kropek kwantowych, w obecności zewnętrznego pola elektrycznego. Obliczenia przeprowadzane były przy użyciu metody oddziaływania konfiguracji. Rozważany był przypadek zarówno pośredniego jak i silnego sprzężenia pomiędzy kropkami, jak również omówione zostały zachodzące zmiany w widmie, kiedy do stosu dodawana jest kolejna kropka.

W sytuacji pośredniego sprzężenia, jasne poziomy energetyczne mogą być pogrupowane w rodziny, każda związana z konkretną kropką w stosie, w której zlokalizowana jest dziura. Transfer elektronu pomiędzy kropkami, wywołany przez pole elektryczne jest związany z pojawieniem się wzoru odpychań poziomów energetycznych, który jest charakterystyczny dla każdej z rodzin poziomów energetycznych. Wzór ten jest związany głównie z pozycją kropki w stosie, która prowadzi do określonej liczby antykrossingów obserwowanych w przeciwnych orientacjach pola elektrycznego. Wzór antykrossingów jest związany z transferem elektronu pomiędzy kropkami, który pozostaje jakościowo podobny kiedy głębokości kropek są zmieniane. Zmiany w głębokości wpływają na względne przesunięcia rodzin poziomów energetycznych. Dlatego, eksperymenty fotoluminescencyjne powinny pomóc w wyznaczeniu modulacji efektywnego potencjału uwięzienia wzdłuż stosu. W szczególności, obserwacje eksperymentalne wzorów odpychań dla najniższych jasnych poziomów energetycznych, powinny wskazać która z kropek w stosie jest najgłębsza. Omówiony został przypadek odpychania pomiędzy poziomami należącymi do różnych rodzin, pojawiający się dla silnego sprzężenia kropek. Te antykrossingi pojawiają się w małym polu elektrycznym  $F$  i obejmują  $N$  jasnych poziomów energetycznych, gdzie  $N$  jest liczbą

---

kropek wchodzących w skład stosu. W każdym z obszarów odpychania, jeden z poziomów energetycznych jest znacznie jaśniejszy kosztem pozostałych  $N - 1$  poziomów. W tym najjaśniejszym stanie, dziura zajmuje jednocząstkowy orbital, który jest zgodny z orbitalem elektronu, to znaczy odpowiada temu samemu jednocząstkowemu stanowi. Mieszanie pomiędzy rodzinami pojawia się tylko dla stosunkowo słabego pola elektrycznego. Dla silniejszego pola, dziura jest zlokalizowana w pojedynczej kropce i wzór odpychań staje się jakościowo podobny do przypadku pośredniego sprzężenia.

---

# Bibliografia

---

- [1] A small electric field of 1kV/cm was assumed in to lift the parity symmetry of the states. In a system of symmetric dots, due to the parity symmetry, at  $F = 0$  the hole resides equally in all the dots in spite of the absence of interdot hole tunnelling. [5.3](#)
- [2] B. Lita B, R. S. Goldman, J.D. Phillips, and P.K. Bhattacharya. *Appl. Phys. Lett.* **74**, 2824, 1999. [1](#)
- [3] J.A. Barker and E. P. O'Reilly. *Phys. Rev. B* **61**, 13 840, 2000. [7](#)
- [4] E. Biolatti, R. C. Iorri, P. Zanardi, and F. Rossi. *Phys. Rev. Lett.* **85**, 5647, 2000. [1](#)
- [5] A. S. Bracker, M. Scheibner, M. F. Doty, E. A. Stinaff, I.V. Pomonarev, J. C. Kim, L. J. Whitman, T. L. Reinecke, and D. Gammon. *Appl. Phys. Lett.* **89**, 233110, 2006. [1](#), [2](#), [7](#)
- [6] W. Chu and J. L. Zhu. *Appl. Phys. Lett.* **89**, 053122, 2006. [2](#)
- [7] M. H. Degani, G. A. Farias, and P. F. Farinas. *Appl. Phys. Lett.* **89**, 152109, 2006. [2](#)
- [8] M. H. Degani and M. Z. Maialle. *Phys. Rev. B* **75**, 115322, 2007. [2](#)
- [9] M. F. Doty, M. Scheibner, I. V. Ponomarev, E. A. Stinaff, A. S. Bracker, V. L. Korenev, T. L. Reinecke, and D. Gammon. *Phys. Rev. Lett.* **97**, 197202, 2006. [1](#), [2](#), [7](#)



- 
- [10] S. Fafard, M. Spanner, J.P. McCaffrey, and Z.R. Wasilewski. *Appl. Phys. Lett.* **76**, 2268, 2000. [1](#)
- [11] L. Gaudreau, S. A. Studenikin, A. S. Sachrajda, P. Zawadzki, J. Lapointe A. Kam, M. Korkusinski, and P. Hawrylak. *Phys. Rev. Lett.* **97**, 036807, 2006. [1](#)
- [12] J. L. Gray, R. Hull, and J. A. Fioro. *J. Appl. Phys.* **100**, 084312, 2006. [1](#)
- [13] M. W. Keller, J. M. Martinis, N. M. Zimmerman, and A. H. Steinbach. *Appl. Phys. Lett.* **69**, 1804, 1996. [1](#)
- [14] M. Klein, S. Rogge, F. Remale, and R. D. Levine. *Nano Lett.* **7**, 2795, 2007. [1](#)
- [15] H. J. Krenner, E. C. Clark, T. Nakaoka, M. Bichler, C. Scheurer, G. Absteiter, and J. J. Finley. *Phys. Rev. Lett.* **97**, 076403, 2006. [1](#), [2](#), [3.1](#), [3.1](#), [7](#)
- [16] H. J. Krenner, M. Sabahtil, E. C. Clark, A. Kress, D. Schuh, M. Bichler, G. Absteiter, and J. J. Finley. *Phys. Rev. Lett.* **94**, 057402, 2005. [1](#), [2](#), [3.1](#), [7](#)
- [17] N. N. Ledentsov, V. A. Shchukin, M. Grundmann, N. Kirstaedter, J. Bohrer, O. Schmidt, D. Bimberg, V. M. Ustinov, A. Yu. Egorov, A. E. Zhukov, P. S. Kop'ev, S. V. Zaitsev, N. Yu. Gordeev, Zh. I. Alferov, A. I. Borovkov, A. O. Kosogov, S. S. Ruvimov, P. Werner, U. Gosele, and J. Heydenreich. *Phys. Rev. B* **54**, 8743, 1996. [1](#), [2](#), [5.1](#), [5.5](#)
- [18] J. H. Lee, Zh. M. Wang, N. W. Strom, Yu. I. Mazur, and G. J. Salamo. *Appl. Phys. Lett.* **89**, 202101, 2006. [1](#)
- [19] D. Loss and D. P. DiVincenzo. *Phys. Rev. A* **57**, 120, 1998. [1](#)
- [20] T. Nakaoka, E.C. Clark, H.J. Krenner, M. Sabathil, M. Bichler, Y. Arakawa, G. Absteiter, and J.J. Finley. *Phys. Rev. B* **74**, R121305, 2006. [1](#), [2](#), [7](#)
- [21] G. Ortner, M. Bayer, Y. Lyanda-Geller, T. L. Reinecke, A. Kress, J. P. Reithmaier, and A. Forchel. *Phys. Rev. Lett.* **94**, 157401, 2005. [1](#), [2](#), [7](#)
- [22] D. S. Saraga and D. Loss. *Phys. Rev. Lett.* **90**, 166803, 2003. [1](#)

- 
- [23] M. Scheibner, M. F. Doty, I. V. Ponomarev, A. S. Bracker, E. A. Stinaff, V. L. Korenev, T. L. Reinecke, and D. Gammon. *Phys. Rev. B* **75**, 245318, 2007. [1](#), [2](#), [3.1](#), [7](#)
- [24] M. Schmidbauer, S. Seydmohamadi, D. Grigoriev, Z. M. Wang, Yu. I. Mazur, P. Schaffer, M. Hanke, R. Kohler, and G. J. Salamo. *Phys. Rev. Lett.* **96**, 066108, 2006. [1](#)
- [25] O. G. Schmidt, O. Kienzle, Y. Hao, K. Eberl, and F. Ersnt. *Appl. Phys. Lett.* **74**, 1272, 1999. [1](#)
- [26] G. S. Solomon, J. A. Trezza, A. F. Marshall, and Jr. J. S. Harris. *Phys. Rev. Lett.* **76**, 952, 1996. [1](#), [2](#)
- [27] E. A. Stinaff, M. Scheibner, A. S. Bracker, I. V. Pomonarev, V. L. Korenev, M. E. Ware, M. F. Doty, T. L. Reinecke, and D. Gammon. *Science* **311**, 636, 2005. [1](#), [2](#), [3.1](#), [7](#)
- [28] B. Szafran, S. Bednarek, and J. Adamowski. *Phys. Rev. B* **64**, 125301, 2001. [5.5](#)
- [29] B. Szafran, T. Chwiej, F. M. Peeters, S. Bednarek, J. Adamowski, and B. Partoens. *Phys. Rev. B* **71**, 205316, 2005. [2](#), [3.1](#), [5.4](#)
- [30] B. Szafran, F. M. Peeters, and S. Bednarek. *Phys. Rev. B* **75**, 115303, 2007. [2](#), [3.1](#), [3.1](#), [3.2](#)
- [31] F. Troiani, U. Hohenester, and E. Molinari. *Phys. Rev. B* **62**,R2263, 2000. [1](#)

**Publikacja powstała na podstawie  
pracy dyplomowej**

---

# Exciton spectra in vertical stacks of triple and quadruple quantum dots in an electric field

B. Szafran,<sup>1</sup> E. Barczyk,<sup>1</sup> F. M. Peeters,<sup>2</sup> and S. Bednarek<sup>1</sup>

<sup>1</sup>*Faculty of Physics and Applied Computer Science, AGH University of Science and Technology,  
al. Mickiewicza 30, 30-059 Kraków, Poland*

<sup>2</sup>*Departement Fysica, Universiteit Antwerpen, Groenenborgerlaan 171, B-2020 Antwerpen, Belgium*

(Received 10 September 2007; revised manuscript received 20 December 2007; published 24 March 2008)

We study an electron-hole pair in a stack of multiple quantum dots in the presence of an external electric field using the configuration-interaction approach. We find that the bright energy levels can be grouped into families which are associated with the hole localized in a specific dot of the stack. The exciton energy levels undergo avoided crossings as function of the external electric field with different patterns for each family. We show that the variation of the depths of the dots along the stack can be deduced from the exciton spectrum. For stronger coupling the families are mixed by a weak electric field due to hole tunneling. This results in a characteristic multiple avoided crossing of energy levels belonging to different families with an accompanying modulation of the recombination probabilities and an appearance of a single particularly bright state. Discussion of a simple modeling of these avoided crossings is provided.

DOI: [10.1103/PhysRevB.77.115441](https://doi.org/10.1103/PhysRevB.77.115441)

PACS number(s): 73.21.La, 73.43.-f, 71.10.Pm

## I. INTRODUCTION

Double quantum dots are considered promising for construction of basic quantum information processing devices with electron spins<sup>1</sup> or excitons<sup>2</sup> confined in separate dots acting as quantum bits interacting in a way that can be controlled, for instance, by an external electric field. One technique used for double dot formation uses the spontaneous tendency of the self-assembled InGaAs quantum dots to stack one above the other during epitaxial growth.<sup>3-6</sup> Coupling between the dots within a stack was detected early in photoluminescence experiments<sup>3,4,7</sup> as redshifts of the exciton energy lines that appear when the interdot barrier thickness is reduced. Redshifts are also observed as function of the number of dots forming the stack.<sup>3,4</sup> Only relatively recently measurements of the photoluminescence spectrum with an external electric field applied to a *pair* of dots were performed.<sup>8-15</sup> These measurements<sup>8-15</sup> exploit the optical signatures of coupling between the dots to establish the role of electron and hole tunneling as well as the interaction between the carriers in the artificial molecules. They proved useful for probing the confinement potential in asymmetric quantum dots,<sup>11</sup> examining the spin interactions in the fine structure of the photoluminescence lines<sup>15</sup> and the observation of an electric-field tunable  $g$  factor.<sup>14</sup>

In quantum information processing the idea of using a pair of quantum dots as coupled quantum bits implies as a natural extension an array of quantum dots as a scalable quantum register.<sup>16</sup> Recently, there has been a growing interest in artificial molecules formed by more than two dots. For instance, multiple coupled dots<sup>17</sup> were used for construction of a high accuracy single-electron pump. It was demonstrated<sup>18</sup> that a triple quantum dot can be used to construct gates for multivalued logic. Moreover, usage of three quantum dots as a source of spin-entangled currents was demonstrated.<sup>19</sup> Stability diagram of an artificial molecule formed by three planar dots created in a gated two-dimensional electron gas was determined.<sup>20</sup> Artificial molecules formed of multiple self-assembled quantum dots in planar geometry were also fabricated.<sup>21-23</sup>

Till now theoretical<sup>24-28</sup> and experimental work<sup>8-15</sup> on the electric field effect on photoluminescence spectra was limited to artificial molecules formed by pairs of dots. The purpose of the present paper is to extend the previous theoretical work on the exciton spectrum of two vertically coupled quantum dots to a vertical stack of three and four quantum dots. The studied objects are an intermediate stage between the thoroughly studied case of single and double dots and the dot superlattice that is eventually formed with a large number of stacked dots. We discuss the evolution of the spectra and electron-hole correlations when subsequent dots are added to the stack. According to the results presented below the spectra contain spectacular anomalous multiple avoided crossings of bright energy levels related to both the electron and hole tunneling which may be readily experimentally verified since both sample growth and measurement techniques are available.

The electric field breaks the electron tunnel coupling between the dots and separates electrons from holes. For a pair of dots the dissociation of the exciton by the removal of the electron from the deeper dot leads to a characteristic avoided crossing of a bright energy level and a dark one<sup>8,9</sup> with spatially separated carriers. Most of the experiments<sup>8-13</sup> were performed in the intermediate-coupling regime with barrier thickness that allows only the electron tunneling, with a hole localized in a single dot. In such a case the optical signatures of the interdot coupling are determined completely by the electron transfer<sup>8-13</sup> induced by the electric field. However, avoided crossings related to tunneling of the hole are also observed<sup>14</sup> in the strong-coupling limit. In the present paper we discuss both the intermediate and strong coupling between the dots. We find that in the intermediate-coupling case the apparently complex spectra are ordered by the hole which stays localized in a specific dot within the stack. The position of the hole-containing dot in the stack leads to an individual pattern of avoided crossings when the extended electron states are manipulated by the electric field. This can be used to probe the variation of the confinement potential along the stack by means of photoluminescence measurements as previously applied for intentionally grown asym-

metric double quantum dots.<sup>11</sup> In the strong-coupling limit we obtain avoided crossings that are due to the hole tunneling, with a strong modulation of the recombination probabilities favoring a single energy level in the center of the crossing. Outside the avoided crossing range the hole becomes localized in a single dot and the spectra evolve with the electric field like in the intermediate-coupling case.

Although the physics of the interdot coupling can be most conveniently described by a model of identical dots, the dots that are actually produced are never identical.<sup>3,4</sup> For a pair of dots one of them is always larger and/or deeper than the other. For more than two dots a number of possibilities in the variation of the depth of confinement potential along the stack are possible. The purpose of the present paper is to extract the features of the spectra that are independent of a specific order of confinement potential depths along the stack. For that reason we consider both systems of identical dots as well as dots with varied potential depths. Of the latter we mainly exploit the realistic case in which the depth of the confinement potential grows along the stack (below, this case is referred to as a “constant gradient”). This is motivated by the fact that in the Stranski-Krastanov growth mode for the same nominal number of InAs monolayers deposited for each layer of dots, the size of the quantum dots tends to increase along the stack.<sup>3,4</sup> However, since the potential of separate dots can be intentionally modified<sup>11</sup> during the growth also other configurations will be considered in this paper, namely, those in which the dot with the strongest confinement is situated inside the stack and not on its end.

We apply our configuration-interaction approach introduced in Ref. 24 and developed further in Ref. 27 which successfully predicted<sup>24</sup> the mechanism of the dissociation of the exciton<sup>8,9</sup> and the trion<sup>12</sup> by the electric field.

The paper is organized as follows. In Sec. II we describe the model. Section III contains the results for an ideal system of three identical dots which are then generalized to the case of three and four nonidentical dots. Results are discussed in Sec. IV. Conclusions and summary are given in Sec. V.

## II. MODEL AND METHOD

The model and the computational method are those as were presented in Ref. 27 for two coupled dots. This approach accounts for the electron-hole correlation in the external electric field assuming the single valence band approximation and a simple confinement potential model. The single band approximation for the hole is justified by a small height of the dot which excludes the light hole contribution from the lowest-energy states. The dipole moment induced by the charge transfer between the dots is much larger than the one resulting from the wave function deformation within a single dot. Therefore, we choose to apply a simple confinement potential model. For a single dot we use a disk quantum well,

$$V(\mathbf{r}) = -V_0 \left/ \left\{ \left( 1 + \frac{x^2 + y^2}{R^2} \right)^{10} \left[ 1 + \frac{(z - \zeta)^2}{Z^2} \right]^{10} \right\} \right., \quad (1)$$

where  $\zeta$  is the position of the center of the dot along the  $z$  axis. The profile of the confinement potential is plotted by

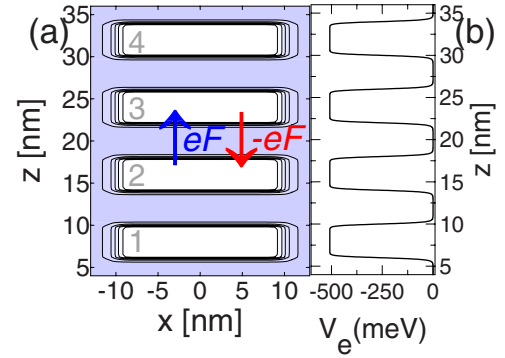


FIG. 1. (Color online) (a) The confinement potential (cross section at  $y=0$ ) for a stack of dots with interdot barrier of 4 nm—the lighter the shade of gray, the deeper the potential. Dots have identical size with diameter of 20 nm and height of 4 nm. The dots are numbered from the lowest to the uppermost. The arrow at left (right) shows the electric field force acting on the electron (hole) for  $F > 0$ . (b) The confinement potential for the electron plotted along the axis of the stack ( $x=0, y=0$ ).

shades of gray in Fig. 1(a) for a stack of four identical dots and Fig. 1(b) presents the electron confinement potential along the axis of the stack.

The dots are assumed to be perfectly aligned [see Fig. 1(a)]. A nonperfect alignment has a negligible effect on the spectra when the electric field is oriented in the growth direction.<sup>27</sup> Following the experimental data of Ref. 12 we take the diameter of the dots  $2R$  equal to 20 nm and the height  $2Z$  to 4 nm. The effective masses ( $m_e=0.037m_0$  for the electron and  $m_h=0.45m_0$  for the hole) as well as the dielectric constant ( $\epsilon=12.5$ ) are taken for  $\text{In}_{0.66}\text{Ga}_{0.34}\text{As}$  quantum dot<sup>27</sup> embedded in GaAs and consequently the depth of the wells for the electron and hole are, respectively,  $V_0^e=508$  meV and  $V_0^h=218$  meV. A variation of the confinement potential within the stack is modeled by introducing variations in the depths of the dots. We consider the following Hamiltonian for an electron-hole pair:

$$H = -\frac{\hbar^2}{2m_e}\nabla_e^2 - \frac{\hbar^2}{2m_h}\nabla_h^2 + V_e(\mathbf{r}_e) + V_h(\mathbf{r}_h) - \frac{e^2}{4\pi\epsilon\epsilon_0|\mathbf{r}_e - \mathbf{r}_h|} - e\mathbf{F} \cdot (\mathbf{r}_e - \mathbf{r}_h), \quad (2)$$

where  $\mathbf{r}_e, \mathbf{r}_h$  are the electron and the hole coordinates, respectively, the confinement potentials for the electron and hole are given by a sum of single-dot potentials of the form given by Eq. (1), and  $\mathbf{F}$  is the electric field. In this Hamiltonian the energy is calculated with respect to the bottom of the conduction and the top of the valence band of the barrier material (GaAs). The electron-hole exchange interaction is small<sup>15</sup> at the energy scale of the avoided crossings and is therefore neglected in the present paper.

The electron-hole pair eigenproblem is solved using the configuration-interaction method with the single-particle eigenfunctions  $[f_p^{(j)}(\mathbf{r}_p)]$  where  $j$  enumerates the single-particle eigenfunctions and the particle notation is  $p=e$  for

the electron and  $p=h$  for the hole] diagonalized in the multicenter basis of Gaussian wave functions<sup>27</sup>

$$f_p^{(j)}(\mathbf{r}_p) = \sum_i c_i^{(j,p)} \exp\{-\alpha_i^p[(x_p - x_i^p)^2 + (y_p - y_i^p)^2] - \beta_i^p(z_p - z_i^p)^2\}, \quad (3)$$

where  $c_i^{(j,p)}$  are the linear variational parameters and  $\alpha_i^p$  and  $\beta_i^p$  are the nonlinear variational parameters describing the localization strength of  $i$ th Gaussian around point  $(x_i^p, y_i^p, z_i^p)$ . For each dot we apply 11 Gaussian functions: 8 Gaussians on a circle around the axis of the stack and 3 Gaussians along the axis. Exact positions of the Gaussians and strength of their localization in the growth direction ( $\beta_i^p$ ) and in the perpendicular plane ( $\alpha_i^p$ ) are optimized variationally, separately for the electron and for the hole. The basis accounts for confined single-particle states with angular momentum up to  $\pm 4\hbar$ . Inclusion of more Gaussian centers in the basis does not significantly improve the results. In total, for a stack of  $N$  dots the basis for the electron-hole pair contains  $(11N)^2$  localized wave functions given by products of single-electron  $f_e^{(j)}$  and single-hole functions  $f_h^{(k)}$

$$\phi(\mathbf{r}_e, \mathbf{r}_h) = \sum_{j=1}^{11N} \sum_{k=1}^{11N} d_{jk} f_e^{(j)}(\mathbf{r}_e) f_h^{(k)}(\mathbf{r}_h). \quad (4)$$

We discuss the electron  $n_e(\mathbf{r}_e)$  and hole  $n_h(\mathbf{r}_h)$  densities which are extracted from the exciton wave function  $\phi$  whose arguments are vectors in six-dimensional space by integrating its square over the coordinates of the other particle, i.e.,

$$n_e(\mathbf{r}_e) = \int d\mathbf{r}_h |\phi(\mathbf{r}_e, \mathbf{r}_h)|^2 \quad (5)$$

and

$$n_h(\mathbf{r}_h) = \int d\mathbf{r}_e |\phi(\mathbf{r}_e, \mathbf{r}_h)|^2. \quad (6)$$

Finally, the recombination probability for the exciton state wave function  $\phi$  is calculated as

$$p = \left| \int d^3\mathbf{r}_e \int d^3\mathbf{r}_h \phi(\mathbf{r}_e, \mathbf{r}_h) \delta^3(\mathbf{r}_e - \mathbf{r}_h) \right|^2. \quad (7)$$

At the end of this section we would like to point out that the present model is applied to a single stack of tunnel-coupled dots. Quantum dots grown in arrays may interact with one another through the electromagnetic field even though there is no tunneling between the dots. Electromagnetic coupling effects include stimulated emission amplification,<sup>29,30</sup> polarization splitting of the gain band<sup>31</sup> observed at high excitation intensity in the arrays of vertically stacked dots, and super-radiance observed<sup>32</sup> for spontaneous emission at weak excitations. Experimentally, separation of a single stack of dots can be performed, for instance, by etching a small mesa of the entire sample.<sup>32</sup>

### III. RESULTS

In the present paper we discuss a stack of intermediately and strongly coupled dots (see Sec. I). The strength of the

coupling can be conveniently quantified by the energy splitting of binding and antibinding states for a pair of identical dots. For intermediate coupling the electron splitting is of order 10 meV. The hole tunneling remains negligible, with the energy splitting smaller than 100  $\mu$ eV. The results presented below for the intermediate-coupling regime were obtained for barrier thickness  $t$  between 4 and 6 nm. For a pair of identical dots we obtain the electron splittings of 9.5 and 27.5 meV for  $t=6$  and 4 nm, respectively. Corresponding hole energy splittings at these values of  $t$  are 4 and 70  $\mu$ eV. As a strong-coupling case we discuss spectra obtained for  $t=1$  nm thick barrier. For  $t=1$  nm the electron splitting is as large as 136 meV, which largely exceeds a possible unintentional variation of the confinement depths between the dots. This is not the case for the hole, for which the tunnel coupling becomes significant but the energy splitting equals only 5.8 meV. For the applied potential parameters the ground-state energy of the exciton in a single quantum dot equals  $-460.7$  meV. The ground state becomes redshifted with the addition of subsequent *identical* dots to the stack: for interdot barrier of 1 nm we obtain ground-state energies of  $-524.4$ ,  $-546.8$ , and  $-556.2$  meV for the stack of two, three, and four dots, respectively. The corresponding relative shifts with addition of second, third, and fourth dots are equal to 63.8, 22.4, and 9.4 meV. With the addition of subsequent dots the spectrum tends toward the superlattice limit. This is the reason why the redshift reduces with addition of dots to the stack. The redshift of the ground-state energy as well as the obtained reduction of the relative shifts with the number of dots is in qualitative agreement with the experimental results given for a sample containing strongly coupled stacks of several dots (see Fig. 4 of Ref. 4). However, in the experimental work<sup>4</sup> the corresponding relative shifts are 64.1, 34.3, and 32.8 meV, i.e., they reduce with the number of dots in a less pronounced manner than in our results for identical dots. This may be, for instance, due to the fact that in this experiment<sup>4</sup> the size of the dots grows as they are added on top of the stack.

For our discussion of the evolution of the photoluminescence spectrum with increasing number of dots within the stack it is useful to inspect the spectrum for a couple of identical dots. This is given in Fig. 2 for intermediate coupling ( $t=5$  nm) as function of the electric field  $F$ . The spectrum contains a set of bright energy levels [the thickness of the curves is set proportional to the recombination probability calculated according to Eq. (7)] and a multitude of dark energy levels corresponding to hole excitations with nonzero angular momenta and/or separated carriers. For intermediate coupling the bright levels can be divided into families which differ by the dot in which the hole is localized. The families are labeled by numbers that indicate the hole-containing dot in accordance with the order indicated schematically in Fig. 1(a). Within each family we additionally label the energy levels that appear as bright when the electric field is swept from strong negative values to strong positive values by subsequent letters  $a, b, c$ , etc.

Energy levels of the same family are involved in the avoided crossings when the electric field removes the electron from the dot occupied by the hole. For the dot couple the energy level  $1a$  is avoided crossed by energy level  $1b$

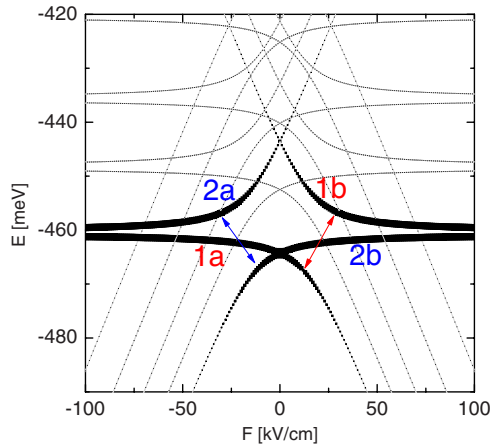


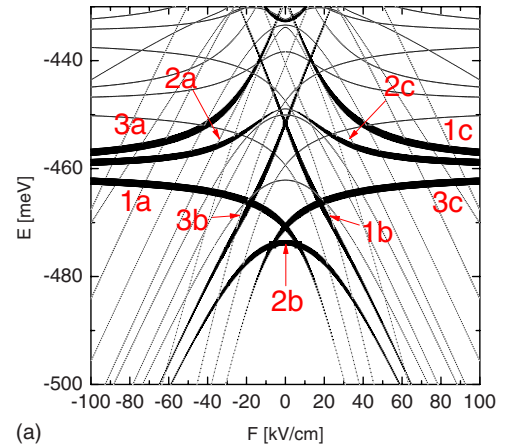
FIG. 2. (Color online) Exciton energy spectrum for two identical dots separated by barrier thickness of 5 nm. The thickness of the lines is proportional to the recombination probability [see Eq. (7)]. The bright energy levels are denoted by the number 1 or 2 which indicates the dot in which the hole is localized (see Fig. 1). The two arrows indicate the energy levels that avoided cross when the electron is removed of the dot in which the hole is localized.

(see the avoided crossings marked by arrows in Fig. 2) when the electron is removed of the lower dot by a positive electric field  $F > 0$ . A mirror reflection of this avoided crossings appears between the energy levels  $2a$  and  $2b$  at negative field. For intermediate coupling, i.e., for negligible hole tunneling, the energy levels of different families cross (see the crossing of  $1a$  and  $2b$  energy levels, as well as the crossing of  $2a$  and  $1b$  levels, both occurring at  $F=0$  in Fig. 2). In the ground state at  $F=0$  such a crossing leads to the ground-state degeneracy which is due to a negligible hole tunneling. The problem of the ground-state degeneracy for three and four identical dots is discussed below.

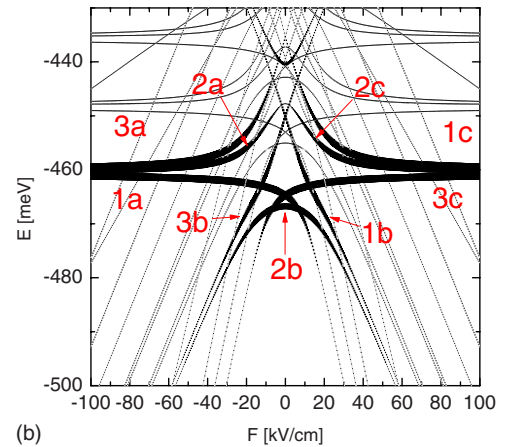
### A. Three identical dots: Intermediate coupling

Figure 3(a) shows the energy spectrum for three identical dots separated by tunnel barriers of 4 nm in thickness. The spectrum is perfectly symmetric with respect to the electric field orientation and we will discuss only  $F > 0$ . For  $F=0$  the ground state ( $2b$ ) is nondegenerate—in contrast to the two-dot case of Fig. 2—and corresponds to the hole localized in the central dot [see the hole density plotted in Fig. 4(b)].<sup>33</sup> The electron occupies predominantly the same dot, but tunneling to the neighbor dots is visible [see Fig. 4(a)]. For a noninteracting electron-hole pair and negligible hole tunneling the ground state is *threefold* degenerate. Preference of the electron to stay inside the central dot and the electron-hole interaction leads to an effectively increased depth of the central dot for the hole which lifts the ground-state degeneracy.

For  $F$  increased from 0 to 10 kV/cm the electron density corresponding to the  $2b$  level is removed from the lowest dot and increased in the uppermost dot [Fig. 4(c)]. The  $2b$  level becomes dark near  $F=50$  kV/cm [Fig. 3(a)] which is due to the separation of the carriers [see Figs. 4(e) and 4(g)]. The dissociation of the exciton in the  $2b$  energy level at  $F > 0$  occurs via an avoided crossing with the  $2c$  energy level. The



(a)



(b)

FIG. 3. (Color online) Exciton energy spectrum for three identical dots separated by barrier thicknesses of 4 (a) and 5 nm (b). The thickness of the lines is proportional to the recombination probability [Eq. (8)]. The bright energy levels are denoted by the numbers 1, 2, or 3 which indicates the dot in which the hole is localized (see Fig. 1). Letters  $(a, b, c)$  mark the bright energy levels of the same family (with the hole localized in the same dot) that appear at  $F \ll 0$ ,  $F=0$ , and  $F \gg 0$ , respectively.

electron in the  $2c$  energy level [see Figs. 4(f) and 4(h)] enters the central dot occupied by the hole when electron density of  $2b$  gets localized by the field in the uppermost dot [see Figs. 4(f) and 4(h)].

Figure 5(a) shows that in the  $3c$  energy level for small field a residual presence of the electron in the lowest dot (1) is observed. As the field increases the electron becomes completely localized in the third dot (where the hole is localized). This results in an increased intensity of the  $3c$  line with respect to  $F=0$  that can be noticed in Fig. 3(a). The  $3x$  family has a more interesting behavior for  $F < 0$ , and for a symmetric dot this is a mirror reflection of the phenomena observed for the  $1x$  family at  $F > 0$ . The energy levels  $1a$  and  $3c$  are degenerate at  $F=0$ . At low field in the  $1a$  state the electron density is a reflection of the  $3c$  density with respect to the central dot [see Fig. 6(a) and compare it to Fig. 5(a)]. In the  $1a$  energy level at  $F=0$  the electron-hole distribution has a nonzero electric dipole moment in contrast to the  $2b$  energy level. As a consequence, the  $1a$  energy level reacts to

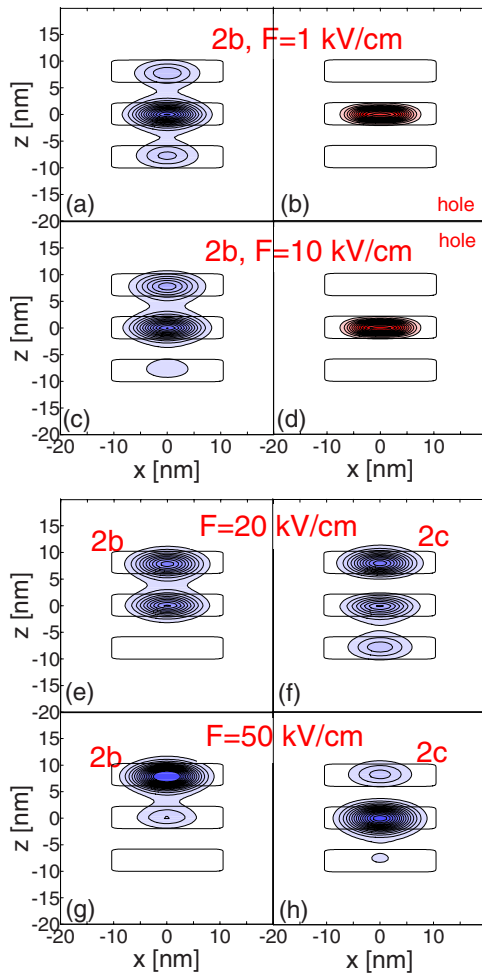


FIG. 4. (Color online) Cross section ( $y=0$ ) of electron [(a), (c), and (e)–(h)] and hole [(b) and (d)] densities in the states of the  $2x$  family, in which the hole is localized in the central (2) dot for three identical dots with interdot barrier thickness of 4 nm for various values of the electric field  $F$ . The corresponding energy levels are plotted in Fig. 3(a). Thin solid boxes indicate the region in which the confinement potential is at least 10% of its maximal value with respect to the center of each dot.

the field more strongly than  $2b$  [see Fig. 3(a)].  $1a$  first becomes the ground-state energy level and then it becomes dark [see Fig. 3(a)] when the electron is removed from the lowest dot [see Figs. 6(b) and 6(c)]. At small electric field the electron in the  $1b$  energy level is localized mostly at the extreme dots of the triple stack [see Figs. 6(d)–6(f)]. At higher field the electron in the  $1b$  energy level becomes localized in the middle dot (the hole remains in the lowest dot in all the states of the  $1x$  family) and consequently the energy level becomes dark. Note that the slope of the  $1b$  energy level when it becomes dark is twice smaller than for the  $1a$  ground state when it is dark. This is due to the electric dipole moment which is twice smaller in  $1b$  (hole in the lowest dot and electron in the middle) than in the ground state  $1a$  (hole in the lowest dot and electron in the uppermost). At high field the electron becomes localized in the lowest dot only in the third state ( $1c$ ) of the  $1x$  family [see Figs. 6(h) and 6(i)].

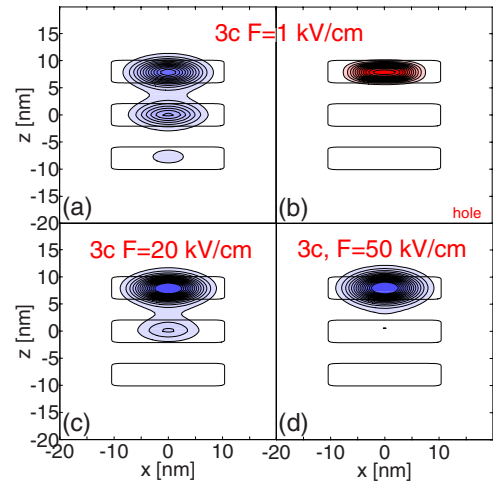


FIG. 5. (Color online) Same as Fig. 4 but for the  $3c$  energy level of Fig. 3. Plots [(a), (c), and (d)] show the electron density and (b) the hole density.

A strong electric field removes the electron tunnel coupling between the dots, so the electron becomes localized in a single dot similarly as the hole. In all the strong-field bright states  $1c$ ,  $2c$ , and  $3c$  the decrease of the electron energy with the electric field is compensated by the increase of the hole energy. As a consequence, at large  $F$  all the bright levels  $1c$ ,  $2c$ , and  $3c$  become degenerate. For increased barrier thickness to 5 nm degeneracy appears for smaller  $F$  [see Fig. 3(b)].

The change of the spectrum with the addition of the third dot to the two-dot stack can now be summarized by comparison of Figs. 2 and 3. In the family  $1x$ —associated with the hole localized in the lowest dot of the stack—the bright energy levels appearing at strong negative  $F \ll 0$  and strong positive  $F \gg 0$  fields— $1a$  and  $1c$ , respectively, exhibit an avoided crossing (Fig. 3) like the  $1a$  and the  $1b$  energy levels for the double dot case (Fig. 2). Similarly as in the two-dot case this avoided crossing—related to the transfer of the electron from the lower to the upper dot—appears for  $F > 0$ . The new feature of the  $1x$  family for three dots is the appearance of an energy level ( $1b$ ) which enters the  $1a$ – $1c$  avoided crossing nearly linearly and appears as bright in the range of electric fields which induces the avoided crossing. Family  $3x$  associated with the dot at the opposite extreme end of the stack is a mirror reflection of  $1x$ . In comparison to the two-dot case a qualitatively new group of bright levels is the  $2x$  family, associated with the dot situated *inside* the stack. The energy level which appears as bright near  $F=0$  ( $2b$ ) has a parabolic dependence on  $F$  and anticross the two other bright energy levels of the family:  $1a$  at  $F < 0$  and  $1c$  at  $F > 0$ .

### B. Three nonidentical dots: Intermediate coupling

Let us first consider the case when a constant “gradient” in the depth of the confinement potential is present within the stack [see the inset to Fig. 7(c)]. Figure 7 presents the results for the case that the depth of the lowest dot (number 1) is



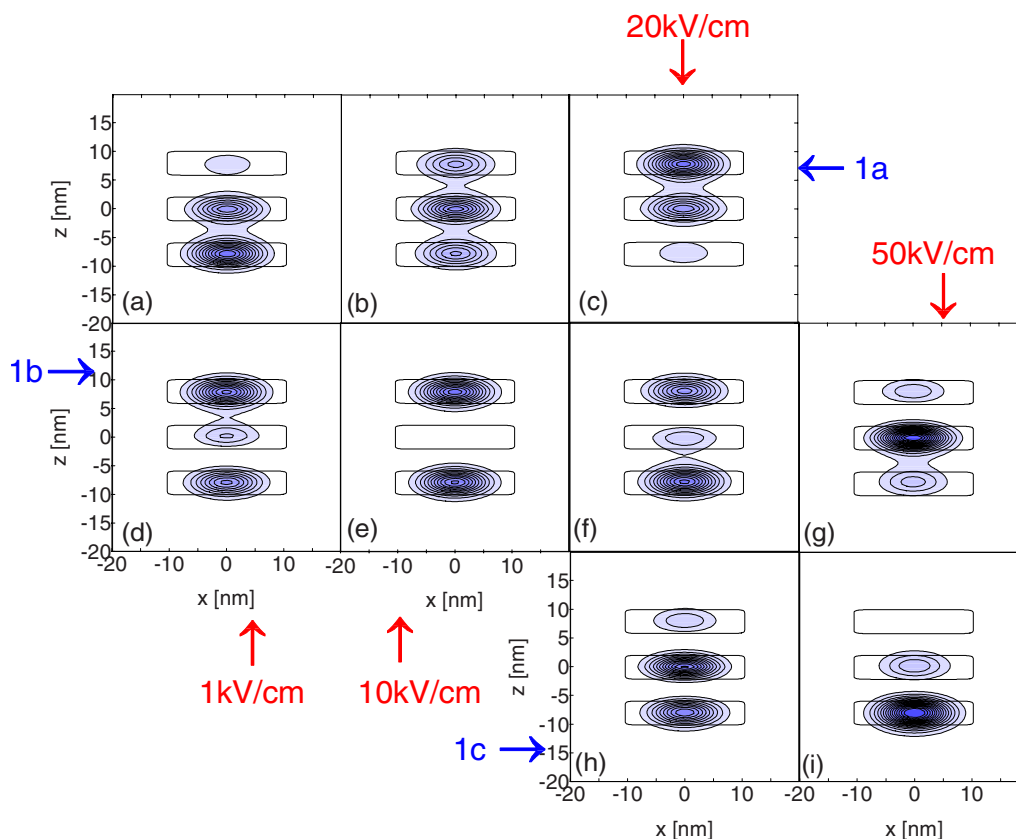


FIG. 6. (Color online) Same as Fig. 4 but for the  $1x$  family of states in which the hole is localized in the lowest dot. All the plots show the electron density. The upper [(a)–(c)], middle [(d)–(g)], and lower [(h) and (i)] rows of plots correspond to  $1a$ ,  $1b$ , and  $1c$  energy levels of Fig. 3. The columns of plots from left to right correspond to  $F=1, 10, 20$ , and  $50$  kV/cm.

increased by 10 meV for both the electron and the hole while for the uppermost dot (number 3) it is decreased by the same amount for both carriers. The modification of the depth is directly translated into relative energy shifts between the families of energy levels. For large  $F > 0$ , the  $1c$ ,  $2c$ , and  $3c$  energy levels are no longer degenerate but they are separated by roughly 20 meV (sum of the confinement energy difference for both carriers in the separate dots).

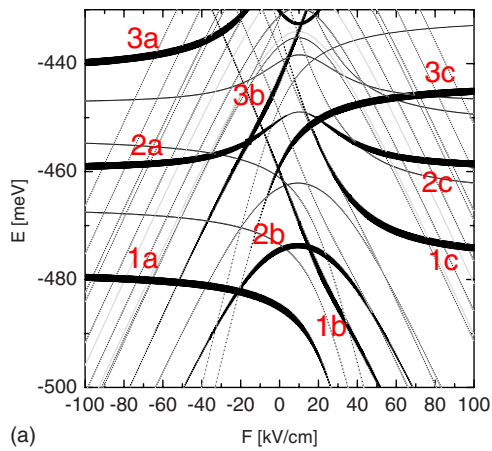
The avoided crossings in the separate families are most clearly visible for weaker coupling with  $t=6$  nm in Fig. 7(c). Although the families of energy levels are shifted, the qualitative character of the avoided crossings within each family is the same as in the stack of identical dots. In the  $2x$  family a single avoided crossing is observed at both electric field orientations and appears when the electron is moved from the central to the upper or lower dot. On the other hand for the  $1x$  family only the positive electric field induces avoided crossings. The first avoided crossing corresponds to the removal of the electron from the lowest to the uppermost dot and the second from the lowest to the middle dot.

The spectrum in case the central dot is the deepest is plotted in Fig. 8 for 6 nm thick tunnel barriers (see the inset to Fig. 8, the depth of the central dot is increased by 10 meV, and the uppermost is decreased by 10 meV). Similarly as in the constant gradient case of Fig. 7(c) we see well resolved patterns of the three families of energy levels known from the results presented above. The families are shifted as expected from the varied potential depths.

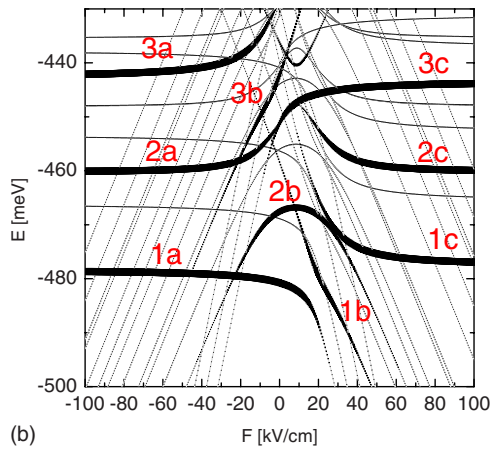
In the discussed calculations for nonidentical dots we assumed that the depth of the dot is varied in the same way for both the electron and the hole. In Fig. 9 we show the spectrum calculated for equal electron confinement depths but with varied depths for the hole: +20, 0, and –20 meV along the growth direction. The adopted shifts are equal to the sum of the electron and hole variation of Fig. 7(c). We see that both spectra presented in Figs. 7(c) and 9 are nearly identical. Same result is obtained for equal depth for the hole but varied potential depth for the electron. In our previous work<sup>24</sup> on the coupled two-dot system we demonstrated that the electron-hole interaction translates the asymmetry for one type of particle to an effective confinement potential for the other. This conclusion still holds for triple stacked dots.

### C. Three stacked dots: Strong coupling

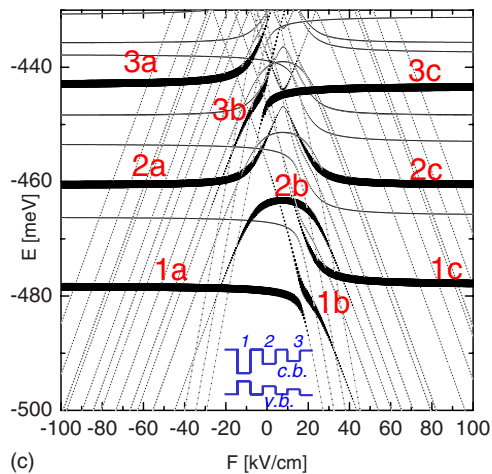
Figure 10(a) shows the spectra for a stack of triple identical dots separated by a 1 nm thin barrier. The strong coupling between the dots not only increases the electron energy splitting (which widens the spectrum in the energy scale) but also makes the electron states less susceptible to the manipulation by the external field. Therefore, in order to obtain an evolution of the spectrum comparable to the one observed in the intermediate-coupling case for  $t=4$  nm [Fig. 3(a)] both the electric field and the energy scale had to be increased by a factor of about 5. With this scaling the pattern of energy



(a)



(b)



(c)

FIG. 7. (Color online) Same as Fig. 3 but for three nonidentical dots separated by barrier thicknesses of 4 (a), 5 (b), and 6 nm (c). The depth of the confinement potential of the dots 1, 2, and 3 is varied by +10, 0, and  $-10$  meV (constant gradient of potential depth), respectively, for both the electron and the hole. Schematic drawing of the valence and conduction band along the stack is presented in the inset of (c).

levels is similar to the intermediate-coupling spectrum [Fig. 3(a)]. A specific feature of the strong-coupling case occurs for relatively small electric fields [see an enlarged picture

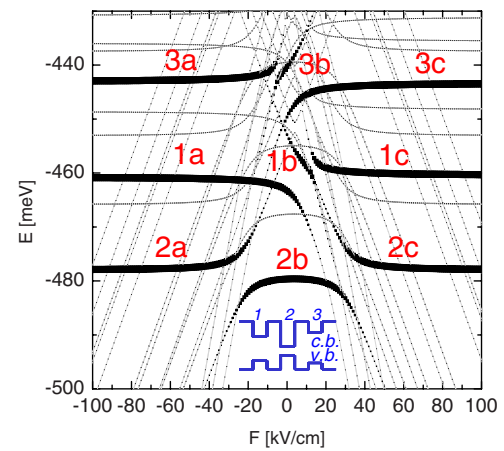


FIG. 8. (Color online) Same as Fig. 7(c) but for varied depths of the dot with barrier thickness of  $t=6$  nm. The depth of the confinement potential of the dots 1, 2, and 3 is varied by 0, +10, and  $-10$  meV, respectively, for both the electron and the hole. The inset shows a sketch of conduction and valence band extrema along the growth direction.

plotted in Fig. 10(b)] and consists in avoided crossings that occur between energy levels of *different* families. In Fig. 10(b) there are two such avoided crossings—marked by dashed rectangles. In the ground state the avoided crossing involves 1a, 2b, and 3c bright energy levels. Electron and hole densities for that avoided crossing are plotted in Figs. 11(m)–11(r) for  $F=0$  and in Figs. 11(s)–11(y) for  $F=10$  kV/cm. At  $F=0$  all the states share nearly the same electron density [cf. Figs. 11(m), 11(o), and 11(q)] with a maximum in the central dot but with a strong penetration to the other two dots.

In the strong-coupling limit a simple product of the electron and hole single-particle wave functions [instead of a linear combination of such products—see Eq. (4)] is a rela-

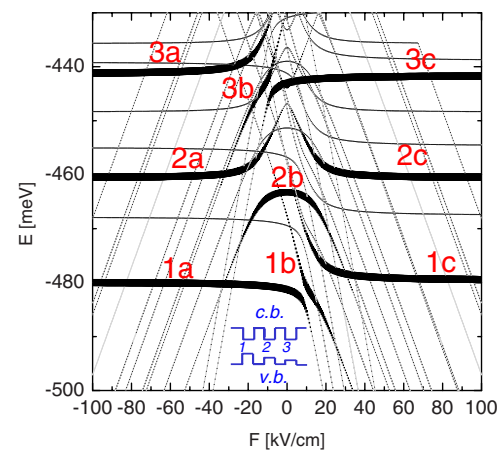


FIG. 9. (Color online) Same as Fig. 7(c) but for varied depths of the dot with barrier thickness of  $t=6$  nm. The depth of the confinement potential of the dots 1, 2, and 3 is varied by +20, 0, and  $-20$  meV, respectively, for the hole. Dots have equal depth for the electron. The inset shows a sketch of conduction and valence band extrema along the growth direction.

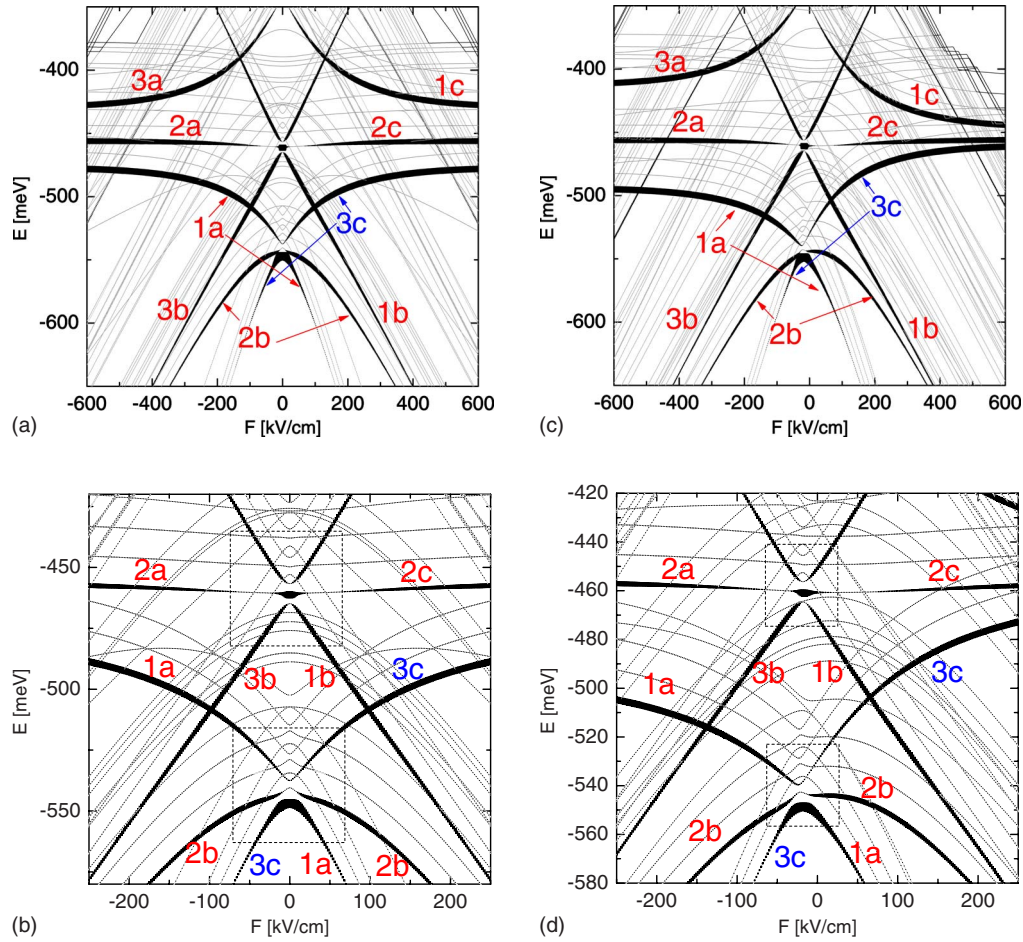


FIG. 10. (Color online) Spectra for the strong-coupling case with  $t=1$  nm (a) correspond to identical dots and in (c) the depth of the confinement potentials of the dots 1, 2, and 3 is modified by  $+10$  meV, and  $-10$  meV, respectively. (b) and (d) present fragments of (a) and (c), respectively, in which avoided crossings related to the avoided crossings between different families are observed.

tively good approximation for the exciton wave function. Therefore, although in principle only the total parity of the exciton state is a good quantum number at  $F=0$ , in the strong-coupling limit (and only in the strong-coupling limit) the states acquire also approximate single-particle parities (as discussed in Ref. 34). Below, we will refer to the single-particle states and parities for the interpretation of the avoided crossings related to the hole tunneling in the strong-coupling limit. In all the three states involved in the  $1a-2b-3c$  avoided crossing [the lower rectangle in Fig. 10(b)] the electron is in an even-parity state [see the electron density plot in Figs. 11(m), 11(o), and 11(q)], i.e., in its lowest-energy state. In the ground state the hole has a similar density [Fig. 11(r)] but with a weaker penetration to the top and bottom dots. The first excited state corresponds to a hole excitation, i.e., to an antibinding hole state [Fig. 11(p)]. At  $F=0$  the hole in the first excited state occupies an odd-parity energy level. Due to the odd parity the hole density is bound to vanish in the center of the central dot. We see that, in fact, the hole is totally removed from the central dot [Fig. 11(p)]. The total envelope exciton wave function for this state is odd and therefore the recombination is strictly forbidden since the integral (7) vanishes. For a product of single-particle

wave functions  $\phi(\mathbf{r}_e, \mathbf{r}_h) = f_e(\mathbf{r}_e) f_h(\mathbf{r}_h)$  the formula for the recombination probability (7) reduces to

$$p = \left| \int d^3\mathbf{r} f_e(\mathbf{r}) f_h(\mathbf{r}) \right|^2, \quad (8)$$

i.e., to the square of the overlap between the hole and electron wave functions. For opposite parities of the two functions the overlap is strictly zero. For the second excited energy level the hole is an even state again [Fig. 11(n)] and the recombination probability is therefore nonzero but turns out to be small, about 15 times smaller as compared to the ground state. In the second excited state at  $F=0$  the hole wave function changes sign in both barriers. The hole is more probable to be found at the extreme dots of the stack while the electron wave function is maximal in the central dot. This, along with the sign oscillations of the hole wave function, makes the electron and hole wave functions nearly orthogonal, hence the small recombination probability. Note that the electron and hole densities presented in Figs. 11(m) and 11(r) are in good qualitative agreement with the calculations for  $F=0$  presented in Fig. 5 of Ref. 4 for the electron

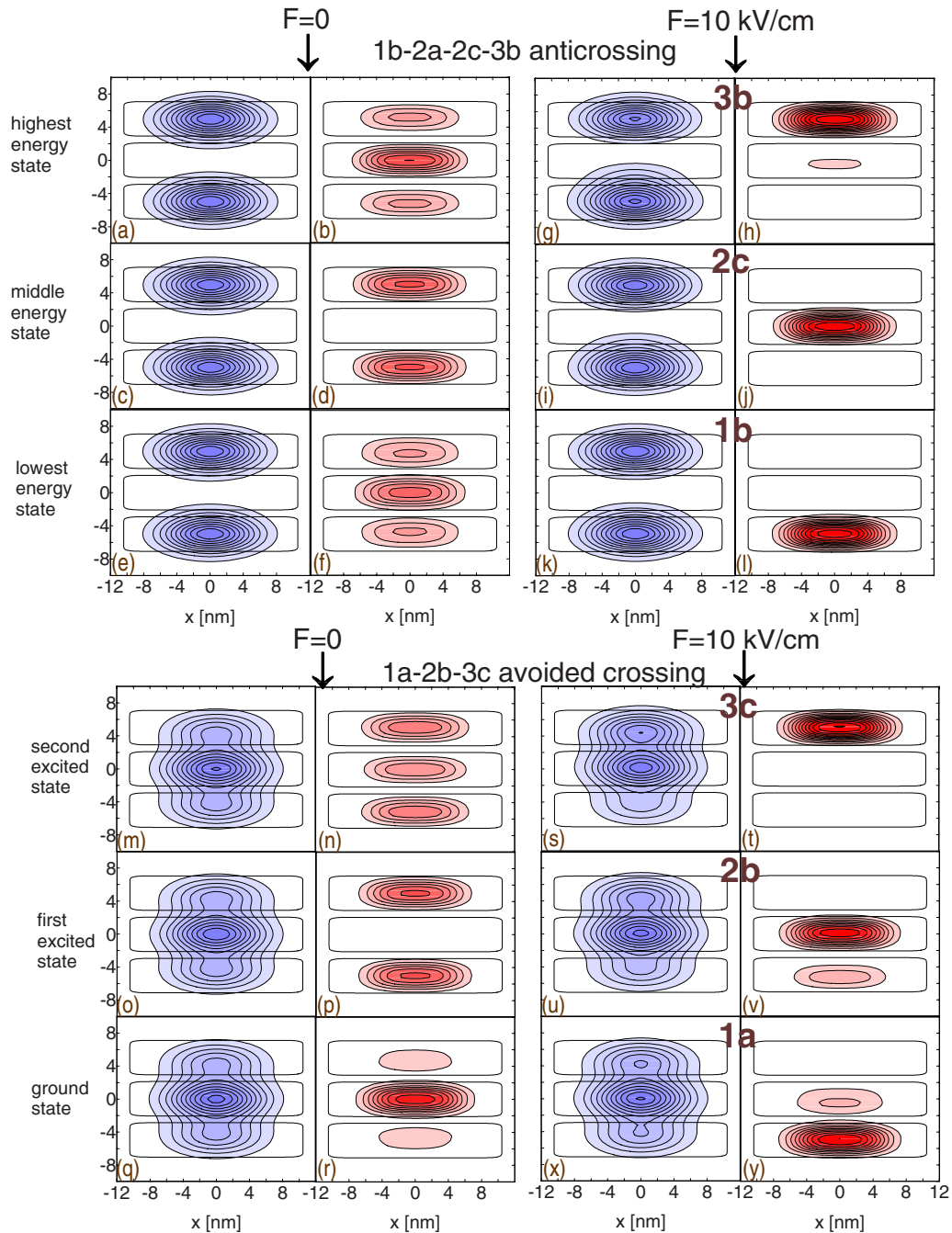


FIG. 11. (Color online) Cross section ( $y=0$ ) of the electron and hole densities for the energy levels participating in the two avoided crossings presented in Fig. 10(b). The upper group of plots [(a)–(l)] corresponds to the avoided crossing marked by the upper rectangle in Fig. 10(b) and the lower group [(m)–(y)] to the ground-state avoided crossing marked by the lower rectangle in Fig. 10(b). In each group—higher-energy states correspond to the upper panels. The first (second) column of plots shows the electron (hole) density at  $F=0$  (namely, a,c,e,m,o,q, for electron, and b,d,f,n,p,r for the hole). The third (fourth) column shows the electron (hole) density at  $F=10$  kV/cm (g,i,k,s,u,x for electron, and h,j,l,t,v,y, for the hole). Identities of the states when their energy levels emerge from the avoided crossing can be deduced from the plots for  $F=10$  kV/cm. The densities are therefore labeled according to the “family” notation used in previous discussion.

and hole states in a stack of three strongly coupled dots each of different size and shape.

When the electric field is switched on the recombination probability of the ground state is reduced and all the three energy levels leave the avoided crossing region [lower rectangle in Fig. 10(b)] as bright states with comparable recombination probabilities. The electron and hole densities for

these energy levels are plotted for  $F=10$  kV/cm in Figs. 11(s)–11(y). Already for this field the hole tunnel coupling is nearly extinguished [in Figs. 11(t), 11(v), and 11(y)]. When the hole becomes localized in the single dot, the discussion of energy levels in previously used terms of families becomes valid again. Therefore, outside the avoided crossing region we may identify the ground state as the  $1a$  energy

level, the first excited bright state as  $2b$ , and the second as  $3c$ . Outside the discussed avoided crossing range of small electric fields, the energy levels of different families cross like in the intermediate-coupling case [see, for instance, the crossing of the  $3c$  and  $1b$  levels in Fig. 10(b)].

Let us now turn our attention to the second avoided crossing observed in Fig. 10(b) (the region marked with the upper dashed rectangle). From the negative  $F$  side the avoided crossing occurs between the  $1b$ ,  $2a$ , and  $3b$  energy levels. At  $F=0$  in all the states that enter this anticrossing the electron is in the first excited state of odd parity with respect to the center of the stack [see Figs. 11(a), 11(c), and 11(e)]. For symmetry reasons, the electron density in this state vanishes in the center of the stack, but not entirely in the central dot, since a leakage from the extreme dots is observed. At  $F=0$ , in the lowest of the three energy levels participating in the avoided crossing, the recombination is forbidden due to the even parity of the hole [opposite to the electron parity—see Fig. 11(f)]. For the same reason, at  $F=0$  the recombination from the highest energy of the three anticrossing levels is strictly forbidden [for the hole density, see Fig. 11(b)]. Consequently only the middle-energy state is bright at  $F=0$ . Note the similarity of the electron and hole densities in the bright state at  $F=0$  [compare Figs. 11(c) and 11(d)] both the particles are in the lowest-energy antibinding  $l=0$  energy levels. For  $F=10$  kV/cm the hole coupling is removed [see Figs. 11(h), 11(j), and 11(l)]. The order of the bright energy levels when they leave the avoided crossing region is the same as in the ground-state avoided crossing, i.e., the lowest-energy bright level at  $F>0$  is associated with the hole localized in dot 1, the middle energy with dot 2, and the energy level in which the hole is in dot 3 goes up with growing  $F$ .

In the intermediate-coupling region, when we varied the dot confinement potential, the families of energy levels shifted with respect to each other, as discussed in Sec. III B. The exciton spectrum for the case in which the potential depths are changed according to the constant gradient case (as discussed in Sec. III B) is plotted in Fig. 10(c). Comparison of Figs. 10(a) and 10(c) leads to the conclusion that the effect of the confinement variation on the spectrum for the strong coupling is distinctly less pronounced than for the intermediate-coupling case. This is due to the electron coupling effects that are much stronger as compared to the potential variation (see the beginning of Sec. III). In this sense the differences in dot confinement are masked by the strong electron tunnel coupling. The avoided crossings that appear for small fields due to the hole tunnel coupling are presented in detail in Fig. 10(d). For nonidentical dots they are no longer symmetric and they are shifted with respect to  $F=0$  field, but they distinctly preserve their character [compare with the identical dots case of Fig. 10(b)]. In particular, in both avoided crossings marked by rectangles in Fig. 10(d) at the center of the avoided crossing a single energy level with a much stronger recombination probability than the others appears. Also the energy position of the brighter energy level within the triple of interacting energy levels is conserved. In the lowest-energy avoided crossing it is the lowest-energy level. In the second avoided crossing the brightest is the second energy level of the three interacting levels. Recombination of the two other levels is no longer forbidden by the

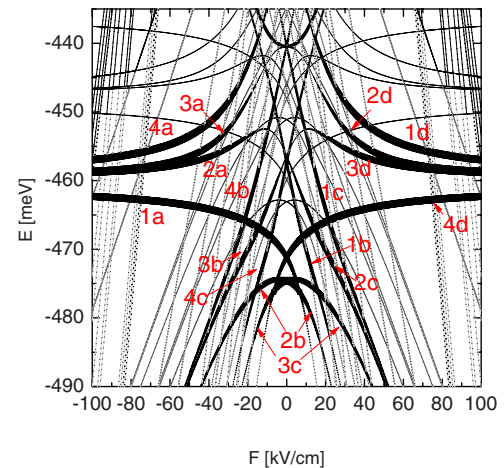


FIG. 12. (Color online) Same as Fig. 3(a) but for four identical dots separated by identical barriers of thickness 4 nm.

symmetry-related selection rules but it remains small. The same rule applies for the next avoided crossing on an energy scale that did not fit into Fig. 10.

#### D. Four identical dots: Intermediate coupling

The spectrum for four identical dots separated by barriers of width 4 nm is presented in Fig. 12. At  $F=0$  the ground state is twofold degenerate (like in the case of two-dot stacks—see Fig. 2—and in contrast to the stack of three dots—see Fig. 3). At  $F=0$  in the ground state a crossing of  $2b$  and  $3c$  energy levels is obtained as a function of electric field. This degeneracy is due to the absence of hole tunneling and from the fact that for the electron both internal dots are equivalent. The electron densities in  $2b$  and  $3c$  energy levels at a weak electric field of  $F=0.5$  kV/cm can be inspected in Figs. 13(a) and 13(b), in which the dot occupied by the hole is marked by a red dot. In both the  $2b$  and  $3c$  states the electron is most probable to be found in the same dot as the hole. Electron tunneling to adjacent dots is also observed but with a clear preference for the neighbor dot that is situated inside the stack and not at its end. At a positive electric field the  $2b$  level goes down in energy (cf. Fig. 12) since the dipole moment of this state is aligned with the electric field [see Fig. 13(a)—the centers of the electron and hole distributions are displaced with respect to each other in the direction of the electric force]. Opposite is the effect of the field on the  $3c$  level in which the dipole moment is inverted. Due to the carrier distribution presented in Figs. 13(a) and 13(b) both these states have nonzero intrinsic dipole moments, hence the shifts of the maxima of their energy levels off  $F=0$ : to negative  $F$  for  $2b$ , and to positive  $F$  for  $3c$ .

At  $F=0$  the first excited state is twofold degenerate ( $1a$  and  $4d$  energy levels—see Fig. 12) and corresponds to the hole entirely localized in the extreme dots of the stack. The electron density in these states is maximal in the extreme dots but extends to the interior of the stack [see Figs. 13(c) and 13(d)].

The electron densities plotted in Figs. 13(f)–13(j) for  $F=40$  kV/cm correspond to the energy levels  $3d$ ,  $2d$ , and  $1d$

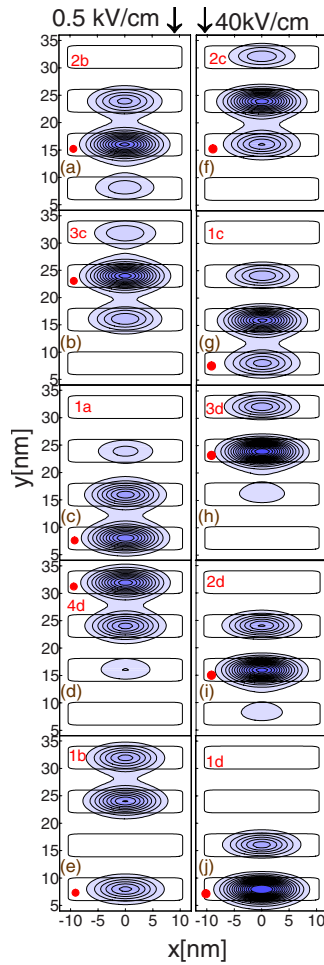


FIG. 13. (Color online) Electron densities for the stack of four identical dots (for the energy levels presented in Fig. 12). The left column of plots [(a)–(e)] corresponds to  $F=0.5$  kV/cm and the right column [(f)–(j)] to  $F=40$  kV/cm. In each case the hole is totally localized within the dot specified by the family label (additionally marked a dot).

which remain bright at  $F \gg 0$  as well as  $1c$   $2c$  levels which appear as temporarily bright within the avoided crossings of  $1b$ – $1d$  the  $2b$ – $2d$  energy levels, respectively.

Comparing the four-dot spectrum of Fig. 12 with its counterpart for three dots Fig. 3 we notice that in the  $1x$  family—associated with the dot at the end of the stack—addition of a fourth dot results in the appearance of a second level  $1c$  in addition to  $1b$  that depends nearly linearly on the field becomes bright when entering the avoided crossing between the energy levels that remain bright at strong negative and positive fields in the four-dot case these are labeled by  $1a$   $1d$ , respectively.

For three dots a member of the  $2x$  family ( $2b$ ) associated with the internal dot of the stack was the nondegenerate ground state at  $F=0$ . It entered a single avoided crossing with  $2a$  (the bright level at  $F \leq 0$ )  $2c$  (the bright one at  $F \geq 0$ ). Consequently  $2b$  level was a symmetric function of  $F$ . For four dots in the  $2x$  family an energy level appears that is temporarily bright at  $F > 0$  with a nearly linear dependence on  $F$ . For four dots this level is labeled by  $2c$ . Due to its

interaction with the  $2c$  level the “parabolic”  $2b$  energy level loses its symmetry with respect to  $F=0$  becomes a deformed parabola as a function of field.

#### E. Four nonidentical dots: Intermediate coupling

Figure 14(a) shows the spectrum for a stack of four dots with a gradient of the depth of the confinement potential—the depths of the dots from the lowest to the uppermost are increased for both carriers by 20, 10, 0,  $-10$  meV, respectively [see the schematic drawing of the confinement potential above Fig. 14(a)]. Near  $F=0$  the ground state is the bright energy level with the carriers confined in the deepest dot number 1. The ground-state dissociation appears with  $1a$ – $1b$  avoided crossings near  $F=15$  kV/cm. For higher electric field the ground state is dark and corresponds to the electron in dot 4. The lowest bright energy level between 15 and 20 kV/cm is  $1b$ . For  $F > 20$  kV/cm the electron in  $1b$  becomes localized in dot 3 and the energy level becomes dark. We notice the reduced slope of the energy level  $1b$  when it becomes dark compared to the dark ground state. The subsequent bright energy level  $1c$  becomes dark with the electron localized in dot 2 which is adjacent to the dot occupied by the hole. Consequently the dipole moment slope of the energy level as function of  $F$  is still smaller. For the same reason we notice that in  $1c$  the electron-hole pair is significantly more resistant to dissociation as compared to  $1b$  note the increased  $F$  interval in which  $1c$  is bright.

In the  $1x$  family all the avoided crossings of the bright energy levels appear at positive  $F$  which tends to remove the electron from the lowest dot. On the other hand in the  $2x$  family the electron is removed by negative  $F$  to dot 1 producing a wide  $2a$ – $2b$  avoided crossing similarly as in the stack of three dots near  $F=-10$  kV/cm. For positive field two avoided crossings are observed. The first one  $2b$ – $2c$  appears when the electron is removed to dot 4, and the second one  $2c$ – $2d$  when the electron is removed to dot 3. Note that the slope of the dark energy level that comes from the  $2b$ – $2c$  avoided crossing is parallel to the dark part of the  $1b$  energy level. In both cases the hole electron are separated by an empty dot. Similarly the  $2c$  energy level when dark is parallel to the dark  $1c$  energy level since the carriers occupy adjacent dots.

The avoided crossing pattern in the  $4x$  family is clearly an inverted shifted pattern of the  $1x$  family. The inversion is due to the hole localized at the other extremity of the stack the shift to the reduced depth of dot 4. Similarly the  $3x$  family is a shifted inverted counterpart of the  $2x$  family.

Figure 14(b) shows the spectrum for varied depths of the dots. Dot 2 is deepest with depth increased by 20 meV for both carriers from the values given in Sec. II see the schematic potential profile above the figure. The analogous shifts for dots 1, 3, and 4 are 10,  $-10$ , and 0 meV, respectively. The patterns of the avoided crossings remain characteristic to the position of the dot in which the hole is localized within the stack [cf. Fig. 14(a)]. More pronounced deformation appears only in the  $3x$  family associated with the dot which is the shallowest is visible in a modified shape of the  $3b$  bright line.

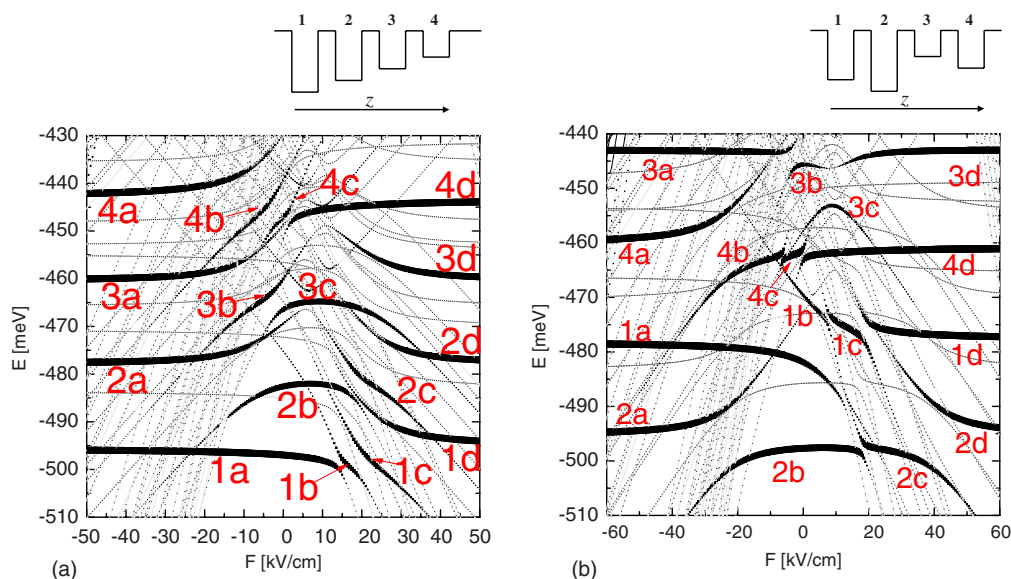


FIG. 14. (Color online) The spectrum for four stacked dots for barrier thickness of 5.5 nm. In (a) a constant gradient of the confinement potential depths of the dots is assumed: (see the schematic drawing above the plot) the depth of each subsequent dot is decreased by 10 meV for both the electron and the hole when one moves up the stack. In (b) it is assumed that the shifts of the dot depth for both carriers are from the bottom to the top of the stack: +10, +20, -10, and 0 meV.

#### F. Four dots: Strong coupling

Similarly to the three dot case the spectrum for four dots in the strong-coupling regime [see Fig. 15(a)] resembles the one of the intermediate-coupling case see Fig. 12. Like for three strongly coupled dots (Sec. III C) qualitative differences appear for small  $F$  where avoided crossings of states of different families are obtained. The region of the two-lowest avoided crossing is shown in more detail in Fig. 15(b) with the hole electron densities plotted in Fig. 16. In the ground state we have avoided crossing of  $1a$ ,  $2a$ ,  $3c$ , and  $4d$  energy levels. In the center of the avoided crossing near  $F=0$  the ground state becomes distinctly brighter than the three other levels. The hole electron density in these states look alike [see Fig. 16(h)] with the exception of weaker hole tunneling. As a matter of fact at  $F=0$  the electron densities are nearly identical for all the four energy levels [see Figs. 16(e)–16(h)]. In all these energy levels the electron is in an even-parity single-particle state. In the first excited state the hole state is odd so recombination is forbidden [see Fig. 16(g) and Eq. (8)]. For the same reason it is forbidden for the third excited state [see Fig. 16(e)]. The recombination is allowed for the second excited state [see Fig. 16(f)] in which the hole is in an even-parity state. The recombination probability is nonzero but small since the hole occupies only dots at the top the bottom of the stack while the electron occupies mostly the internal ones.

An electric field of  $F=20$  kV/cm is nearly strong enough to break the hole tunnel coupling which results in the hole localization in a single dot.

In the second avoided crossing that appears higher in energy involves the  $1b$ ,  $2c$ ,  $3b$ , and  $4c$  energy levels the electron at  $F=0$  occupies an odd-parity state with probability maxima at the ends of the stack [see Figs. 16(a)–16(d)]. The parity of the hole in the subsequent energy levels changes

like in the lower avoided crossing: it is even in the lowest-energy state, odd in the second-energy state, etc. Recombination is not forbidden by symmetry from the second- [Fig. 16(c)] and fourth- [Fig. 16(a)]-energy states. It is the second energy level which is the brightest, since then the hole density is maximal in the outer dots like the electron density. In this state both the electron and the hole are in their first single-particle excited states. As a general rule the largest recombination probability is obtained for the cases that the electron and the hole excitation are the same. As an additional illustration, in Fig. 15(a) we notice that in the third avoided crossing (associated with the third single-electron state) it is the third-energy state that is the brightest at  $F=0$ .

The low-field spectrum for a system of nonidentical dots is presented in Fig. 15(c). The lowest dot depth is increased by 20 meV, the second by 10 meV, and the uppermost is decreased by 10 meV (constant gradient). The avoided crossings related to mixing of the families are shifted from  $F=0$  and deformed, i.e., not symmetric with respect to the center of the avoided crossing. For instance, in the lowest-energy bright state the left arm tends to the  $4d$  energy level when the hole tunneling is lifted and the right arm tends to  $1a$ . For identical dots  $4d$  and  $1a$  are equivalent counterparts—the energy of  $4d$  at  $F$  is equal to the energy of  $1a$  at  $-F$ . This is no longer the case for nonidentical dots, hence the asymmetry in the avoided crossing. The asymmetry is also observed in the recombination probability. In particular, the recombination probability of energy level  $1a$  vanishes with field in a slower way than in the  $4d$  energy level, which is a direct consequence of the difference in the depths of dots 1 and 4. In spite of the asymmetry in the avoided crossings the general features are similar to those observed for identical dots. A single energy level much brighter than the others appears in the center of the avoided crossings.

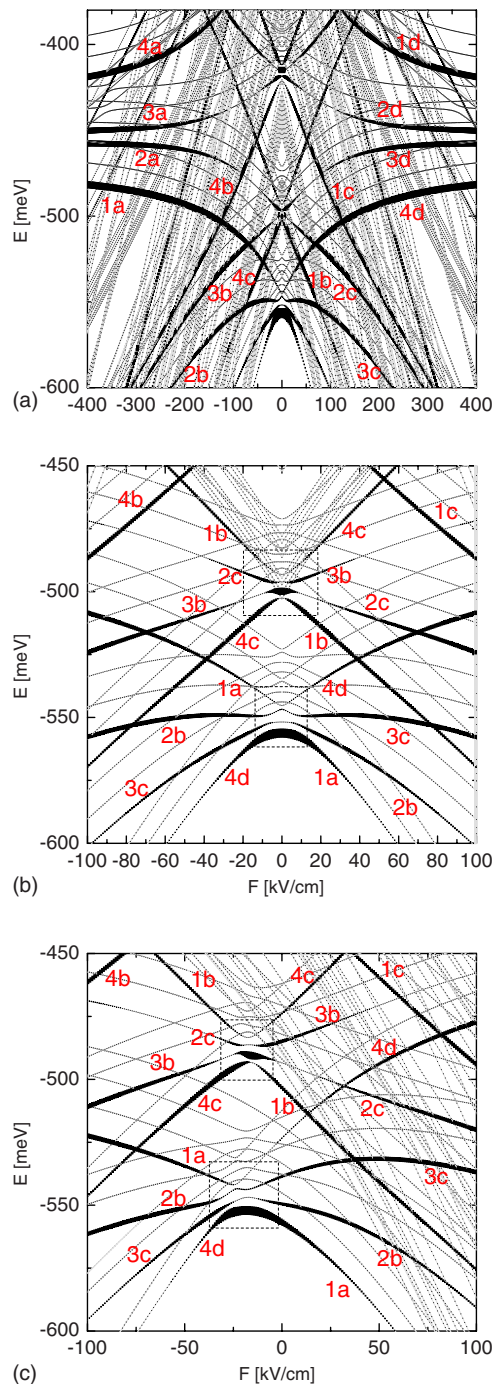


FIG. 15. (Color online) Spectra for four dots with barrier width of 1 nm; (a) and (b) correspond to identical dots and in (c) the depth of the confinement potentials of the dots 1–4 is varied by +10, +0, –10, and –20 meV, respectively. (b) is a zoom of (a).

### G. Simple modeling of avoided crossings between different families

The insight gained on the study of the multiple avoided crossings between energy levels of different families allows us to introduce a simple modeling, which may be useful, for instance, in the interpretation of experimental data. During the hole transfer the electron density changes only slightly

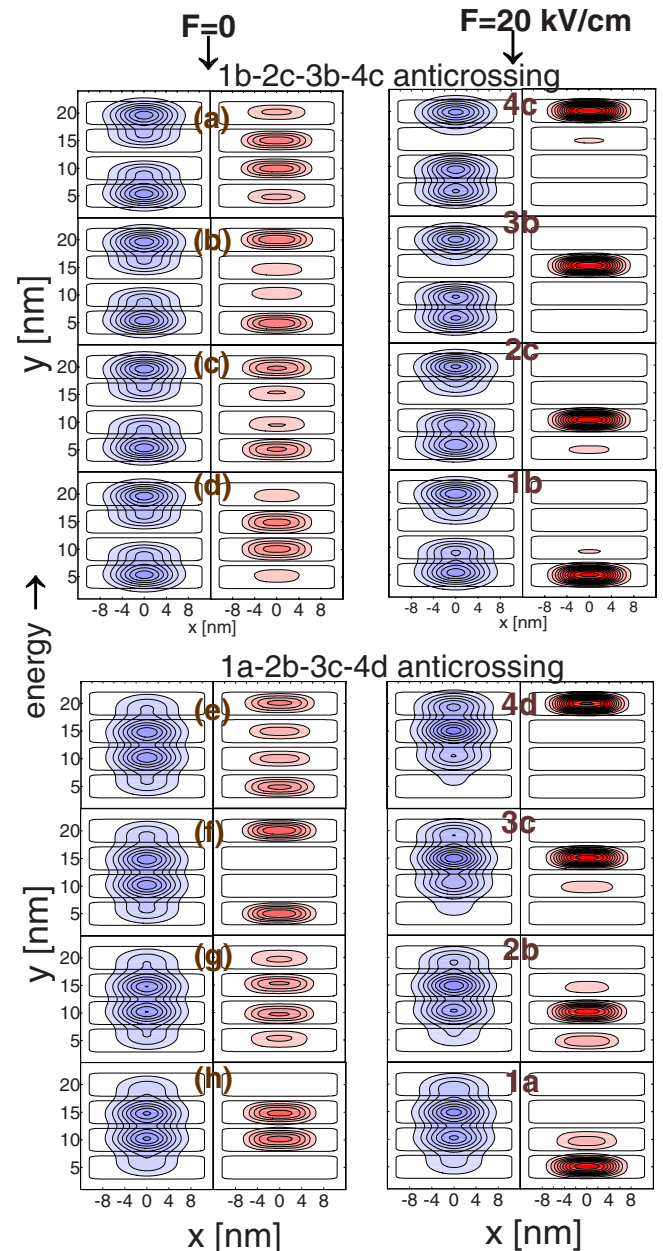


FIG. 16. (Color online) Cross section ( $y=0$ ) of the electron and hole densities corresponding to the energy levels participating in the two avoided crossings marked by rectangles in Fig. 15(b). The lower group of plots [the ones marked by (e)–(h) for  $F=0$ , and by the family labels 1a, 2b, 3c, and 4d for  $F=20$  kV/cm] corresponds to the ground-state avoided crossing marked by the lower rectangle in Fig. 15(b). The upper group of plots [(a)–(d) and 1b, 2c, 3b, and 4c] corresponds to the avoided crossing marked by the upper rectangle in Fig. 15(b). In each group—the higher-energy states correspond to the upper panels. The first (second) column shows the electron (hole) density at  $F=0$  and the third (fourth) the electron (hole) density at  $F=20$  kV/cm. Identities of the states when their energy levels emerge from the avoided crossing can be deduced from the plots for  $F=20$  kV/cm. The corresponding densities are therefore labeled in the family notation.



(see Fig. 16), so we may focus our attention on the single-hole energy levels. We assume that with each dot we can associate a single localized wave function ( $\psi_i$ ). The multiple avoided crossing between different families can be modeled using superposition

$$\psi_\mu = \sum_{i=1}^4 d_i^\mu \psi_i. \quad (9)$$

For no tunnel coupling the wave function is orthogonal due to the lack of overlap. In presence of the coupling one can construct orthogonal wave functions each associated with a single dot and weakly penetrating the nearest neighbor dots with an inverted sign which will preserve their mutual orthogonality. For orthogonal wave functions the values of  $d_i^\mu$  are found by diagonalization of the single-hole Hamiltonian  $H_h$  in basis (9). A matrix element of the single-hole Hamiltonian is  $H_{ij} = \langle \psi_i | H_h | \psi_j \rangle$ , with

$$H = \begin{pmatrix} \epsilon - \frac{3}{2}Fed & c & 0 & 0 \\ c & \epsilon - \delta - \frac{1}{2}Fed & c & 0 \\ 0 & c & \epsilon - \delta + \frac{1}{2}Fed & c \\ 0 & 0 & c & \epsilon + \frac{3}{2}Fed \end{pmatrix}. \quad (10)$$

The diagonal elements are equal to the sum of the single-dot confinement energy  $\epsilon$  (in the following taken as the reference energy level  $\epsilon=0$ ), the energy shift due to the electric field, and an additional energy shift  $\delta$  introduced to account for the effect of the interaction with the electron which, in the lowest-energy avoided crossing is localized rather in the central two dots 2 and 3 ( $\delta>0$ —the central dots will be effectively deeper), and in the second avoided crossings stays rather in dots 1 and 4 ( $\delta<0$ —the central dots will be effectively shallower). In Eq. (10) the hole tunneling between the nearest neighbor dots is described by the hopping parameter  $c = \langle \psi_i | H_h | \psi_{i+1} \rangle$ . We assume  $d=5$  nm (interdot barrier thickness of 1 nm) in accordance with Sec. IV. The eigenvalues of Hamiltonian (10) are plotted as functions of the electric field in Figs. 17(a)–17(c), for and  $\delta=0$ ,  $\delta=3$  meV, and  $\delta=-3$  meV, respectively. In each plot we consider the case of negligible tunneling ( $c=0$ ) and  $c=2.5$  meV. For a pair of dots the splitting between the energy levels is given by  $2c=5$  meV, i.e., the value corresponding to the hole levels splitting at the barrier width of 1 nm. For  $c=0$  the energy levels are simply equal to the diagonal (single-dot) elements of the matrix (10) and cross. Therefore, we see that the avoided crossing is due to the tunneling of the hole between the nearest dots. Below we only discuss the results obtained for  $c=2.5$  meV. For  $\delta=0$  the distances between the energy levels in the center of the avoided crossing ( $F=0$ ) are equal. This is not the case in any of the two avoided crossing presented in Fig. 15(b). In the lowest avoided crossing of Fig. 15(b) the third and fourth energy levels distinctly approach

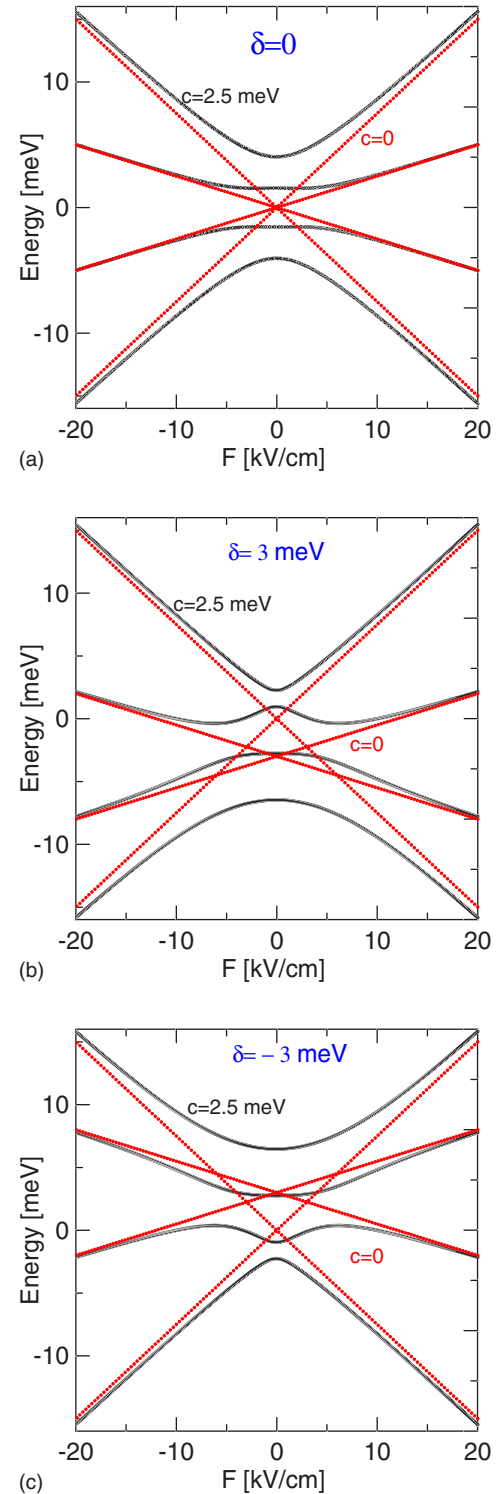


FIG. 17. (Color online) Energy eigenvalues of the hole Hamiltonian (10) modeling the multiple avoided crossing between energy levels of different families. Black lines correspond to the hopping matrix element of  $c=2.5$  meV, and red lines to the neglected hole tunneling  $c=0$ . In (a) all the dots are equivalent ( $\delta=0$ ), in (b) the two central dots are effectively deeper due to the interaction with the electron ( $\delta=3$  meV), and in (c) the outer dots are effectively deeper ( $\delta=-3$  meV). Plot (b) well corresponds to the lowest avoided crossing of Figs. 15(b) and 15(c) to the second avoided crossing of Fig. 15(b).

each other near  $F=0$ . In the second avoided crossing the first and second energy levels become closer in a similar way. In the lowest avoided crossing of Fig. 15(b) the electron stays rather in the two central dots [see Figs. 16(e)–16(h)], which makes them effectively deeper for the hole. Accordingly we take  $\delta=3$  meV and obtain the features of the lowest-energy avoided crossing of Fig. 15(b). Opposite value of  $\delta$ , corresponding to the electron localized in the dots 1 and 4 [see Figs. 16(a)–16(d)], produces an avoided crossing with two lowest energy levels approaching each other near  $F=0$ , like in the second-energy multiple avoided crossing of Fig. 15(b).

#### IV. DISCUSSION

Our results for intermediate coupling of  $N$  identical dots show that the exciton spectrum can be divided into  $N$  families, each associated with the localization of the hole in one of the dots within the stack. The energy levels of different families cross while avoided crossings are observed between bright levels of the same family as function of the external electric field which transfers the electron within the stack of  $N$  dots. Each family contains  $N$  energy levels that appear as bright for a certain electric field range. In each family we have a single energy level which remains bright even at strong negative electric field  $F \ll 0$  and another that stays bright for  $F \gg 0$ . Below we refer to these energy levels as “ultimate.” These two energy levels undergo an avoided crossing around  $F$  close to zero. Below we call this avoided crossing as the “principle” one. For previously studied case of an exciton in two dots<sup>8–15</sup> there are no other bright energy levels than the ultimate ones. However, for  $N \geq 3$ , the remaining  $N-2$  levels of the family become bright in a finite electric field range contained within the principle avoided crossing. These temporarily bright energy levels depend on the external field in a much stronger way than the ultimate bright levels in the strong field limit. In the limit of a strong field, when both the electron and the hole are localized in the same dot, the  $F$  dependence of the ultimate levels is only due to a single-dot exciton polarizability.<sup>35</sup> On the other hand, the intrinsic and induced dipole moments of the temporarily bright energy levels are much larger, since they appear in the spectrum when the electron is removed from the dot in which the hole is localized. For the families of energy levels associated with the dots at the extreme ends of the stack all the  $N-2$  temporarily bright levels depend on the electric field nearly linearly. Their slope is related to the dipole moment of the electron-hole pair when it becomes dissociated [this is most clearly visible in Fig. 14(a)]. For the families associated with the dot situated inside the stack a *single* temporarily bright energy level strongly deviates from the nearly linear dependence on  $F$ . Its dependence on the field resembles a parabola (deformed for odd  $N$ ) with arms pointing down on both sides of its maximum located close to  $F=0$ . Position of the dot inside the stack with which the parabolic level is associated can be deduced by counting the number of the temporarily bright energy levels that are nearly linear in  $F$  and enter between this parabolic energy level and the ultimate bright energy levels at  $F \ll 0$  and  $F \gg 0$ . Namely, the number of bright linear energy levels appearing at the posi-

tive field side of the maximum of the parabolic bright energy level is equal to the number of dots between the hole-containing dot (defining the family) and the extreme dot at the top of the stack, and conversely for  $F < 0$ . Thus, addition of a  $N$ th dot to a stack containing  $N-1$  dots results in the appearance of a single new temporarily bright level in each of the preexisting families. This new level depends nearly linearly on the electric field. Obviously, a new family is formed with the added dot. When a dot is added to the stack the number of internal dots is increased by one and a single new temporarily bright parabolic (and not linear) energy level appears in the spectrum of the entire stack. For instance, when the third dot is added to a stack of two dots the first parabolic level appears—the one labeled by  $2b$  in Fig. 3. For  $N=4$  we have already two such parabolic levels:  $2b$  and  $3c$ —see Fig. 12—which cross at  $F=0$ .

For the intermediate coupling the energy levels of the hole alone are  $N$ -fold degenerate. This degeneracy is lifted by the interaction with the electron which tends to be localized in the center of the stack, where we have a single dot for odd  $N$  and a couple of dots for even  $N$ . This provides a general rule that at  $F=0$  for  $N$  identical dots in the intermediate coupling the ground state is nondegenerate for odd  $N$  and twofold degenerate for even  $N$ .

For strongly coupled dots hole tunnel coupling becomes active. According to our results, even in the extreme case of 1 nm thin barrier the coupling is removed by a relatively weak electric field of about 20 kV/cm. When the hole coupling is removed by the electric field, the discussion of the spectrum in terms of families of energy levels associated with the hole localized in one of the dots is valid again. However, mixing of the hole states is found for small values of the field in the avoided crossing in which  $N$  bright energy levels participate with a single member of each family. The participating energy levels are associated with the same single-particle state of the electron. Due to the strong electron tunnel coupling, within the range of each of these avoided crossings, the electron localization is only weakly perturbed by the electric field, and this is the hole which is redistributed between the dots by the field. This is the inverse mechanism to the one observed for the avoided crossings in the intermediate-coupling regime, where the localization of the hole is fixed and only the electron localization within the stack is changed by the electric field. The avoided crossings related to the hole tunneling and mixing between the families have two characteristic features: (1) In the center of each avoided crossing a single energy level becomes much brighter at the expense of the recombination probabilities of the other participating levels. A distinctly larger recombination probability is obtained for the hole state which is compatible with the state of the electron, i.e., corresponds to the same excitation in the direction parallel to the axis of the stack. This results in the rule that *within* the avoided crossing that is  $m$ th in the energy scale (i.e., associated with the  $m$ th excitation of the electron) it is the  $m$ th of the participating energy levels which becomes the brightest in the center of the avoided crossings. (2) The order of the bright energy levels as they reappear outside the avoided crossing depends only on the position of the specific dot within the stack in which the hole becomes trapped. On the positive  $F$  side of

the avoided crossing, lower energies correspond to the hole localization in the lower dots [ $F > 0$  pushes the hole down—see Fig. 1(a)]. The avoided crossings that are due to the hole tunneling—with the spectacular modulation of the recombination probabilities—are only deformed by the confinement variation. The order of the subsequent avoided crossings in energy remains unchanged by the dot variation since their character is defined by the state of the electron and the electron energy splitting is huge when the dots are close enough for the hole to tunnel.

In the intermediate-coupling regime the variation of the depths of the dot within the stack leads to energy shifts of the families of energy levels. The families are also translated on the electric field scale. Nevertheless, the pattern of the avoided crossing remains characteristic to the position of the hole-containing dot within the stack. In the strong-coupling regime the variation of the confinement depths within the stack of the order of 10 meV is much smaller than the coupling-related splitting of electron energy levels. Then, the difference of the confinement depths may not be resolved by the electron so the spectra of the strongly coupled dots are less sensitive to the confinement variation along the stack [cf. Fig. 10 for strongly coupled triple of identical dots (a) or nonidentical dots (c)].

## V. SUMMARY AND CONCLUSIONS

We calculated the exciton spectra in triple and quadruple vertically stacked self-assembled quantum dots in the presence of an external electric field using the configuration-interaction approach. Intermediate- and strong-coupling regimes were considered and we explained how the spectra evolve when an additional dot is added to the stack.

In the intermediate-coupling regime the bright energy levels can be separated into families each associated with a

specific dot of the stack in which the hole is localized. The electron transfer between the dots induced by the electric field is associated with the appearance of a pattern of avoided crossings that is characteristic for each family of energy levels. The structure of the avoided crossing is related mainly to the position of the dot within the stack which is translated into the number of avoided crossings observed for opposite electric field orientations. We found that the pattern of avoided crossing is related to the electron transfer between the dots which remains qualitatively similar when the depths of the dots are varied. The depth variation results in relative shifts of the families of energy levels. Therefore, photoluminescence experiment should be able to probe the variation of the depth of the effective confinement potential along the stack. In particular, the experimental observation of the pattern of avoided crossings for the lowest bright energy levels should indicate which of dots is the deepest within the stack.

We discussed the avoided crossings between levels of different families that appear for strongly coupled dots. These anticrossings appear at small  $F$  and involve  $N$  bright energy levels, where  $N$  is the number of the dots within the stack. Within each anticrossing one of the energy levels increases in brightness at the expense of  $N-1$  others. In the brightest state the hole occupies a single-particle orbital which is compatible with the orbital of the electron, i.e., corresponds to the same single-particle state. The mixing between families occurs only for relatively weak electric fields. For stronger fields the hole is localized in a single dot and the pattern of avoided crossings becomes qualitatively similar to the intermediate-coupling case.

## ACKNOWLEDGMENTS

This work was supported by the EU Network of Excellence: SANDiE and the Belgian Science Policy (IAP).

<sup>1</sup>D. Loss and D. P. DiVincenzo, Phys. Rev. A **57**, 120 (1998).

<sup>2</sup>F. Troiani, U. Hohenester, and E. Molinari, Phys. Rev. B **62**, R2263 (2000).

<sup>3</sup>G. S. Solomon, J. A. Trezza, A. F. Marshall, and J. S. Harris, Jr., Phys. Rev. Lett. **76**, 952 (1996).

<sup>4</sup>N. N. Ledentsov, V. A. Shchukin, M. Grundmann, N. Kirstaedter, J. Bohrer, O. Schmidt, D. Bimberg, V. M. Ustinov, A. Yu. Egorov, A. E. Zhukov, P. S. Kop'ev, S. V. Zaitsev, N. Yu. Gordeev, Zh. I. Alferov, A. I. Borovkov, A. O. Kosogov, S. S. Ruvimov, P. Werner, U. Gosele, and J. Heydenreich, Phys. Rev. B **54**, 8743 (1996).

<sup>5</sup>O. G. Schmidt, O. Kienzle, Y. Hao, K. Eberl, and F. Ernt, Appl. Phys. Lett. **74**, 1272 (1999).

<sup>6</sup>B. Lita B, R. S. Goldman, J. D. Phillips, and P. K. Bhattacharya, Appl. Phys. Lett. **74**, 2824 (1999).

<sup>7</sup>S. Fafard, M. Spanner, J. P. McCaffrey, and Z. R. Wasilewski, Appl. Phys. Lett. **76**, 2268 (2000).

<sup>8</sup>H. J. Krenner, M. Sabathil, E. C. Clark, A. Kress, D. Schuh, M. Bichler, G. Abstreiter, and J. J. Finley, Phys. Rev. Lett. **94**, 057402 (2005).

<sup>9</sup>E. A. Stinaff, M. Scheibner, A. S. Bracker, I. V. Ponomarev, V. L. Korenev, M. E. Ware, M. F. Doty, T. L. Reinecke, and D. Gammon, Science **311**, 636 (2005).

<sup>10</sup>G. Ortner, M. Bayer, Y. Lyanda-Geller, T. L. Reinecke, A. Kress, J. P. Reithmaier, and A. Forchel, Phys. Rev. Lett. **94**, 157401 (2005).

<sup>11</sup>A. S. Bracker, M. Scheibner, M. F. Doty, E. A. Stinaff, I. V. Ponomarev, J. C. Kim, L. J. Whitman, T. L. Reinecke, and D. Gammon, Appl. Phys. Lett. **89**, 233110 (2006).

<sup>12</sup>H. J. Krenner, E. C. Clark, T. Nakaoka, M. Bichler, C. Scheurer, G. Abstreiter, and J. J. Finley, Phys. Rev. Lett. **97**, 076403 (2006).

<sup>13</sup>T. Nakaoka, E. C. Clark, H. J. Krenner, M. Sabathil, M. Bichler, Y. Arakawa, G. Abstreiter, and J. J. Finley, Phys. Rev. B **74**, 121305(R) (2006).

<sup>14</sup>M. F. Doty, M. Scheibner, I. V. Ponomarev, E. A. Stinaff, A. S. Bracker, V. L. Korenev, T. L. Reinecke, and D. Gammon, Phys. Rev. Lett. **97**, 197202 (2006).

<sup>15</sup>M. Scheibner, M. F. Doty, I. V. Ponomarev, A. S. Bracker, E. A. Stinaff, V. L. Korenev, T. L. Reinecke, and D. Gammon, Phys.

- Rev. B **75**, 245318 (2007).
- <sup>16</sup>E. Biolatti, R. C. Iotti, P. Zanardi, and F. Rossi, Phys. Rev. Lett. **85**, 5647 (2000); P. Chen, C. Piermarocchi, and L. J. Sham, *ibid.* **87**, 067401 (2001).
- <sup>17</sup>M. W. Keller, J. M. Martinis, N. M. Zimmerman, and A. H. Steinbach, Appl. Phys. Lett. **69**, 1804 (1996).
- <sup>18</sup>M. Klein, S. Rogge, F. Remacle, and R. D. Levine, Nano Lett. **7**, 2795 (2007).
- <sup>19</sup>D. S. Saraga and D. Loss, Phys. Rev. Lett. **90**, 166803 (2003).
- <sup>20</sup>L. Gaudreau, S. A. Studenikin, A. S. Sachrajda, P. Zawadzki, A. Kam, J. Lapointe, M. Korkusinski, and P. Hawrylak, Phys. Rev. Lett. **97**, 036807 (2006); D. S. Saraga and D. Loss, *ibid.* **90**, 166803 (2003).
- <sup>21</sup>M. Schmidbauer, S. Seydmohamadi, D. Grigoriev, Z. M. Wang, Yu. I. Mazur, P. Schafer, M. Hanke, R. Kohler, and G. J. Salamo, Phys. Rev. Lett. **96**, 066108 (2006).
- <sup>22</sup>J. L. Gray, R. Hull, and J. A. Fioro, J. Appl. Phys. **100**, 084312 (2006).
- <sup>23</sup>J. H. Lee, Zh. M. Wang, N. W. Strom, Yu. I. Mazur, and G. J. Salamo, Appl. Phys. Lett. **89**, 202101 (2006).
- <sup>24</sup>B. Szafran, T. Chwiej, F. M. Peeters, S. Bednarek, J. Adamowski, and B. Partoens, Phys. Rev. B **71**, 205316 (2005).
- <sup>25</sup>W. Chu and J. L. Zhu, Appl. Phys. Lett. **89**, 053122 (2006).
- <sup>26</sup>M. H. Degani, G. A. Farias, and P. F. Farinas, Appl. Phys. Lett. **89**, 152109 (2006).
- <sup>27</sup>B. Szafran, F. M. Peeters, and S. Bednarek, Phys. Rev. B **75**, 115303 (2007).
- <sup>28</sup>M. H. Degani and M. Z. Maialle, Phys. Rev. B **75**, 115322 (2007).
- <sup>29</sup>R. L. Sellin, Ch. Ribbat, M. Grundmann, N. N. Ledentsov, and D. Bimberg, Appl. Phys. Lett. **78**, 1207 (2001).
- <sup>30</sup>R. L. Sellin, C. Ribbat, D. Bimberg, F. Rinner, H. Konstanzer, M. T. Kelemen, and M. Mikulla, Electron. Lett. **38**, 883 (2002).
- <sup>31</sup>G. Ya. Slepyan, S. A. Maksimenko, V. P. Kalosha, J. Hermann, N. N. Ledentsov, I. L. Krestnikov, Zh. I. Alferov, and D. Bimberg, Phys. Rev. B **59**, 12275 (1999); G. Ya. Slepyan, S. A. Maksimenko, V. P. Kalosha, A. Hoffmann, and D. Bimberg, *ibid.* **64**, 125326 (2001).
- <sup>32</sup>M. Scheibner, T. Schmidt, L. Worschech, A. Forchel, G. Bacher, T. Passow, and D. Hommel, Nat. Phys. **3**, 106 (2007).
- <sup>33</sup>A small electric field of 1 kV/cm was assumed in Figs. 4(a) and 4(b) to lift the parity symmetry of the states. In a system of symmetric dots, due to the parity symmetry, at  $F=0$  the hole resides equally in all the dots in spite of the absence of interdot hole tunnelling.
- <sup>34</sup>B. Szafran, S. Bednarek, and J. Adamowski, Phys. Rev. B **64**, 125301 (2001).
- <sup>35</sup>J. A. Barker and E. P. O'Reilly, Phys. Rev. B **61**, 13840 (2000).